

УНИВЕРЗИТЕТ У КРАГУЈЕВЦУ

ФАКУЛТЕТ МЕДИЦИНСКИХ НАУКА

Јелена П Пантић Бишевац

**Серумске вредности интерлеукина 27 и параметара  
оксидативног стреса код пацијената са примарним  
меланомом коже**

Докторска дисертација

Крагујевац, 2017. године

## **Изјава захвалности**

Истраживања у оквиру ове докторске дисертације урађена су највећим делом на Институту за медицинска истраживања ВМА, Клиници за кожне и полне болести, Клиници за пластичну хирургију и Институту за патологију и судску медицину Војномедицинске академије.

- Захваљујем се ментору проф. Мирјани Ђукић на подршци и помоћи, на идејама, сугестијама и стрпљењу током израде и писања овог докторског рада;
- Проф. Данилу Војводићу, начелнику Одељења за клиничку и експерименталну имунологију Института за медицинска истраживања ВМА, у чијим је лабораторијама урађен један део анализа, захваљујем на помоћи у осмишљавању идејног пројекта и статистичкој обради података. Такође се захваљујем на стручним саветима и помоћи око публиковања рада из ове студије.
- Вишем научном сараднику Ивани Стевановић са Медицинског факултета Војномедицинске академије, захваљујем на помоћи приликом извођења једног дела анализа као и на корисним саветима;
- Др Ивану Станојевићу са Института за медицинска истраживања Војномедицинске академије, захваљујем на корисним саветима приликом статистичке обраде података.
- Истраживач- сараднику, др Ани Ђурић, захваљујем на помоћи и корисним саветима приликом извођења експеримената;
- Лабораторијским техничарима са Института за медицинска истраживања ВМА - хвала за сву помоћ у припреми и лабораторијској обради узорака у току извођења експеримента;
- Колеги са Института за медицинску биохемију ВМА, струковном медицинском технологу Зорану Поповићу, дuguјем велику захваност на помоћи приликом отпочињања израде докторске дисертације.
- Велику захвалност дuguјем својим родитељима Лели и Петру, као и сину Игору на великој подршци и стрпљењу током свих ових година.

## **Скраћенице**

ADCC - антителима посредована ћелијска цитотоксичност (eng. *antibody dependent cellular cytotoxicity*)

AJCC - Амерички комитет за рак (енг. *American Joint Committee on Cancer*)

ANGPTL3 - angiopoetin like 3

AOS - антиоксидативни систем заштите (енг. *antioxidative system* )

APC - антиген презентујуће ћелије (енг. *antigen presenting cells*)

Ask1 - apoptosis signal regulated kinase 1

BRAF - proto-oncogene B-Raf

CAT - каталаза (енг. *catalase*)

CT - computed tomography

CTL - цитотоксични Т лимфоцити (енг. *cytotoxic T lymphocytes*)

CTLA-4 - cytotoxic T lymphocyte associated antigen 4

CuZnSOD - бакар, цинк супероксид дизмутаза (енг. *CuZn superoxide dismutase*)

DNA - дезоксирибонуклеинска киселина (енг. *deoxyribonucleic acid*)

Ec SOD - екстракелуларна супероксид дизмутаза (енг. *extracellular superoxide dismutase*)

ERK1/2 - extracellular signal related kinase

FRs - слободни радикали (енг. *free radicals*)

GF - фактор раста (енг. *growth factor*)

GM-CSF - фактор стимулације колонија гранулоцита и моноцита (енг. *granulocyte macrophage colony stimulating factor*)

GPx - глутатион пероксидаза (енг. *glutathione peroxidase*)

GR - глутатион редуктаза (енг. *glutathione reductase*)

GSH - глутатион (енг. *glutathione*)

GSSG - оксидовани глутатион

GST - глутатион С-трансфераза (енг. *glutathione S transferase*)

HNE - 4 hydroxy-2 nonenal

HO<sup>•</sup> - хидроксил радикал

H<sub>2</sub>O<sub>2</sub> - водоник пероксид

IARC - међународна агенција за истраживање рака (енг. *International Agency for Research on Cancer*)

ICAM1- intracellular adhesion molecule

IFN- $\gamma$  - интерферон  $\gamma$  (енг. *interferon  $\gamma$* )

IL27 - интерлеукин 27 (енг. *interleukin 27*)

IL27R- интерлеукин 27 рецептор (енг. *interleukin 27 receptor*)

IP10 – протеин 10 индукован интерфероном гама (енг. *IFN $\gamma$  inducible protein 10*)

IRF - интерферн гама регулаторни фактор (енг. *IFN $\gamma$ -regulator factor*)

JNK - c Jun terminal kinase

LDH - лактат дехидрогеназа (енг. *lactate dehydrogenase*)

LPO - липидна пероксидација (енг. *lipid peroxidation*)

MAPK - митоген активирајуће протеин киназе (енг. *mitogen activated protein kinase*)

MDA - малондиалдехид (енг. *malondialdehyde*)

MHC - молекул главног комплекса ткивне подударности (енг. *major histocompatibility complex*)

MIG - монокин индукован гама интерфероном (енг. *monocine unduced by IFN $\gamma$* )

MIP2 - макрофагни инфламаторни протеин 2 (енг. *macrophage inflammatory protein 2*)

MnSOD – манган супероксид дисмутаза (енг. *Mn superoxide dismutase*)

MPC - melanoma polipoides cutis

MRI - magnetic resonance imaging

MSCT- multi slice computed tomography

NADPH - nicotinamide adenine dinucleotide phosphate

NF-κB - nuclear factor kappa B

NK- урођеноублијачке ћелије (енг. *natural killer*)

NM - nodular melanoma

N-RAS- neuroblastoma RAS viral oncogene homolog

NO - азот моноксид

NS – нитрозативни стрес (енг. *nitrosative stress*)

O<sub>2</sub> - molecular oxygen

O<sub>2</sub><sup>•-</sup> - супероксид анјон радикал (енг. *superoxide anion*)

OS - оксидативни стрес (енг. *oxidative stress*)

PD1 – протеин програмиране ћелијске смрти (енг. *programmed cell death protein 4*)

PD-L1 - programmed death ligand 1

PET - positron emission tomography

PGE2 - prostaglandin E2

PI3K - phosphatidylinositol 3 kinase

RNS - реактивне азотне врсте (енг. *reactive nitrogen species*)

RCS - рекативне врсте угљеника (енг. *reactive carbonyl species*)

ROS – реактивне врсте кисеоника (енг. *reactive oxygen species*)

RS - реактивне врсте (енг. *reactive species*)

RSS - реактивне врсте сумпора (енг. *reactive sulfur species*)

SOD - супероксид дизмутаза (енг. *superoxide dismutase*)

SSM - површинско ширићи меланом (енг. *superficial spreading melanoma*)

STAT1 - преносник сигнала и активатор транскрипције (енг. *signal transducers and activators of transcription1*)

TBA- тиобарбитурна киселина (енг. *thiobarbituric acid*)

TCR - Т ћелијски рецептор (енг. *T cell receptor*)

TGF $\beta$  - трансформишући фактор раста (енг. *transforming growth factor*)

Th1 - помоћнички Т лимфоцит (енг. *T helper*)

Treg - регулаторни Т лимфоцити (енг. *regulatory T cells*)

VCAM1- vascular cell adhesion molecule

VEGF - фактор раста васкуларног ендотела (енг. *vascular endothelial growth factor*)

VLA4- very late antigen

WHO - Светска здравствена организација (енг. *World Health Organization*)

## **САДРЖАЈ**

1. УВОД.....	1
1.1. Дефиниција меланома.....	1
1.2. Етиологија меланома .....	2
1.3. Клиничке форме најчешћих типова меланома .....	3
1.4. Патогенеза меланома, знаци и симптоми .....	5
1.5. Класификациони системи за одређивање степена проширености и стадијума меланома .....	7
1.5.1. Дебљина промене по BRESLOW-y .....	8
1.5.2. CLARCK-ов ниво инвазије.....	9
1.5.3. Улцерација .....	10
1.5.4. Митотски индекс .....	10
1.5.5. Регресија.....	10
1.5.6. Клиничка класификација меланома по стадијуму (AJCC).....	11
1.5.7. Лимфоваскуларна инвазија .....	12
1.5.8. Типови ћелија у вертикалној фази раста меланома .....	12
1.5.9. Тумор инфильтришући лимфоцити .....	12
1.6. Прогностички фактори .....	13
1.7. Дијагностика меланома .....	13
1.8. Имуносуресивни одговор Т лимфоцита.....	14
1.9. Интерлеукин 27 .....	17
1.9.1. Ефекти IL27: веза урођене и стечене имуности .....	20
1.9.2. Антитуморски ефекат IL27 .....	21
1.9.3. Ефекти IL27 на ангиогенезу посредовану Treg .....	23
1.9.4. Имуносупресивни, противоречни, ефекти IL27 .....	24
1.10. Оксидативни стрес .....	26
1.10.1. Реактивне хемијске врсте .....	26

1.10.2. Антиоксидативни систем заштите.....	30
1.10.2.1. Супероксидна дизмутаза .....	31
1.10.2.2. Каталаза.....	32
1.10.2.3. Глутатион пероксидаза .....	32
1.10.2.4. Глутатион редуктаза .....	33
1.10.3. Оксидативна модификација биомолекула .....	33
1.10.3.1. Липидна пероксидација .....	33
1.10.4. Оксидативна модификација DNA.....	35
1.10.5. Оксидативна модификација протеина.....	35
1.11. Улога оксидативног стреса у развоју меланома.....	36
2. ХИПОТЕЗЕ И ЦИЉЕВИ .....	39
2.1. Циљеви студије.....	39
2.2. Радне хипотезе.....	39
3. МАТЕРИЈАЛ И МЕТОДЕ .....	40
3.1. Пацијенти и здраве контроле .....	40
3.2. Узорци .....	41
3.3. Испитивање групе .....	41
3.4. Одређивање концентрације интерлеукина 27 (IL27) .....	42
3.5. Одређивање концентрације супероксид анјон радикала ( $O_2^{\cdot -}$ ) .....	44
3.6. Одређивање активности укупне супероксид дизмутазе (tSOD).....	45
3.7. Одређивање активности MnSOD .....	46
3.8. Одређивање активности каталазе (CAT) .....	47
3.9. Одређивање концентрације тиобарбитурна киселина (ТВА)- реагујућих супстанци (TBARS) .....	48
3.10. Статистичка анализа .....	49
4. РЕЗУЛТАТИ .....	50
4.1. Серумске концентрације интерлеукина 27 код пациентата са меланомом.....	50

4.1.1. Серумске концентрације интерлеукина 27 код пацијената са меланомом класификованих према AJCC класификацији .....	50
4.1.2. Серумске концентрације интерлеукина 27 код пацијената са меланомом класификованих према CLARCK-у .....	51
4.1.3. Серумске концентрације интерлеукина 27 код пацијената са меланомом класификованих према BRESLOW-у .....	52
4.1.4. Серумске концентрације интерлеукина 27 код пацијената са меланомом класификованих према хистолошком типу меланома.....	53
4.1.5. Серумске концентрације интерлеукина 27 код пацијената са меланомом класификованих на основу присуства/одсуства лимфоваскуларне инвазије.....	54
4.1.6. Серумске концентрације интерлеукина 27 код пацијената са меланомом класификованих на основу митотског индекса.....	55
4.1.7. Серумске концентрације интерлеукина 27 код пацијената са меланомом класификованих на основу присуства/одсуства регресије.....	56
4.1.8. Серумске концентрације интерлеукина 27 код пацијената са меланомом класификованих на основу присуства/одсуства улцерације.....	57
4.1.9. Серумске концентрације интерлеукина 27 код пацијената са меланомом класификованих на основу типа (облика) ћелије меланома .....	58
4.1.10. Серумске концентрације интерлеукина 27 код пацијената са меланомом класификованих према патохистолошком стадијуму .....	59
4.2. ОКСИДАТИВНИ СТРЕС .....	60
4.2.1. Серумске концентрације оксидативних параметара код пацијената са меланомом класификованих према AJCC класификацији .....	60
4.2.1.1. Серумске концентрације супероксидног анјона код пацијената са меланомом класификованих према AJCC класификацији .....	61
4.2.1.2. Серумска активност супероксид дизмутазе код пацијената са меланомом класификованих према AJCC класификацији .....	61
4.2.1.3. Серумска активност манган супероксид дизмутазе код пацијената са меланомом класификованих према AJCC класификацији .....	62

4.2.1.4. Серумска активност каталазе код пацијената са меланомом класификованих према AJCC класификацији .....	63
4.2.1.5. Серумске концентрације малондиалдехида код пацијената са меланомом класификованих према AJCC класификацији .....	64
4.2.2. Серумске концентрације параметара оксидативног стреса код пацијената са меланомом класификованих према CLARCK-у.....	65
4.2.2.1. Серумске концентрације супероксидног анјона код пацијената са меланомом класификованих према CLARCK-у .....	66
4.2.2.2. Серумска активност супероксид дизмутазе код пацијената са меланомом класификованих према CLARCK-у .....	66
4.2.2.3. Серумска активност манган супероксид дизмутазе код пацијената са меланомом класификованих према CLARCK-у .....	67
4.2.2.4. Серумска активност каталазе код пацијената са меланомом класификованих према CLARCK-у .....	68
4.2.2.5 Серумске концентрације моалондиалдехида код пацијената са меланомом класификованих према CLARCK-у .....	68
4.2.3. Серумске концентрације параметара оксидативног стреса код пацијената са меланомом класификованих према BRESLOW-у.....	69
4.2.3.1. Серумске концентрације супероксидног анјона код пацијената са меланомом класификованих према BRESLOW-у .....	70
4.2.3.2. Серумска активност супероксид дизмутазе код пацијената са меланомом класификованих према BRESLOW-у .....	71
4.2.3.3.Серумска активност манган супероксид дизмутазе код пацијената са меланомом класификованих према BRESLOW-у .....	71
4.2.3.4. Серумска активност каталазе код пацијената са меланомом класификованих према BRESLOW-у .....	72
4.2.3.5. Серумске концентрације моалондиалдехида код пацијената са меланомом класификованих према BRESLOW-у .....	73
4.2.4. Серумске концентрације параметара оксидативног стреса код пацијената са меланомом класификованих према хистолошком типу меланома .....	74

4.2.4.1. Серумске концентрације супероксидног анјона код пацијената са меланомом класификованих према хистолошком типу меланома.....	75
4.2.4.2. Серумска активност супероксид дизмутазе код пацијената са меланомом класификованих према хистолошком типу меланома.....	75
4.2.4.3. Серумска активност манган супероксид дизмутазе код пацијената са меланомом класификованих према хистолошком типу .....	76
4.2.4.4. Серумска активности каталазе код пацијената са меланомом класификованих према хистолошком типу меланома .....	77
4.2.4.5. Серумске концентрације малондиалдехида код пацијената са меланомом класификованих према хистолошком типу меланома.....	77
4.2.5. Серумске концентрације параметара оксидативног стреса код пацијената са меланомом класификованих на основу присуства/одсуства лимфоваскуларне инвазије .....	78
4.2.5.1. Серумске концентрације супероксидног анјона код пацијената са меланомом класификованих на основу присуства/одсуства лимфоваскуларне инвазије.....	79
4.2.5.2. Серумска активност супероксид дизмутазе код пацијената са меланомом класификованих на основу присуства/одсуства лимфоваскуларне инвазије.....	79
4.2.5.3. Серумска активност манган супероксид дизмутазе код пацијената са меланомом класификованих на основу присуства/одсуства лимфоваскуларне инвазије.....	80
4.2.5.4. Серумска активности каталазе код пацијената са меланомом класификованих на основу присуства/одсуства лимфоваскуларне инвазије .....	81
4.2.5.5. Серумске концентрације малодниалдехида код пацијената са меланомом класификованих на основу присуства/одсуства лимфоваскуларне инвазије.....	81
4.2.6. Серумске концентрације параметара оксидативног стреса код пацијената са меланомом класификованих на основу митотског индекса .....	82
4.2.6.1. Серумске концентрације супероксидног анјона код пацијената са меланомом класификованих на основу митотског индекса.....	83
4.2.6.2. Серумска активност супероксид дизмутазе код пацијената са меланомом класификованих на основу митотског индекса.....	83

4.2.6.3. Серумска активност манган супероксид дизмутазе код пацијената са меланомом класификованих на основу митотског индекса .....	84
4.2.6.4. Серумска активности каталазе код пацијената са меланомом класификованих на основу митотског индекса .....	85
4.2.6.5. Серумске концентрације малондиалдехида код пацијената са меланомом класификованих на основу митотског индекса .....	85
4.2.7. Серумске концентрације оксидативних параметара код пацијената са меланомом класификованих на основу присуства/одсуства регресије.....	86
4.2.7.1. Серумске концентрације супероксидног анјона код пацијената са меланомом класификованих према присуству/одсуству регресије.....	87
4.2.7.2. Серумска активност супероксид димутазе код пацијената са меланомом класификованих на основу присуства/одсуства регресије.....	87
4.2.7.3. Серумска активност манган супероксид димутазе код пацијената са меланомом класификованих на основу присуства/одсуства регресије.....	88
4.2.7.4. Серумска активност каталазе код пацијената са меланомом класификованих на основу присуства/одсуства регресије.....	89
4.2.7.5. Серумске концентрације малондиалдехида код пацијената са меланомом класификованих на основу присуства/одсуства регресије.....	89
4.2.8. Серумске концентрације параметара оксидативног стреса код пацијената са меланомом класификованих на основу присуства/одсуства улцерације .....	90
4.2.8.1. Серумске концентрације супероксидног анјона код пацијената са мелномом класификованих на основу присуства/одсуства улцерације .....	91
4.2.8.2. Серумска активност супероксид димутазе код пацијената са меланомом класификованих на основу присуства/одсуства улцерације .....	91
4.2.8.3. Серумска активност манган супероксид димутазе код пацијената са меланомом класификованих на основу присуства/одсуства улцерације .....	92
4.2.8.4. Серумска активност каталазе код пацијената са меланомом класификованих на основу присуства/одсуства улцерације .....	93
4.2.8.5. Серумске концентрације малондиалдехида код пацијената са меланомом класификованих на основу присуства/одсуства улцерације .....	93

4.2.9. Серумске концентрације параметара оксидативног стреса код пацијената са меланомом класификованих на основу типа (облика) ћелије меланома .....	94
4.2.9.1. Серумске концентрације супероксидног анјона код пацијената са меланомом класификованихна основу типа ћелије меланома.....	95
4.2.9.2. Серумска активност супероксид дизмутазе код пацијената са меланомом класификованих на основу типа ћелије меланома.....	95
4.2.9.3. Серумска активност манган супероксид дизмутазе код пацијената са меланомом класификованих на основу типа ћелије меланома.....	96
4.2.9.4. Серумска активност каталазе код пацијената са меланомом класификованих на основу типа ћелије меланома .....	97
4.2.9.5. Серумска концентрација малондиалдехида код пацијената са меланомом класификованих на основу типа ћелије меланома .....	97
4.2.10. Серумске концентрације параметара оксидативног стреса код пацијената са меланомом класификованих према патохистолошком стадијуму .....	98
4.2.10.1.Серумске концентрације супероксидног анјона код пацијената са меланомом класификованих према патохистолошком стадијуму .....	99
4.2.10.2. Серумска активност супероксид дизмутазе код пацијената са меланомом класификованих према патохистолошком стадијуму .....	99
4.2.10.3. Серумска активност манган супероксид дизмутазе код пацијената са меланомом класификованих према патохистолошком стадијуму .....	100
4.2.10.4. Серумска активност каталазе код пацијената са меланомом класификованих према патохистолошком стадијуму .....	101
4.2.10.5. Серумска концентрација малондиалдехида код пацијената са меланомом класификованих према патохистолошком стадијуму .....	101
4.3. Receiver operating characteristic curve (ROC анализа) .....	102
4.4. Корелација IL27 и параметара оксидативног стреса .....	105
5. ДИСКУСИЈА .....	106
5.1. Интерлеукин 27 .....	106
5.1.1. Повезаност IL27 и AJCC стадијума.....	108
5.1.2. Повезаност IL27 и CLARCK .....	109

5.1.3. Повезаност IL27 и BRESLOW .....	109
5.1.4. Повезаност IL27 са хистолошким типом тумора .....	109
5.1.5. Повезаност IL27 и лимфоваскуларне инвазије .....	110
5.1.6. Повезаност IL27 и митотског индекса .....	110
5.1.7. Повезаност IL27 и регресије тумора.....	110
5.1.8. Повезаност IL27 и улцерације.....	110
5.1.9. Повезаност IL27 и типа (облика) ћелија .....	110
5.1.10. Повезаност IL27 и патохистолошког стадијума .....	111
5.2. Оксидативни стрес .....	111
5.2.1. Повезаност OS и AJCC стадијума .....	113
5.2.2. Повезаност OS и CLARCK.....	115
5.2.3. Повезаност OS и BRESLOW .....	116
5.2.4. Повезаност OS и хистолошког типа меланома .....	116
5.2.5. Повезаност OS и лимфоваскуларне инвазије .....	117
5.2.6. Повезаност OS и митотског индекса.....	118
5.2.7. Повезаност OS и регресије .....	118
5.2.8. Повезаност OS и улцерације .....	119
5.2.9. Повезаност OS и типа (облик) ћелије меланома .....	119
5.2.10. Повезаност OS и патохистолошког стадијума .....	120
5.3. ROC анализа .....	121
5.4. Корелација OS и IL27 .....	122
6. ЗАКЉУЧАК .....	123
7. ЛИТЕРАТУРА.....	126

## 1. УВОД

### 1.1. Дефиниција меланома

Меланом (од грчке речи μελάς- *melas*, што значи тамно) је малигни тумор меланоцита, ћелија које продукују пигмент меланин (1). Више фактора може довести до малигне трансформације нормалних хуманих меланоцита, тј. настанка меланома, од којих су најзначајнији генетска предиспозиција и утицај човекове околине (2). Меланом може настати на било ком делу тела која садржи меланоците, као што су базални слој епидермиса, фоликул длаке, очи, уши, менинге, али се најчешће јавља на кожи (3). Малигни меланом чини мање од 5% малигних тумора коже, али је одговоран за око 60 % леталних исхода кожних малигнитета (4). Према светској здравственој организацији (енг.*World Health Organization*, WHO) постоји неколико подтипова меланома, при чему су четири од њих најчешћа: суперфицијално ширећи меланом, нодуларни меланом, лентиго малигна и акрални лентигинозни меланом. Остали подтипови (дезмопластични меланом, меланом који се развија из плавог невуса, меланом који се развија из конгениталног невуса, меланом дечијег доба, невоидни меланом и перзистентни меланом) знатно су ређи, али су као засебни ентитети укључени у последњу верзију WHO класификације меланома (5). Према подацима WHO, годишње се региструје око 232 000 нових случајева (податак из 2012.год) са око 68000 смртних исхода у свету (6). У Србији се годишње дијагностикује око 500 нових случајева меланома, пораст инциденце је приближно око 15% за пет година. Према најновијим проценама инциденца у Србији код жена износи 7,4 и 11,2 /100 000 код мушкараца (7). Меланом је примарно малигнитет који се дешава код беле расе. Учесталост оболења Афроамериканаца у односу на белце је 1/20, док је преваленца код

Хиспаноамериканаца 1/6 у односу на белце (8). Међутим, стопа морталитета је виша код Афроамериканаца и Хиспаноамериканаца који чешће оболјевају од акралног типа меланома. Генерално, меланом се чешће јавља код мушкараца и то углавном на леђима, а код жена на ногама (9). Меланом најчешће погађа млађе особе старости до 40 година, код старијих особа се најчешће јављају тањи меланоми који имају бољу прогнозу.

## 1.2. Етиологија меланома

Етиологија меланома је непозната. Фактори ризика који могу узроковати настанак меланома се могу поделити у две групе: ендогене и егзогене.

Ендогени фактори су:

- Фототип коже (светла пут, пегавост)
- Невус који се мења
- Повећан број невуса (50 и више, и/или 20 и више невуса на горњим екстремитетима)
- Присуство атипичних невуса
- Раније присуство кожних тумора
- Наслеђе (меланом код блиских сродника)

Егзогени фактори су:

- Излагање природним и вештачким UV-зрачењима
- Имуносупресивна терапија и др.

### 1.3. Клиничке форме најчешћих типова меланома

**Lentigo maligna-** најчешће се јавља код жена, еволуција болести може трајати од 20 – 30 година, често се јавља на лицу и то код старијих особа. Током дуге еволуције болести присутан је хоризонталан раст меланома који након дугог времена прелази у вертикалан раст. Овај облик меланома јавља се у 4-15% случајева од укупног броја меланома и има бољу прогнозу него друге форме меланома (Слика 1.3.1).



Слика 1.3.1. Lentigo меланом

**Меланом површног ширења** (енг. *Superficial Spreading Melanoma, SSM*) се код мушкараца најчешће јавља на трупу и то на леђима, а код жена на ногама. Еволуција болести траје од 1-5 година и у тој фази је најдуже заступљен хоризонтални раст промене. Овај облик се јавља у 70% случајева од укупног броја меланома (Слика 1.3.2).



Слика 1.3.2. Меланом површног ширења

**Нодуларни меланом** (енг. *Nodular melanoma*, NM)- присутан је најчешће у пределу трупа, врата и главе. Карактерише га вертикални раст од почетка настанка болести. Јавља се у 15-30% случајева од укупног броја меланома. Изузетно је агресиван и са лошом прогнозом (Слика 1.3.3).



Слика 1.3.3. Нодуларни меланом

**Акralни лентигинозни меланом (Acral Lentiginous Melanoma)** - јавља се на длановима, табанима, испод ноктију и на мукокутаним спојевима. Чешће код старијих старосних група (6/7 деценија живота). Хоризонтални и вертикални раст је подједнако присутан код овог меланома. Агресиван је у клиничком току и има лошу прогнозу. Присутан је у 2-8% случајева од укупног броја меланома. Од укупног броја свих акралних меланома 60-72% се јавља код црне расе, а 29-46% код жуте расе (Слика 1.3.4).



Слика 1.3.4. Акralни лентигинозни меланом

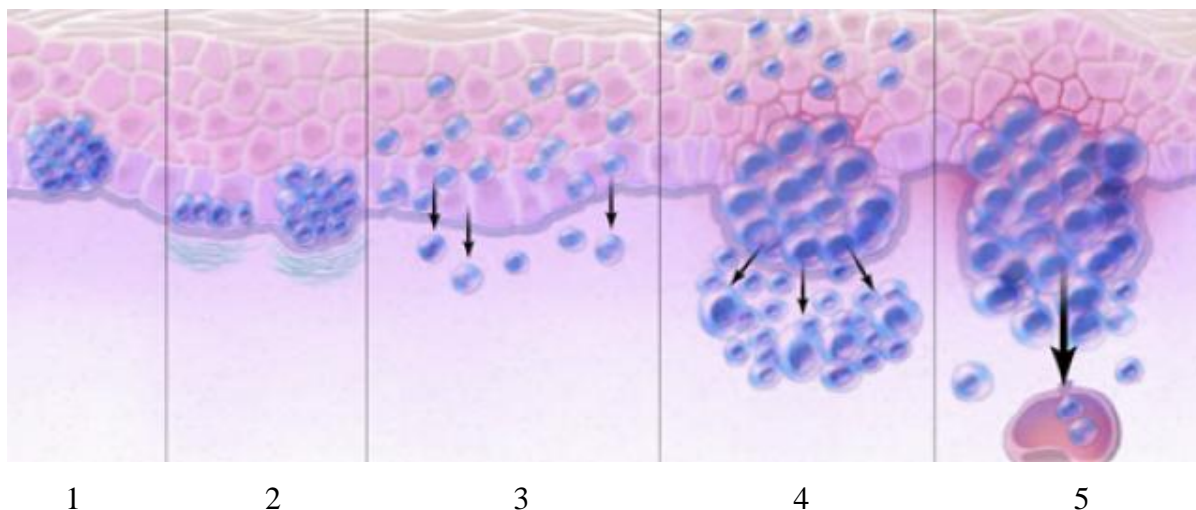
**Ретке варијанте меланома су:** дезмопластични меланом, невоидни меланом, верукозни меланом, ситноћелијски меланом, меланом ћелија печатног прстена, миксоидни меланом, остеогени меланом, анимални тип меланома, малигни меланом дечијег доба.

#### 1.4. Патогенеза меланома, знаци и симптоми

Утицај UV зрачења у комбинацији са генетском предиспозицијом узрокује велики број мутација у меланоцитима, што активира онкогене, инактивира тумор супресорне гене и онеспособавља механизме за репарацију дезоксирибонуклеинске киселине (енг. *deoxyribonucleic acid*, DNA). Све ово узрокује пролиферацију меланоцита, ангиогенезу, туморску инвазију, избегавање имунског одговора и метастазирање (10).

У развоју меланома може се издвојити пет фаза. Према Кларковом (CLARCK) моделу (Слика 1.4.1), прва промена је пролиферација нормалних меланоцита која води стварању бенигног невуса. Контрола раста ових ћелија је нарушена али је раст невуса ограничен. Невус ретко проградира у карцином (11). На молекуларном нивоу, абнормална активација митоген активирајућих протеин киназа (енг. mitogen activated protein kinases, MAPKs) стимулише раст меланомских ћелија (12,13). Активација ове путање је резултат соматских мутација уproto-онкогену N-RAS (енг. *neuroblastoma Ras viral oncogene homology*, N-RAS) (15% меланома), или proto-онкогену B-Raf (енг. *proto-oncogene B-Raf*, BRAF) (50% меланома). Клинички, невуси су изгледа равних или благо издигнутих лезија унiformне браонкасте боје. Хистолошки, ове лезије имају повећан број меланоцитних гнезда дуж базалног слоја. Следећа фаза у развоју је појава цитолошке атипије, која узрокује настанак диспластичних невуса, који могу настати из

претходно постојеће бенигне лезије или *de novo*. Ове лезије могу бити асиметричне, са ирегуларним ивицама, вишебојне и са присутним повећањем дијаметра промене (14). Радијалну фазу карактерише способност меланоцита да пролиферишу хоризонтално интраепидермално. Појединачне ћелије могу да инвадирају и папиларни едем. У вертикалној фази раста се дешава губитак експресије Е-кадерина, а повећава експресија N-кадерина<sup>1</sup>, што омогућава малигним ћелијама инвазију базалне мембрани и вертикалну пролиферацију кроз дермис. Метастатски меланом настаје одвајањем туморских ћелија од примарне лезије, миграцијом кроз околну строму, инвазијом у крвне и лимфне судове и формирањем тумора на удаљеним местима.

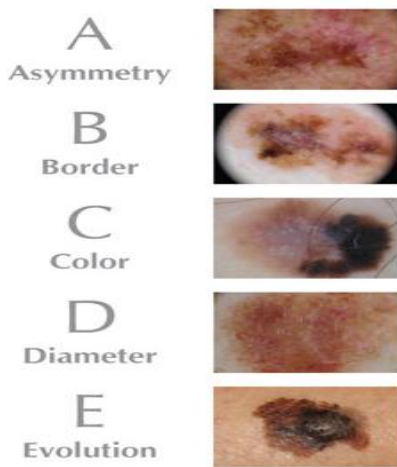


**Слика 1.4.1.** Кларков модел: 1-бенигни невус, 2- диспластични невус, 3-радијална фаза раста, 4- вертикална фаза раста, 5- метастатски меланом

Меланом типично изгледа као браон или црна промена са ирегуларном симетријом, границама и бојом. Већина кожних меланома нема посебне симптоме у раним фазама развоја али се у касним фазама могу јавити крварење, свраб, бол (15). Клинички знаци за меланом имају скраћеницу ABCDE (слика 1.4.2). A (*asymmetry*)-

<sup>1</sup> Кадерин је молекула гликопротеина која под утицајем  $Ca^{2+}$ , посредује у ћелијској адхезији.

асиметрија, B (*border*)- ивица, C(*color*)-боја, D (*diameter*)-дијаметар, E (*evolution*)-развој.



**Слика 1.4.2.** Клинички знаци

Објашњење клиничких знака: асимтерија подразумева одсуство симетрије; ирегуларност ивица подразумева да су ивице грубе, нејасне или са зарезима; боја-пигментација није унiformна, промена је браон или црна ишарана тачкицама црвене, беле или плаве боје; дијаметар- ширина је преко 6 mm; развој- симетрија, границе, боја или дијаметар се мењају током времена. За нодуларне меланоме постоји додатна EFG класификација, E (*elevated*)- уздигнута промена у односу на површину коже, F (*form*)-чврста промена на додир, G (*growing*)- растућа промена. Меланом често метастазира у мозак, јетру, кости, абдомен и удаљене лимфне чворове (16).

## 1.5. Класификациони системи за одређивање степена проширености и стадијума меланома

Ови системи се користе за одређивање степена проширености болести, прогнозу болести и избор најприкладније терапије. Највише се користи TNM класификација, где је T-*tumor* (описује величину меланома), N-*nodus* (описује захваћеност регионалних

лимфних чворова), M-metastasis (описује присуство удаљених метастаза) (17). TNM класификацију користи и Амерички комитет за рак (енг. *American Joint Committee on Cancer*, AJCC). Стадијуми према TNM класификацији су приказани табеларно (Табела 1.5.1).

**Табела 1.5.1.** Стадијуми меланома према TNM класификацији

Стадијуми меланома TNM класификација				
Melanom in situ (0)	Инвазивни меланом (I/II)	Високо ризични меланом (III)	Регионалне метастазе (III)	Удаљене метастазе (IV)
CLARCK 1	T1a: D<1mm, M <1/mm <sup>2</sup> , без улцерације	T2b: D= 1,01-2,0 mm, са улцерацијом	N1: 1 позитиван лимфни чвор	M1a: удаљена кожна метастаза
	T1b: D<1mm, M≥1mm <sup>2</sup> , са улцерацијом	T3a: D= 2,01-4mm, без улцерације	N2: 2 или 3 позитивна лимфна чврса или регионалне метастазе	M1b: метастазе у плућа
	T2a: D = 1,01-2,0mm, без улцерације	T3b: D= 2,01-4mm, са улцерацијом		M1c: друге удаљене метастазе
		T4a: D> 4mm, без улцерације		
		T4b: D> 4mm, без улцерације		

D- дебљина примарног тумора, M- број метастаза /mm<sup>2</sup>

### 1.5.1. Дебљина промене по BRESLOW-у

Дебљина промене по BRESLOW-у се користи као прогностички фактор код кожних меланома, описује колико дубоко меланомске ћелије продиру кроз кожу и подељен је у пет стадијума (Табела 1.5.1.1) (18). Дубину инвазије је први пут дефинисао Aleksandar Breslow 1970. године (18). Овај прогностички фактор се према AJCC систему за процену стадијума болести сматра водећим за меланоме. Одређује се употребом окуларног микрометра и директним мерењем дубине до које туморске ћелије продиру у кожу. Мери се од грануларног слоја епидермиса до најдубље тачке инвазије. Уколико је пристуна и улцерација, мери се од базе улцера.

**Табела 1.5.1.1.** Дебљина промене по BRESLOW-у

Стадијуми	Дебљина
I	<=0,75mm
II	0,75-1,5mm
III	1,51-2,25mm
IV	2,25-3,0mm
V	>3,0mm

Према AJCC водичу у Табели 1.5.1.2, приказана је процена петогодишњег надживљавања пацијената.

**Табела 1.5.1.2.** Петогодишње надживљавање пацијената у односу на дебљину тумора (према AJC водичу)

Дебљина тумора	Приближно петогодишње преживљавање
<1mm	95-100%
1-2mm	80-96%
2,1-4mm	60-75%
>4mm	50%

## 1.5.2. CLARCK-ов ниво инвазије

CLARCK-ов ниво инвазије описује ниво анатомске инвазије меланома у кожу и користи се заједно са дебљином промене по BRESLOW-у за процену степена проширености меланома (19). CLARCK-ов ниво инвазије има мању предиктивну вредност и репродуцибилност у поређењу са BRESLOW-им индексом. Има значаја само код пацијенета са веома танким меланомима (дебљина по BRESLOW <1mm) (20). Постоји пет анатомских новоа инвазије, који су приказани табеларно (Табела 1.5.2.1) (19).

**Табела 1.5.2.1.** Анатомски новои инвазије меланома према CLARCK-у

Ниво	Инвазија меланома
I	Меланом ограничен на epidermis (melanoma in situ)
II	Инвазија у папиларни дермис
III	Инвазија до споја папиларног и ретикуларног дермиса
IV	Инвазија у ретикуларни дермис
V	Инвазија у субкутану масти

### 1.5.3. Улцерација

Улцерација се дефинише као прекид површинског слоја епитела инвазијом туморских ћелија. Уколико је присутна улцерација, дебљина промене по BRESLOW-у се мери од базе улцера ка доле, до најдубље ивице инвазије. Улцерација представља негативни прогностички фактор јер смањује интервал преживљавања без обзира на дебљину тумора (20).

### 1.5.4. Митотски индекс

Митотски индекс се дефинише као број митоза по  $\text{mm}^2$ . Повећан митотски индекс је удружен са лошом прогнозом посебно ако је број митоза већи од  $6/\text{mm}^2$ .

### 1.5.5. Регресија

Регресија се дефинише као замена туморског ткива фиброзним, присуством дегенерисаних меланомских ћелија, лимфоцитном пролиферацијом и формирањем телеангиектазија (21). Инциденца регресије иде до 58% код меланома до  $0,75 \text{ mm}$  (22).

### 1.5.6. Клиничка класификација меланома по стадијуму (AJCC)

Клиничка класификација меланома по стадијуму- AJCC је дата табеларно (Табела 1.5.6.1).

**Табела 1.5.6.1.** Клиничка класификација меланома AJCC

<b>Клинички стадијум</b>	<b>Примарни тумор</b>	<b>Метастазе у регионалним лимфним чворовима</b>	<b>Удаљене метастазе</b>
		<b>N</b>	
<b>0</b>	In situ тумори	Нема N <sub>0</sub>	Нема M <sub>0</sub>
<b>IА</b>	<= 1mm без улцерације, T <sub>1a</sub>	Нема N <sub>0</sub>	Нема M <sub>0</sub>
<b>IB</b>	<= 1mm са улцерацијом, или број митоза >= 1 mm <sup>2</sup> , T <sub>1b</sub>	Нема N <sub>0</sub>	Нема M <sub>0</sub>
	1,01-2 mm без улцерације, T <sub>2a</sub>	Нема N <sub>0</sub>	Нема M <sub>0</sub>
<b>IIА</b>	1,01-2,0 mm са улцерацијом, T <sub>2b</sub>	Нема N <sub>0</sub>	Нема M <sub>0</sub>
	2,01-4 mm, без улцерације, T <sub>3a</sub>	Нема N <sub>0</sub>	Нема M <sub>0</sub>
<b>IIВ</b>	2,01-4mm, са улцерацијом, T <sub>3b</sub>	Нема N <sub>0</sub>	Нема M <sub>0</sub>
	>4 mm, без улцерације, T <sub>4a</sub>	Нема N <sub>0</sub>	Нема M <sub>0</sub>
<b>IIС</b>	>4mm, са улцерацијом, T <sub>4b</sub>	Нема N <sub>0</sub>	Нема M <sub>0</sub>
<b>IIIА</b>	Било која дебљина тумора без улцерације T(1-4)b	Микрометастазе у <= 3 лимфна чвора, N <sub>1a</sub> , N <sub>2a</sub>	Нема M <sub>0</sub>
<b>IIIВ</b>	Било која дебљина тумора са улцерацијом T(1-4)b	Микрометастазе у <= 3 лимфна чвора, N <sub>1a</sub> , N <sub>2a</sub>	Нема M <sub>0</sub>
	Било која дебљина тумора без улцерације T(1-4)a	<= 3 нодалне макрометастазе N <sub>1b</sub> ,N <sub>2b</sub>	Нема M <sub>0</sub>
	Било која дебљина тумора без улцерације T(1-4)a	Сателитске и/или in transit метастазе без регионалних метастаза у лимфним чворовима, N <sub>2c</sub>	Нема M <sub>0</sub>
<b>IIIС</b>	Било која дебљина тумора са улцерацијом T(1-4)b	<= 3 нодалне макрометастазе или сателитске или in transit метастазе без метастаза у регионалним лимфним чворовима, N <sub>1b</sub> , N <sub>2b</sub> ,N <sub>2c</sub>	Нема M <sub>0</sub>
	Било која дебљина тумора са улцерацијом T(1-4)b или без T(1-4)b	4 или више нодалних макрометастаза или лимфни чворови збрисане структуре или сателитске или in transit метастазе са метастазом у бар једном лимфном чвиру, N <sub>3</sub>	Нема M <sub>0</sub>
<b>IV</b>	Било који T	Било који N	Удаљене метастазе M <sub>1</sub>

### 1.5.7. Лимфоваскуларна инвазија

Васкуларна инвазија представља инвазију туморских ћелија у микроваскулатуру дермиса било наслеђањем на ендотел (инцизијентна инвазија) или пенетрацијом ендотела и смештањем у лумен крвног суда (васкуларна инвазија). Васкуларна инвазија повећава ризик од релапса, метастазирања у регионалне лимфне чворове, стварања удаљених метастаза и смртног исхода (23, 24). Васкуларна инвазија је присутна у 57% нодуларних меланома са метастазама у лимфним чворовима, наспрам само 12% нодуларних меланома који нису метастазирали (25). Удаљене метастазе су регистроване код 74% пацијената са васкуларном инвазијом и код 22% пацијената без васкуларне инвазије (23).

### 1.5.8. Типови ћелија у вертикалној фази раста меланома

Најчешћи типови су епителоидни и вретенасте ћелије, али су описаны и мешовити типови меланомских ћелија. Вретенасте ћелије су показатељи боље прогнозе болести.

### 1.5.9. Тумор инфильтришући лимфоцити

Тумор-инфильтришући лимфоцити представљају имунски одговор организма на меланомске ћелије. Овај одговор се мери нивоом лимфоцитног инфильтрата присутног на бази тумора у вертикалној фази раста и карактерише се као дифузни, фокални или одсутни (26). Дифузни одговор се дефинише као присуство лимфоцита у тумору и/или дуж читаве базе тумора. Фокални одговор се дефинише као само фокална инфильтрација тумора лимфоцитима и делимична присутност лимфоцита у бази тумора. Одсутан имунски одговор се дефинише или одсуством лимфоцита или њиховог директног контакта са меланомским ћелијама. Петогодишње и десетогодишње преживљавање код

меланома у вертикалној фази раста са дифузним инфильтратом је 77% и 55%, код меланома са фокалним одговором је 53% и 45%, а код меланома са одсутним одговором 37% и 27% (27).

## 1.6. Прогностички фактори

Прогностички фактори код малигног меланома се могу поделити у три групе: морфолошки фактори, клинички фактори и други фактори, што је приказано табеларно (Табела 1.6.1).

**Табела 1.6.1.** Прогностички фактори код малигног меланома

Прогностички фактори код малигног меланома		
Морфолошки фактори	Клинички фактори	Други фактори
Дебљина промене по Breslow-у	Поодмакли клинички стадијум	Повећан нуклерани волумен
Clark-ов ниво инвазије	Прогноза је гора што је пацијент старији	Садржај DNK
Присуство улцерације	Мушкирци имају лошију прогнозу	Пролиферација и индикације о покретљивости туморских ћелија
Присуство митоза	Локална рекуренца	Циркулишуће меланомске ћелије
Микросателитоза	Анатомска локација (глава, врат, стопала и шаке имају лошију прогнозу)	
Регресија		
Лимфоваскуларна инвазија		
Величина тумора		
Тумор инфильтришүни лимфоцити		
Облик ћелија		
Вертикална фаза раста		

## 1.7. Дијагностика меланома

Клиничка дијагностика примарног меланома поставља се прегледом, на основу клиничких карактеристика или помоћним дијагностичким средствима: дермоскопија, фотографија, ултрасонографија, епилиминисцентна микроскопија и анализом помоћу компјутерских софтвера. Клинички преглед подразумева употребу „ABCDEFG“

система. Сумњива промена се укљања биопсијом и утврђује дијагноза хистопатолошким прегледом. Пацијентима са дијагностикованим меланомом ради се рентгенски снимак грудног коша и лактат дехидрогеназа (енг. *lactate dehydrogenase*, LDH) тест, а у одређеним случајевима и СТ (енг. *computed tomography*, CT), MRI (енг. *magnetic resonance imaging*, MRI), PET (енг. *positron emission tomography*, PET) и/или PET/CT скенер.

Патохистолошким прегледом биоптираног узорка примарне лезије се поставља дефинитивна дијагноза меланома, а такође се установљују параметри за прогнозу болести и хистопатолошки стадијум примарне лезије (pT).

### 1.8. Имуносуресивни одговор Т лимфоцита

Измена експресије површинских антигена, продукција имуносуресивних и имуномодулаторних молекула и акумулација ћелија са имуносупресорним дејствима, резултирају тиме да су меланомске ћелије „невидљиве“ за имунски систем, а уколико дође до активације специфичних Т лимфоцита, њихова даља диференцијација се одвија у смеру развоја толеранције или се врши њихова активна супресија.

Малигни меланом је имуноген тумор, јер имунски систем генерише снажан одговор на меланомске ћелије, у здравом организму (28). Меланомске ћелије се понашају се као антиген презентујуће ћелије (енг. *antigen presenting cells*, APC) и као такве активирају урођени и адаптивни имунски одговор. Међутим, меланомске ћелије успевају да избегну имунски-посредовану деструкцију механизном периферне толеранције.

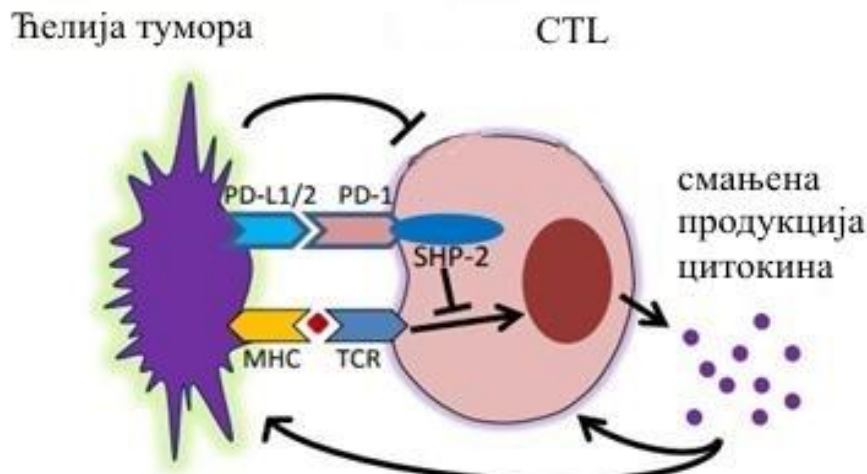
Антиген 4 који је испољен на цитотоксичним Т лимфоцитима (енгл. *cytotoxic T-lymphocyte-associated antigen-4*, CTLA-4, CD152) је инхибиторни рецептор експримиран на мембрани активираних Т лимфоцита који везивањем за лиганде, костимулаторне молекуле B7 (CD80/86) фамилије на APC спречава везивање CD28 молекула и последично инхибира активацију Т ћелија. Овај молекул се сматра негативним регулатором активације Т ћелија.

Протеин 1 програмиране ћелијске смрти (енгл. *programmed cell death protein 1*, PD-1) је такође инхибиторни рецептор који препознаје различите, али структурно сличне лиганде (PD-L1/2) на многим типовима ћелија, укључујући и ћелије меланома. Везивање PD-1 за његов лиганд инхибира раст Т ћелија и продукцију цитокина. Сматра се да овај молекул може да има кључну улогу у избегавању имунског одговора. Експресија PD-1 и PD-L1 је повезана и са лошом клиничком прогнозом.

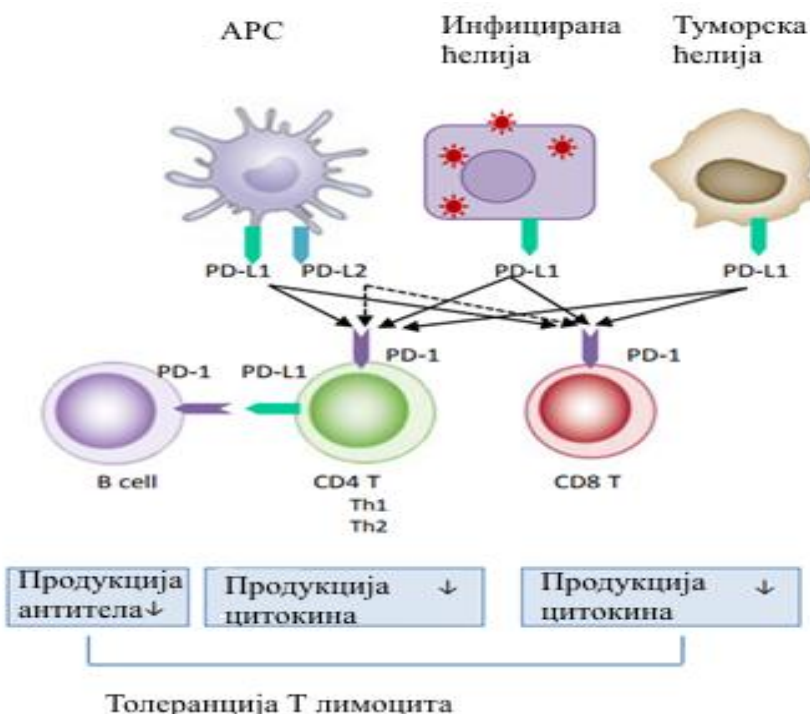
Примена нових биолошких лекова у терапији метастатског меланома се управо заснива на блокирању B7-CTLA4, као и PD-1/2-PD-L1 интеракција, чиме је повећан антитуморски имунски одговор (Табела 1.8.1, Слике: 1.8.1, 1.8.2 и 1.8.3).

**Табела 1.8.1.** B7 протеини на APC и одговарајући рецептори на Т лимфоцитима

<b>B7-1</b>	CD80	CD28, CTLA-4, PD-L1
<b>B7-2</b>	CD86	CD28, CTLA-4
<b>B7-DC</b>	PDCD1LG2, PD-L2, CD273	PD-1
<b>B7-H1</b>	PD-L1, CD274	PD-1
<b>B7-H2</b>	ICOSLG, B7RP1, CD275	ICOS
<b>B7-H3</b>	CD276	
<b>B7-H4</b>	VTCN1	
<b>B7-H5</b>	VISTA, Platelet receptor Gi24, SISP1	
<b>B7-H6</b>	NCR3LG1	NKp30
<b>B7-H7</b>	HHLA2	CD28H

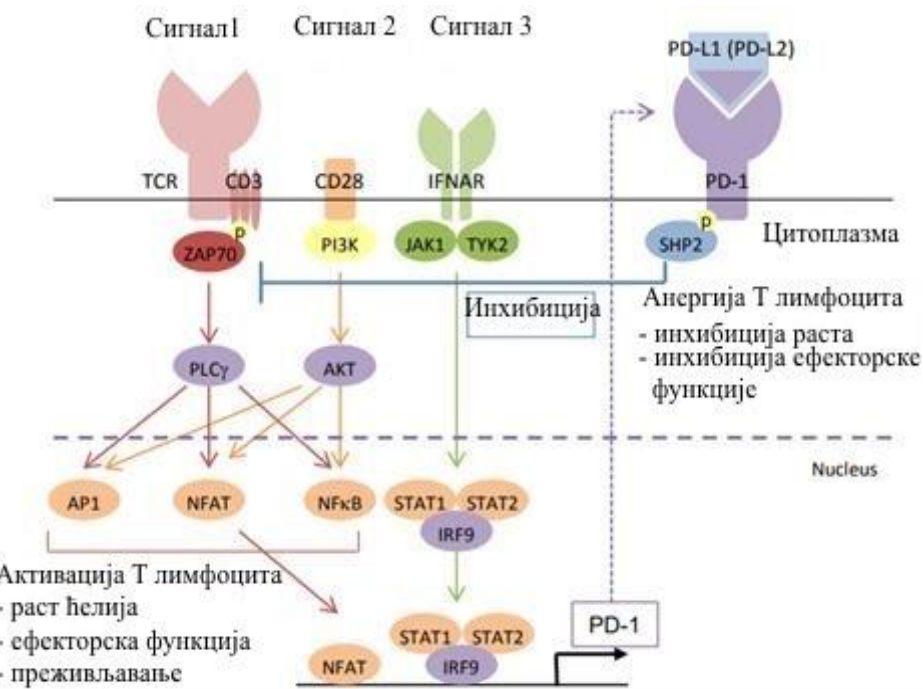


Слика 1.8.1. Имуносупресивна улога PD-1 рецептора CD8<sup>+</sup> ефекторских Т ћелија <sup>2</sup>



Слика 1.8.2. Експресија PD-L1 на различитим типовим APC<sup>2</sup>

<sup>2</sup> <https://repository.kulib.kyoto-u.ac.jp/dspace/bitstream/2433/193052/1/ni.2762.pdf>.



**Слика 1.8.3.** Инхибиторни ефекат PD-L1/PD-1 сигналног пута на активацију посредовану TCR (енг. *T cell receptor*, TCR) и CD28 молекулом <sup>3</sup>

## 1.9. Интерлеукин 27

Малигне меланомске ћелије потичу од сопствених меланоцита и њихово присуство у организму не индукује снажну инфламацију (29). Туморске ћелије индукују анти-туморски имунски одговор и сам тумор бива “обликован” тим имунским одговором, односно временом долази до “преуређења” тумора (енг. *tumor editing*). Интеракције између туморског ткива и домаћина су комплексне и понекад имунски одговор може блокирати раст тумора, док понекад, може стимулисати раст тумора. У ком ће се правцу развијати ефекти анти-туморског имунског одговора у великој мери зависи од типа тумора који је индуковао одговор, односно од механизама имунског одговора који су покренути присуством тумора. Саме туморске ћелије, укључујући ту и меланомске ћелије, као и имунске ћелије које инфильтришу тумор,

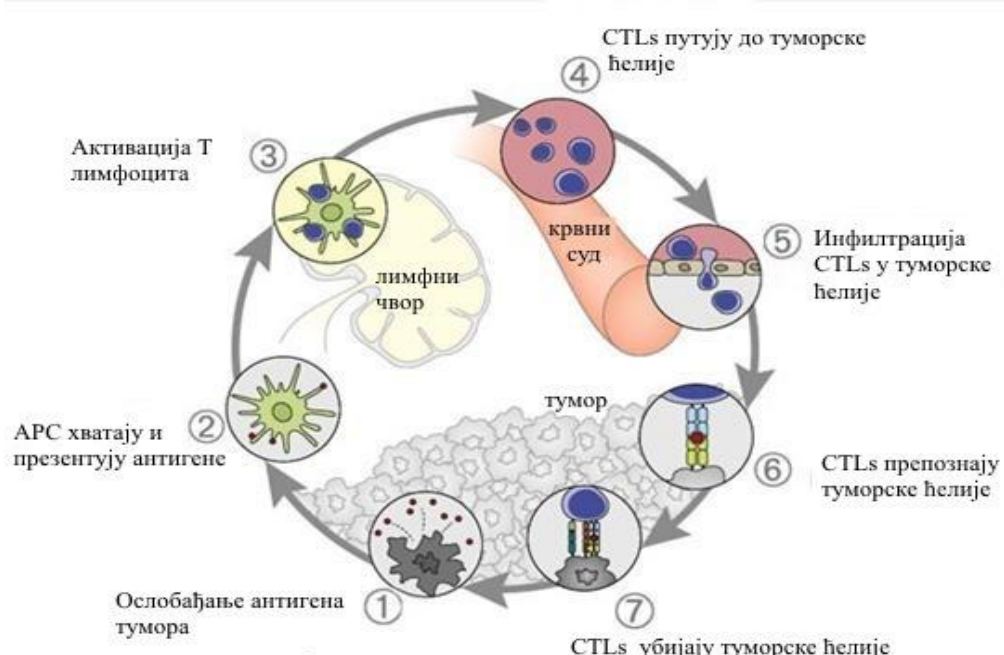
<sup>3</sup> <https://repository.kulib.kyoto-u.ac.jp/dspace/bitstream/2433/193052/1/ni.2762.pdf>

продукују многе факторе који играју интегралну улогу у развоју тумора. Међу њима, најбоље су проучени IL1, IL6, IL8, фактор стимулације колонија гранулоцита и моноцита (енг. *granulocyte macrophage colony stimulating factor*, GM-CSF), CCL2, CCL5, CCL12, CXCL12, CXCL5, IL-10 и трансформишући фактор раста (енг. *transforming growth factor*, TGF- $\beta$ ) (30). Многи од ових цитокина и хемокина су проинфламаторни, способни да индукују инфламацију и имунски одговор који својим акутним деловањем може довести до елиминације меланомских ћелија, међутим, у другом сценарију, у коме не долази до смиривања инфламације, наведени фактори могу довести до стварања хроничног инфламаторног окружења и на тај начин поспешити раст и преживљавање туморских ћелија. Поред набројаних фактора велику улогу у развоју тумора има и цитокин IL27. Многи од ових цитокина и хемокина су проинфламаторни, способни да индукују инфламацију и имунски одговор који својим акутним деловањем може довести до елиминације меланомских ћелија, међутим уколико не долази до смиривања инфламације, наведени фактори могу довести до стварања хроничног инфламаторног окружења и на тај начин поспешити раст и преживљавање туморских ћелија. Постоје јасне везе између хроничне инфламације и карцинома: плућа, мокраћне бешике, простате, панкреаса, цервикса и езофагуса, као и меланома (31,32).

Хронична инфламација поспешује настанак и развој тумора бројним механизмима, а неки од најбоље проучених обухватају: 1) продукцију реактивних кисеоничних једињења (енг. *reactive oxygen species*, ROS) која оштећују DNA, доприносећи тако генетичкој нестабилности и пролиферацији малигних ћелија; 2) продукцију проангиогених фактора, попут фактора раста ендотелних ћелија (енг. *vascular endothelial growth factor*, VEGF), који поспешују туморску неоваскуларизацију; 3) продукцију матриксних металопротеаза, које олакшавају

туморску инвазију и метастазирање и 4) поремећај мијелопоезе и хематопоезе, који узрокује дефицијенцију APC и дисфункцију антитуморског имунског одговора посредованог ћелијама (33).

Ефективни антитуморки имунитет се остварује посредством Т лимфоцита и то помоћничких Т лимфоцита (енг. *T helper-1*, Th1) који секретују интерферон гама (енг. *interferon  $\gamma$* , IFN- $\gamma$ ) и цитотоксичних Т лимфоцита (енг. *cytotoxic T lymphocytes*, CTL) (Слика 1.9.1) (34). За активацију Th1 и CTL неопходна је интеракција CD40-CD40L (35,36).



Сигнализација посредством CD40 на APC индукује транскрипцију различитих гена који имају улогу у активацији и диференцијацији Т лимфоцита. Један од цитокина кога секретују дендритичне ћелије је IL12, који је битан за диференцијацију Th у Th1,

<sup>4</sup> [http://www.onclive.com/\\_media/\\_upload\\_image/pd-l1-figure1.jpg](http://www.onclive.com/_media/_upload_image/pd-l1-figure1.jpg)

као и за ефекторску функцију CTL (37). По структури, IL27 припада фамилији IL12<sup>5</sup> цитокина, има јако изражене антитуморске ефекте што је показано на различитим моделима тумора, али такође експримира и ихибиторне ефекте ка дендритичним ћелијама и инфламаторним Т лимфоцитима.

IL27 је хетеродимерни цитокин, који се састоји од две субјединице: IL-12p40 кодиране Epstein-Barr вирус геном (EBI3) и субјединице IL27p28 која је слична IL12p35 протеину (38). Активиране APC укључујући дендритичне ћелије и макрофаге су главни извор IL27. Рецептор за IL27 (IL27R) се састоји од лиганд везујуће субјединице IL27Ra (WSX-1, TCCR) и ланца за спровођење сигнала gp130. За спровођење сигнала неопходна је коекспресија обе субјединице рецептора. Субјединица IL27Ra има структуру сличну субјединици gp130 и може да веже IL27 у одсуству gp130 (38). IL27 R се налази на великом броју хематопоетских и нехематопоетских ћелија. Иако се IL27Ra углавном налази на хематопоетским ћелијама, мале количине су детектоване и на ендотелијалним и епителијалним ћелијама (39).

### 1.9.1. Ефекти IL27: веза урођене и стечене имуности

IL27 има битну улогу у регулацији урођеног и стеченог имунског одговора на туморе. IL27 остварује свој антитуморски ефекат путем неколико механизама што зависи од карактеристика самог тумора. Антитуморски ефекти овог цитокина су: активација ефекторских ћелија урођеног имунитета као што су урођеноубилачке (енг. *natural killer*, NK) ћелије и  $\gamma\delta$ T лимфоцита, стимулација настанка ефекторских CTL (настају активацијом CD8<sup>+</sup>T лимфоцита) и стимулација диференцијације CD4<sup>+</sup>T лимфоцита (након активације постају помоћнички Т лимфоцити), стимулација измена

<sup>5</sup> IL12 је хетеродимер и састоји се из две субјединице: p35 и p40. Главна улога овог цитокина је стимулација T лимфоцита и NK ћелија да продукују IFN-γ и диференцијација наивних CD4+T ка Th1

класа код В лимфоцита а показано је да има и директне токсичне ефекте на неке ћелије тумора (40). IL27 може да повећа цитотоксичну активност NK ћелија и осетљивост туморских ћелија на дејство NK ћелија (41). Такође, овај цитокин стимулише и ћелијску цитотоксичност зависну од антитела (енг. *antibody dependent cellular cytotoxicity, ADCC*) (42). IL27 стимулише настанак CTL индукцијом експресије транскрипционог фактора T-bet и цитотксичних молекула: гранзим В и перфорин (43). Показано је да IL27 посредством активације CD8<sup>+</sup>Т лимфоцита и NK ћелија, узрокује регресију тумора (неуробластома) на моделу мишева (44). Такође, показано је да IL27 стимулише диференцијацију наивних CD4<sup>+</sup>Т лимфоцита ка Th1, фосфорилацијом транскрипционог фактора STAT-1 (енг. *signal transducers and activators of transcription 1*) и активацијом T-bet (45). Код наивних CD4<sup>+</sup>Т, IL27 заједно са IL12 стимулише продукцију IFN-γ (46). Са друге стране, показано је да IL27 инхибира диференцијацију наивних CD4<sup>+</sup>Т ка Th2 и то блокадом транскрипционог фактора GATA-3 (47). Обзиром да IL27 стимулише диференцијацију Th1 а инхибира Th2, може се претпоставити да баланс између ова два цитокина може одредити судбину даљег имунског одговора, антитуморског или протуморског. Показано је да промена Th2 ка Th1 узрокује одбацање тумора на моделу мишјег меланома (48). Th1 производи IFN-γ (снажан активатор макрофага), док Th2 производи: IL4 (стимулише продукцију IgE), IL5 (активира еозинофиле) и IL10 (инхибира активацију макрофага).

### 1.9.2. Антитуморски ефекат IL27

Антитуморски ефекат IL27 остварује следећим механизмима:

- инхибира настанак Foxp3<sup>+</sup>Treg лимфоцита

- блокира диференцијацију регулаторних Т ћелија (енг. *regulatory T cells*, Treg), активацијом транскрипционог фактора STAT-3
- може да ограничи експанзију Treg инхибицијом IL2 (49,50).

IL27 има директну антипсолиферативну активност, тако да инхибира раст и метастазе тумора путем активације STAT1 (51). Везивањем IL27 за рецептор тј.субјединицу WSX-1-активира се транскрипциони фактор STAT1, који стимулише транскрипцију гена за интерферон гама регулаторни фактор (енг. *IFN $\gamma$ -regulator factor*, IRF). Показано је да IRF1 и IRF8 имају антипсолиферативни ефекат (51).

Главна антитуморска активност IL27 се остварује блокадом ангиогенезе која је битан процес за раст и метастазу тумора. IL27 дејством на ендотелне ћелије стимулише продукцију антиангигених фактора: протеина 10 индукованог IFN $\gamma$  [енг. *IFN $\gamma$  inducible protein 10, IP10 (CXCL10)*] и Т-ћелијског хемоатрактанта [енг. *monokine induced by IFN $\gamma$ , MIG(CXCL9)*] (52). IL27 узрокује регресију тумора инхибицијом експресије проангигеног цитокина IL17, што остварује блокадом транскрипционог фактора ROR $\gamma$ t (53). Th17<sup>6</sup> лимфоцити који продају IL17 су пронађени код многих тумора, док је код неких модела показано да овај цитокин стимулише активацију CTLs и регресију тумора, код других модела је показано да може да стимулише раст тумора и ангиогенезу (40). IL17 стимулише фибробласте и туморске ћелије да продају ангиогене факторе раста: простагландин E2, VEGF, хемокине из кератиноцита, макрофаг инфламаторни протеин 2 (енг. *macrophage inflammatory protein, MIP-2*) и азот моноксид (NO) (40). Такође IL17 стимулише секрецију и ангиогених CXС хемокина у туморским ћелијама (40).

---

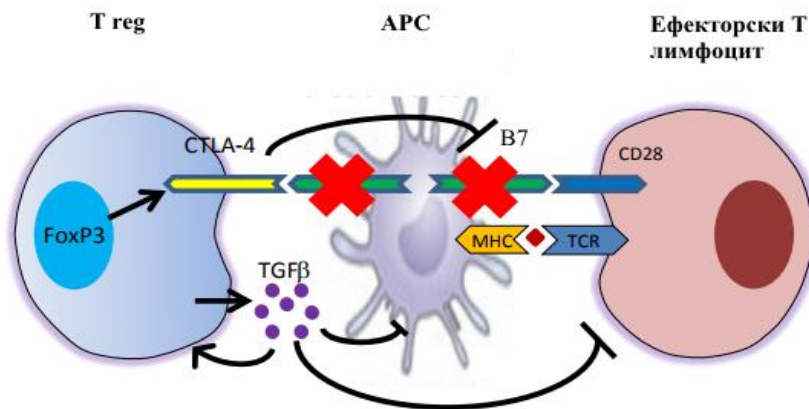
<sup>6</sup> Th17 настају диференцијацијом наивних CD4 $^{+}$ T у присуству цитотика које продају APC: TGF $\beta$ , IL21, IL6, IL23. Главни цитокин који секретују је IL 17.

### 1.9.3. Ефекти IL27 на ангиогенезу посредовану Treg

IL27 остварује свој антитуморски ефекат инхибицијом диференцијације Treg лимфоцита, а самим тим и инхибицијом процеса ангиогенезе. Регулаторни Т лимфоцити настају диференцијацијом наивних Т лимфоцита уз присуство TGF-β. На својој површини Treg експримирају рецептор CCR4 који се везује за лиганд CCL22 секретован у самом окружењу тумора, и на тај начин путују са периферије до тумора. Постоје различити механизми којима Treg лимфоцити доприносе развоју ангиогенезе тумора:

- Индиректан начин: врше супресију Th1 који секретују антиангиогене цитокине (IFN- $\gamma$ ) и хемокине индуковане IFN- $\gamma$  (CXCL9 и CXCL10);
- Директно: стимулишу ангиогенезу тако што секретују VEGF, TGF-β и простагландин E2 што узрокује пролиферацију ендотелних ћелија и настанак нових крвних судова (54).

Показано је да Treg делују имуносупресивно и имају улогу у модулацији антитуморског имунског одговора. На својој површини експримирају CTLA-4 рецептор. Посредством овог рецептора Treg могу да блокирају или уклоне B7 молекуле са APC (којима припадају и меланомске ћелије), које у том случају не могу да обезбеде костимулацију преко CD28 и активирају Т ћелије (Слика 1.9.3.1).



**Слика 1.9.3.1.** Имуносупресија посредована  $T_{reg}$ <sup>7</sup>

Повећана активност Treg може спречити имунски систем да уништи ћелије карцинома, зато је блокада CTLA-4 и онемогућавање активности Treg један начин да се појача антитуморски имунски одговор (55).

Иначе, IL27 може директно да инхибира диференцијацију Treg лимфоцита или да смањи њихов број тако што инхибира ензим COX-2 а самим тим и синтезу простагландина E2(56). COX-2 конвертује арахидонску киселину у простагландин Е2 (PGE2), који повећава супресивну активност Treg лимфоцита и укључен је у конверзију CD4<sup>+</sup>CD25<sup>-</sup>Т ћелија у Treg лимфоците (57). Такође, PGE2 смањује продукцију Th1 цитокина, а стимулише продукцију Th2 цитокина, што помаже туморским ћелијама да избегну антитуморски одговор (40). Такође је показано да IL27 смањује експресију протеина ANGPTL3, који има битну улогу у ангиогенези тумора (58).

#### 1.9.4. Имуносупресивни, противоречни, ефекти IL27

Поред свих ових антитуморских ефеката, показано је да IL27 може имати и супротне ефекте, односно да стимулише развој тумора. IL27 индукује настанак Tr1 ћелија које продукују IL10, познат као имуносупресивни цитокин (59). IL10 инхибира

<sup>7</sup> <https://repository.kulib.kyoto-u.ac.jp/dspace/bitstream/2433/193052/1/ni.2762.pdf>

антитуморски одговор на неколико начина: има инхибиторне ефекте на макрофаге и дендритичне ћелије и блокира продукцију IL12, а такође смањује експресију МНСII. Са друге стране показано је да IL10 може да утиче на повећање боја CD8<sup>+</sup>T ћелија и да стимулише секрецију IFN-γ (60,61). IL27 може да блокира секрецију цитокина и антиген презентујућу функцију дендритичних ћелија (инхибира сазревање дендритичних ћелија) и самим тим делује имуносупресивно (62).

IL27 стимулише експресију лиганда за програмирану-ћелијску смрт (PD-L1) на дендритичним ћелијама и Т лимфоцитима (63, 64). PD-1 рецептор и његови лиганди PD-L1/ L2 имају битну улогу у избегавању атитуморког одговора. Показано је да блокада PD-1 рецептора и/или његових лиганда PD-L1, као и CTLA-4 рецептора узрокује регресију тумора и стабилизацију болести, што је управо основа савремене биолошке терапије моноклонксим антителима код пацијената са узнапредованим карциномом (65,66).

IL27 инхибира продукцију гранулоцит-макрофаг стимулирајућег фактора (GM-CSF) и Th9<sup>8</sup> диференцијацију, за које је показано да инхибирају раст тумора (67,68).

Ефекти IL27 су парадоксални, са једне стране овај цитокин има антитуморске ефекте (стимулише развој Th1 и CTL одговор, а блокира настанак Th2), док са друге стране има имуносупресорне тј. противуморске ефекте које остварује посредством IL-10, PD-L1 и CTLA4. Блокадом ових противуморских ефеката, побољшала би се ефикасност IL27 у терапији тумора.

<sup>8</sup>Th9 настају диференцијацијом наивних CD4<sup>+</sup>T у присуству цитокина: TGFβ и IL10, главни цитокин који сектртују је IL9.

## 1.10. Оксидативни стрес

Оксидативни стрес (енг. *oxidative stress*, OS) настаје када се наруши редокс хомеостаза ћелије услед прекомерног стварања и/или неадекватног уклањања слободних радикала (енг. *free radicals*, FRs)/реактивних врста (енг. *reactive species*, RS) путем заштитних механизама антиоксидативног система. Овај дисбаланс узрокује оштећења структуре биомолекула и морфологије, те и функције ћелија. Оксидативни стрес мења ћелијску интра- и интер- сигнализацију, троши њене енергетске и редукционе ресурсе, те уводи у програмирану смрт процесом апоптозе (69).

### 1.10.1. Реактивне хемијске врсте

Реактивне хемијске врсте су свеобухватна група хетрогенених једињења изражених оксидационих својстава, а по хемијској структури радикалског и нерадикалског типа. Слободни радикали су главна група RS и то су атоми, молекули или јони који садрже један или више неспарених електрона у последњој орбитали, што их чини изузетно реактивним и снажним оксидационим агенсима. Услед тежње да спаре неспарен(е) електрон(е) у последњој орбитали, FRs се понашају као снажни елетрофили, односно јаки оксидациони агенси. У реакцији са супстратом FRs се редукују (дабијају електрон) и губе карактер FRs, а супстрат се оксидише (губи електрон) и постаје FR друге генерације тзв. секундрани радикал и отпочиње ланац радикалских реакција које узрокују оштећење ћелија и ткива (70).

Нерадикалне врсте немају слободне електроне у последњој орбитали, али су веома нестабилне молекуле, лако подложне (не)ензимској деградацији чији су продукти управо FRs, те су због тога такође оксидациони агенси биомолекула у организму (70,71).

У зависности од активног центра RS, се деле у четри категорије: реактивне кисеоничне/азотове/угљеникове/сумпорне врсте (енг. *reactive oxygen/nitrogen/carbonyl/sulfur species, ROS/RNS/RCS/RSS*) (72) (Табела 1.10.1.1).

**Табела 1.10.1.1.** Реактивне хемијске врсте у организму

Реактивне врсте	Радикали	Нерадикали
<b>ROS</b>	$O_2^{\cdot}$ супероксил анјон радикал $HO^{\cdot}$ хидроксил радикал $ROO^{\cdot}$ пероксил радикал $RO^{\cdot}$ алкоксил радикал $HOO^{\cdot}$ хидропероксил радикал	$H_2O_2$ водоник преоксид HOCl хипохлорна киселина $O_3$ озон $O_2$ синглет кисеоник
<b>RNS</b>	$NO^{\cdot}$ нитроксил радикал $NO_2^{\cdot}$ азот диоксид радикал	$NO_2^-$ азотдиоксид анјон $N_2O_3$ азот триоксид $NO_2^+$ нитрил јон $ONOO^-$ пероксинитрит анјон $ROONO$ аликил пероксинитрит $NO^-$ синглет нитроксил анјон $NO^+$ нитрозил катјон $NO_2Cl$ нитрил хлорид
<b>RCS</b>	$R^{\cdot}$ алкил радикал $RO^{\cdot}$ алкоксил радикал $ROO^{\cdot}$ пероксил радикал	
<b>RSS</b>	$RS^{\cdot}$ тиил радикал $GS^{\cdot}$ глутатил радикал $GSSG^{\cdot\cdot}$ диглутатиил анјон радикал	

Слободни радикали који настају могу бити :

1) ендогеног порекла

- у физиолошким условима током процеса оксидативне фосфорилације у митохондријама, тј. у току процеса ћелијског дисања
- у инфламацији, током процеса фагоцитозе
- у болестима (неуродегенеративне, малигне, кардиоваскуларне, аутоимуне...)
- у нефизиолошким условима као што су исхемија, хипоксија, реперфузија
- оксидоредукције у присуству метала

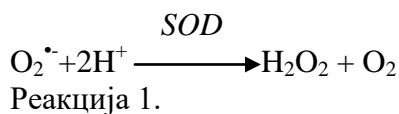
## 2) егзогеног порекла

- излагање спољашњим факторима средине (UV зрачење, јонизујуће зрачење, аерозагађење)
- биотрансформацијом ксенобиотика (у ендоплазматичном ретикулуму, посредством система мешовитих оксидаза, током метаболисања егзогено унетих једињења) (73,74,75,76).

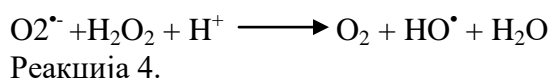
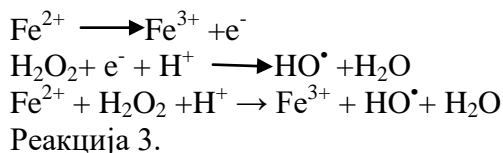
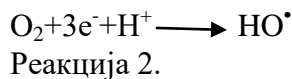
Показано је бројним студијама веза између FRs и настанка бројних болести (дегенеративне болести, малигне болести, diabetes mellitus, кардиоваскуларне болести, тровања хемијским супстанцима) (77-80). ROS посредују у стварању OS, док RNS посредују у стварању нитрозативног стреса (енг. *nitrosative stress*, NS).

Сходно чињеници да у условима аеробног метаболизма највећи промет у организму остварује молекуларни кисеоник ( $O_2$ ), најбројније и најзначајније су ROS, и то на првом месту супероксидни анјон радикал ( $O_2^{\cdot -}$ ), који се ствара у процесу транспорта електрона, редукцијом молекуларног кисеоника, у митохондријама или у ендоплазматском ретикулуму, аутооксидацијом редокс активних супстрата, гликацијом протеина, оксидацијом тиола, метаболизмом бројних ксенобиотика у присуству  $O_2$ , итд. (81). С друге стране,  $O_2^{\cdot -}$  настаје и ензимски посредованим процесима, у фагоцитима посредством ксантин оксидазе и NADPH (енг. *nicotinamide adenine dinucleotide phosphate*) оксидазе (82). При физиолошким pH и прекомерном стварању,  $O_2^{\cdot -}$  спонтано прелази у  $H_2O_2$ . Метаболички пут  $O_2^{\cdot -}$  зависи од pH средине, тако да се у базној средини редукује до  $H_2O_2$  посредством једињења која садрже протон, док се у киселој средини оксидује до  $O_2$  у присуству  $Fe^{+3}$ ,  $Cu^{2+}$ , ферицитохрома С и хинона (70). Супероксидни анјон радикал је лако дифузибилан, те доприноси просторној

пропагацији OS, уклања се посредством ензима супероксид дизмутазе (енг. *superoxide dismutase*, SOD), аутооксидацијом (енг. *dismutation*) до  $H_2O_2$  и  $O_2$  (Реакција 1). Водоник пероксид се посредством ензима каталазе (енг. *catalase*, CAT) редукује до воде ( $H_2O$ ), а ненезимски може да се оксидаше до  $O_2^{\cdot-}$  (70). Водоник пероксид се ствара у пероксизомама, митохондријама, миркозомалној фракацији ћелије и у ћелијским мембранима (83).



Умерена хемијска активност  $H_2O_2$  је увећана изузетном дифузијом ове молекуле и нестабилношћу јер хомолитичком разградњом производи хидроксил радикал ( $HO^{\cdot}$ ), најпотентнији ROS (снажан оксидациони агенс). Хидроксил радикал настаје и редукцијом  $O_2$  током респираторног ћелијског дисања (Реакција 2), као и у реакцији  $H_2O_2$  са металима променљиве валенце, познатом као *Fenton*-ова реакција (Реакција 3), и у незнатној количини у *Haber-Weiss*-овој реакцији (Реакција 4). Изузетна рејективност  $HO^{\cdot}$  се огледа у оксидацији биолекулама попут DNA, протеина и липида (84).



У физиолошким условима, ROS су присутни у ниским концентрацијама и представљају сигналне молекуле укључене у бројне процесе као што су: пролиферација и диференцијација ћелије, апоптоза, експресија гена путем активације

транскрипционих фактора, у фагоцитози као механизам одбране од бројних бактерија (85). Насупрот томе, висока концентрација ROS или неадекватно уклањање истих у OS узрокује настанак оштећења бројних макромолекула и метаболичке дисфункције.

### **1.10.2. Антиоксидативни систем заштите**

Да би се спречила оштећења узрокована ROS, постоје механизми антиоксидативне заштите чије се компоненте налазе у серуму, еритроцитима, као и у ткивима. Антиоксидативни систем заштите код људи је веома екстезиван и састоји се од више нивоа (86):

- Примарни ниво (ензими који хватају слободне радикале: супероксид дизмутаза, каталаза, глутаутион пероксидаза и неензимске компоненте: глутатион, аскорбинска киселина, α токоферол, β каротен)
- Секундарни ниво (специфичне оксидоредуктазе: тиол трансфераза, протеин ADP рибозил трансфераза, ATP и  $\text{Ca}^{2+}$  независна трансфераза; пигменти (укључујући меланин); и неке стабилне липидне модификације као што су липопротеини мале густине)
- Терцијарни ниво (протеини који хелирају метале са променљивом валенцом, као што су церулоплазмин, апоферитин, феритин)

Антиоксидативни систем заштите (енг. *antioxidative system*, AOS) одржава хомеостазу следећим механизмима: спречава формирање FR или уклања FRs (путем ензимски катализованих реакција); обезбеђује довољне количине редукционих еквивалената [NADPH и глутатион (енг. *glutathione*, GSH)] у ћелији; обнавља оштећене молекуле, итд. (87). Улога ензима AOS је у биотрансформацији примарних и секундарних FRs у мање активна једињења, као и у обезбеђивању довољне количине

редукционих еквивалената у ћелији, неопходних за превенцију развоја OS. Описани су само ензими AOS који су у овом раду испитивани код пацијената оболелих од меланома или су у вези са параметрима OS које смо мерили.

### **1.10.2.1. Супероксидна дизмутаза**

Супероксидна дизмутаза (енг. *superoxide dismutase*, SOD) (EC 1.15.1.1) је металоензим који катализује реакцију дисмутације  $O_2^{\cdot-}$  до  $H_2O_2$  уз промену редокс статуса металног јона (Cu или Mn) у активном центру и представља најзначајнију компоненту ензимског антиоксидативног система. Еукариотски организми поседују три врсте овог ензима, у цитосолу је бакар/цинк супероксид дизмутаза (енг. *CuZn superoxide dismutase*, CuZnSOD), у митохондријама је манган супероксид дизмутаза (енг. *Mn superoxide dismutase*, MnSOD) и екстрацелуларна супероксид дизмутаза (енг. *extracellular superoxide dismutase*, EcSOD) (88).

CuZnSOD (хомодимер), прва идентификована форма SOD, се налази у цитосолу еукариотских ћелија, свака субједница садржи по један атом редока активног метала  $Cu^{2+}/Cu^+$  и један атом Zn који има структурну улогу и стабилизује конформацију ензима (89). Код сисара је пронађена у цитоплазми, једру, ендоплазматичном ретикулуму, митохондријама и лизозомима. CuZnSOD је значајна за процес дисмутације  $O_2^{\cdot-}$  до  $H_2O_2$ .

MnSOD је хомотетрамер митохондријски протеин (89). Ова изоформа обезбеђује виталну заштиту против ROS насталих хипероксијом и има главну улогу у ћелијској диференцијацији и генези тумора.

EcSOD је хомотетрамер и пронађена је искључиво код сисара. То је гликопротеин који се налази у интерстицијалном матриксу ткива, и гликокаликсу где је

везан за хепаран сулфат протеогликане. У мањој колични пронађен је у екстрацелуларним течностима као што су: плазма, лимфа, синовијална и цереброспинална течност (89). Ово је последње откривена изоформа и најмање проучена.

#### **1.10.2.2. Каталаза**

Каталаза (EC 1.11.1.6) је један од најефикаснијих ензима у живом свету. Основна улога САТ је редукција  $H_2O_2$  до  $H_2O$  чиме се спречава његова дифузија у друге делове ћелије. Каталаза не може бити сатурисана својим супстратом,  $H_2O_2$ , без обзиру на његову концентрацију тако да ензимска активност расте линеарно са порастом концентрације  $H_2O_2$  (90). Каталаза је хомотетрамер, који у активном центру има  $Fe^{3+}$ , везано за порфирин хем групу ензима (91). Код еукариотских ћелија се предоминантно налази у пероксизомама, а присутна је и у цитосолу и у митохондријама (91). Многи пероксизомални ензими узрокују настанак велике количине  $H_2O_2$ , због чега је улога каталазе од пресудног значаја за заштиту ћелија од оксидативног оштећења (92).

#### **1.10.2.3. Глутатион пероксидаза**

Глутатион пероксидаза (енг. *glutathione peroxidase*, GPx, EC 1.11.1.9) је битан ензим заштите од оксидативних оштећења. Код еукариота се налази у различитим деловима ћелије као што су: цитосол, митохондрије, пероксизоми и интермембрански простор (93). Катализује редукцију  $H_2O_2$  до  $H_2O$  (тада показује већу активност од каталазе) и органских хидропероксида у алкохоле ( $ROOH$  у  $ROH$ ), при чему користи GSH као кофактор. Глутатион пероксидаза има већи афинитет за  $H_2O_2$  од САТ, тако да има битну улогу у примарној одбрани при ниским концентрацијама  $H_2O_2$ , док је САТ значајнији ензим у условима OS односно при високим концентрацијама  $H_2O_2$  (90).

#### 1.10.2.4. Глутатион редуктаза

Глутатион редуктаза (енг. *glutathione reductase*, GR, EC 1.6.4.2) је детекотвана код свих организама, код еукариота се налази у цитосолу и митохондријама. Овај ензим катализује рекацију која је битна за стабилност и интегритет ћелије, јер преводи оксидовани глутатион (GSSG) у редуктовани (GSH), при чему се користи коензим NADPH. Редуктовани глутатион учествује у великом броју рекација које су битне за функционисање ћелија, односно за одржавање редокс хомеостазе у ћелији (94).

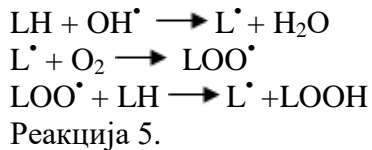
### 1.10.3. Оксидативна модификација биомолекула

#### 1.10.3.1. Липидна пероксидација

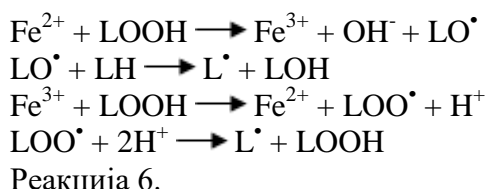
Најизраженији негативни ефекат деловања слободних радикала је оксидација вишеструко незасићених масних киселина садржаних у ћелијским мембранима, позната као липидна пероксидација (енг. *lipid peroxidation*, LPO), током које долази до оштећења плазма мембрane. Крајњи производ LPO је малондиалдехид (енг. *malondialdehyde*, MDA), биохемијски маркер степена оксидативног оштећења (95).

Полинезасићене масне киселине фосфолипидног двослоја ћелијских мембрана представљају главне циљне молекуле за ROS. Хидроксил радикал започиње процес LPO, одузимањем протона и електрона са метиленске групе полинезасићених масних киселина (LH) чиме се формирају липидни радикали ( $L^\cdot$ ) (Реакција 5). Низом ланчаних реакција стварају се нови  $L^\cdot$ , који у реакцији са  $O_2$  формирају липидни хидропероксил ( $LOO^\cdot$ ), а даље се стварају липидни хидропероксиди ( $LOOH$ ). Хомолитичком разградњом  $LOOH$  настају веома реактивни алкооксил радикали ( $LO^\cdot$ ) и  $HO^\cdot$ . Такође,  $LOOH$  се преводи у алкохол у реакцији катализованој ензимом GPx. Даље,

интрамолекуларном циклизацијом липидних хидропероксида и њиховом деградацијом потом настају карбонили, укључујући алдехиде (96).



Могуће реакције  $\text{LO}^\bullet$  као и  $\text{LOOH}$  са металима представљене су реакцијама 6 (97).



$\text{LOOH}$  су нестабилни, разлажу се и формирају веома реактивна алдехидна једињења која су знатно стабилнија од ROS и лако дифундују у ћелијски медијум. Најпознатији токсични алдехидни производи LPO су 4-хидрокси 2 нонеал (енг. *4 hydroxy-2 nonenal*, NE) и MDA (98).

Липидно оштећење ћелијске мемране има за последицу смањење флуидности, повећану пропустљивост за једновалентне и двовалентне јоне, инактивацију мембраних ензима, губитак интегритета мемране, док руптура лизозомских мембрана ослобађа хидролитичке ензиме, што свеукупно доводи до виталних ћелијских поремећаја и на крају смрти ћелије. Малондиалдехид, терминални продукт оксидативног оштећења полинезасићених масних киселина, везује се за протеине из фосфолипиде мемране, чиме се продубљује оксидативно оштећење биомолекула, и најчешће се користи као маркер LPO.

#### 1.10.4. Оксидативна модификација DNA

Реактивне кисеоничне врсте могу да интерагују са свим компонентама DNA молекуле (пуринске и пиридинске базе, деоксирибозна основа) и доведу до различитих оштећења DNA (једноланчани и дволанчани прекиди, модификација пурина и пиридинских база, делеција, мутација и транслокација, унакрсна повезивања у оквиру једног или оба ланца DNA). Оксидативна оштећења DNA/RNA се односе на три врсте оксидисаног гуанина (пурина база) у DNA и рибонуклеинској киселини (енг. *ribonucleotid acid*, RNA): 8-хидрокси-2'-деоксигуанозин (од DNA), 8-хидроксгуанозин (од RNA) и 8-хидрокси гуанин (од DNA или RNA). То су маркери оксидативно оштећених нукленских киселина. Резултат овог процеса је замена гуанозин-цитозин базног пара у тимин-аденин базни пар, након два репликационе циклуса. Оштећења DNA под дејством различитих ROS спречавају индукцију транскрипције, узрокују грешке у репликацији и геномску нестабилност, што је први корак у процесу мутагенезе, карциногенезе и старења (99, 100).

#### 1.10.5. Оксидативна модификација протеина

Аминокиселински остаци протеина се разликују по степену осетљивости на ROS. Најосетљивије на оксидацију су аминокиселине цистеин и метионин (100). Процес оксидације најчешће узрокује настанак нових функционалних група, као што су хидроксилне и карбонилне (90). Карбонилација протеина је иреверзибилан процес где настају протеински карбонили који се користе као маркери OS (98). Секундарни ефекти оксидације протеина укључују настанак алкил, алкоксил, алкил-пероксил радикала, фрагментацију полипептидног ланца, промену наелектрисања протеина, повећану осетљивост на протеолизу, протеин-протеин интеракцију и агрегацију насталих

производа (91). Нарушавање терцијарне структуре и функције протеина узрокују смрт ћелије (101).

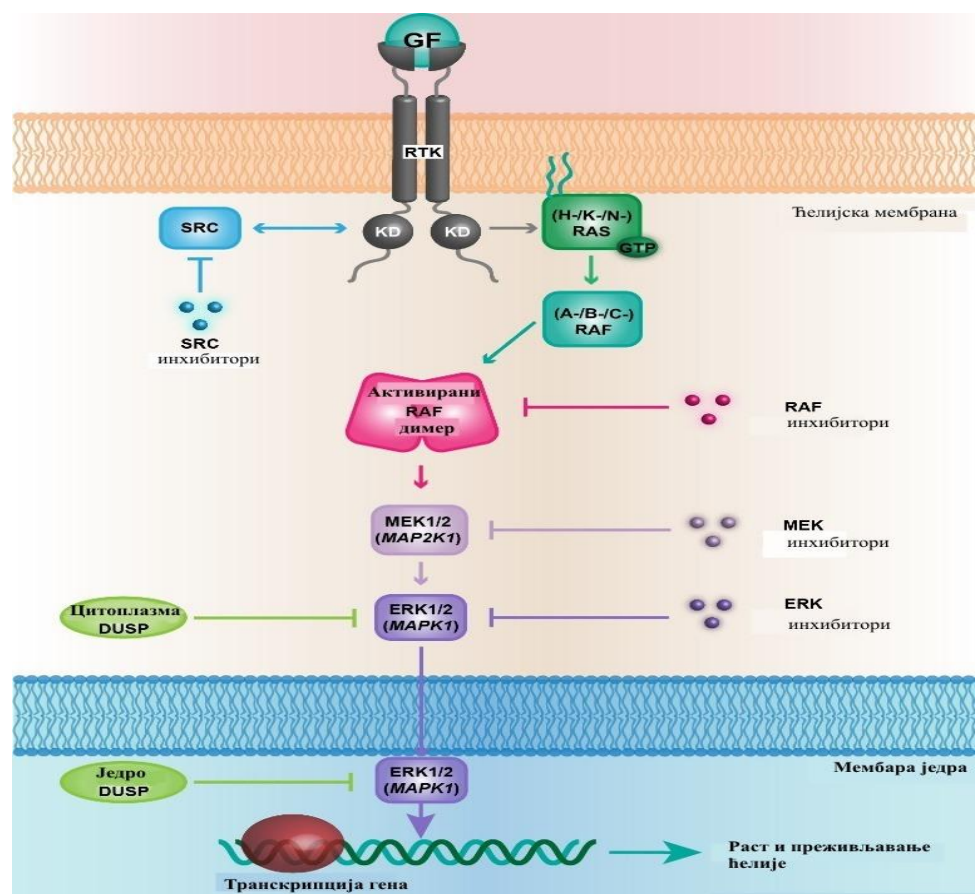
### **1.11. Улога оксидативног стреса у развоју меланома**

Повећана продукција ROS учествује у настанку малигних болести поред осталих етиолошких фактора. Слободни радикали могу да делују на бројне сигналне путеве и транскрипционе факторе што резултира неконтролисаном активацијом сигналних путева, повећаном експресијом одређених гена и неконтролисаном пролиферацијом ћелија.

На неколико различитих начина ROS могу да узрокују развој тумора: стимулација пролиферације ћелије [нпр. активација ERK1/2 киназе (енг. *extracellular signal related kinase*, ERK)], избегавање апоптозе [нпр. активација фосфатидилинозитид 3 киназе (енг. *phosphatidylinositol 3 kinase*, PI3K)], инвазија ткива и настанак метастаза (нпр. стимулација секреције металопротеиназа у екстрацелуларни простор) и ангиогенеза (стимулација секреције VEGF) (102). Један од сигналних путева на које делују ROS је MAPK, која се састоји од: екстрацелуларне ERK1/2, терминалне киназе c-Jun (енг. *c-Jun terminal kinase*, JNK), p38 киназе и велике MAP киназе 1 (BMK1/Erk5) (102). У условима високе концентрације ROS активира се киназа која узрокује настанак апоптозе (енг. *apoptosis signal regulated kinase* 1, Ask1) тако што регулише активацију JNK и p38 (103). Такође ROS могу директно да активирају MAPK, инхибицијом MAPK фосфатазе што узрокује активацију ERK1/2. Претерана активација ERK1/2 стимулише пролиферацију и преживљавање ћелија. Други механизам који је заслужан за преживљавање ћелија је PI3K, чија активност се налази под контролом фосфатазе. У условима OS активност фосфатазе је инактивирана (оксидацијом цистеина у

каталитичком домену), што узрокује повећану активност PI3K и даљи развој карцинома (104).

Пренос сигнала посредством Ras-Raf-MEK-ERK сигналног пута отпочиње везивањем сигналне молекуле, нпр. фактора раста (енг. *growth factor*, GF) (митоген)<sup>9</sup> за рецептор на површини ћелије и завршава се синтезом протеина који промовишу раст, пролиферацију и преживљавање ћелије.



**Слика 1.11.1.** Циљне молекуле Ras-Raf-MEK-ERK сигналног пута на које је могуће деловати инхибиторима<sup>10</sup>

<sup>9</sup> Митоген је хемијска супстанца која подстиче ћелију да започне дељење тј. митозу. Пут укључује многе протеине, укључујући MAPK (протеинске киназе активиране митогенима, првобитно зване ERK, киназе које регулишу екстрацелуларне сигнале: "екстрацелуларним сигналом регулисане киназе" – ERKs, и "протеин киназа повезана са микротубулом" - MAPK), које комуницирају додавањем фосфатних група суседном протеину који делује као „укључени“ или „искључени прекидач“.

<sup>10</sup> <https://www.mycancergenome.org/content/molecular-medicine/pathways/map-kinase-signaling>

У терапијском смислу, користе се инхибитори овог пута, како би се онемогућила пролиферација изменених, тј. туморских ћелија (укључујући меланомске ћелије) (Слика 1.11.1).

Модификација DNA молекула посредством ROS је још један узрок настанка карцинома (105,106). Оштећена DNA молекула узрокује смрт ћелије или индукцију транскрипције, активацију сигналних путева, грешке у репликацији, генску нестабилност што узрокује развој тумора (107,108).

Бројним студијама је утврђен различит потенцијал стварања FRs код меланоцита и меланомских ћелија, где се код првих (меланоцита) значајно мање стварају (109). Ова разлика може имати битну улогу настанку и развоју меланома. Можда је разлог овоме, смањена антиоксидативна способност (смањена активост CAT, GSH-S-трансферазе, SOD, GSH) код меланомских ћелија (110,111), те тиме и повећан садржај ROS ( $H_2O_2$ ,  $O_2^-$ , итд.). Можда је ово про-оксидативно окружење узрок повећане активације транскрипционих фактора, те тиме и пролиферације меланомских ћелија (112).

## 2. ХИПОТЕЗЕ И ЦИЉЕВИ

### 2.1. Циљеви студије

1. Одредити вредности IL27 и параметара OS (активност ензима супероксид дизмутазе, укупне SOD (енг. *total superoxide dismutase*, tSOD), MnSOD и CAT, концентрације  $O_2^{\cdot-}$  и MDA) у узорцима серума оболелих од меланома и здравих контролних особа.
2. Испитати да ли вредности мерених параметара корелирају са клиничким стадијумом болести, степеном лимфоваскуларне инвазије, присуством микросателитоза, хистолошким типом меланома (класификација по CLARCK-у и BRESLOW-у), патохистолошком Т стадијуму, присуством улцерација, степеном перинеуралне инвазије, присуством митоза, као и обликом (типом) ћелија тумора.
3. Испитати међусобну повезаност концентрација IL27 и вредности параметара OS (tSOD, MnSOD, CAT, MDA и  $O_2^{\cdot-}$ ) у узорцима серума оболелих од меланома.

### 2.2. Радне хипотезе

1. Код болесника са меланомом концентрација IL27 је смањена, док су вредности параметара OS повећане у односу на здраве испитанике.
2. Болесници са узнапредовалом болести имају мање вредности IL27, а повећане вредности параметара OS у односу на почетне стадијуме болести.

### 3. МАТЕРИЈАЛ И МЕТОДЕ

#### 3.1. Пацијенти и здраве контроле

Пацијенти са меланомом, просечне старости око 50 година, упућивани су на клинике за дерматовенерологију и клинике за пластичну и реконструктивну хирургију Војномедицинске Академије (ВМА). У студију су укључени болесници са патохистолошки (РН) потврђеном дијагнозом малигног меланома. Пацијентима са РН доказаним меланомом одређен је ниво инвазије класификацијом по CLARCK-у, дебљина промене по BRESLOW-у и патохистолошки стадијум болести (величина тумора, присуство/одсуство улцерације, број митоза по  $1\text{mm}^2$ ). Пацијенти са меланомом класификовани су на основу: стадијума болести дефинисаног према седмом издању AJCC (American Joint Committee on Cancer) из 2009. год. (113), хистолошког типа меланома, класификације по CLARCK-у и BRESLOW-у, облика (тип) ћелија, патохистолошког стадијума, присуства: лимфоваскуларне инвазије, регресије, улцерације и броја митоза. Клинички стадијум болести одређен је на основу стандардних процедура за меланом: основне лабораторијске анализе (укључујући LDH и S100A протеин), патохистолошки налаз, клинички преглед, ултразвучни преглед регионалних лимфних чворова, нативна рентгенографија плућа и срца а за поједине пацијенте и компјутеризована томографија (енг. *multi slice computed tomography*, MSCT) главе, грудног коша и мале карлице, као и радиоизотопско испитивање лимфног чвора чувара (енг. *Sentinel Lymph Node*). Прогресија болести дефинисана је као прогресија тумора у виши стадијум.

Критеријуми за искључивање из студије били су: меланом ока и слузокоже, аутоимуне болести, друге малигне болести, симптоми и знаци акутне инфекције,

узимање имуносупресивне терапије. Све испитиване особе потписале су информисани пристанак и студија је одобрена од стране локалног етичког комитета.

### 3.2. Узорци

Три до шест милилитара венске крви (из вене надлакатне јаме) прикупљено је од пацијената са малигним меланомом ( $n = 72$ ) и здравих контролних особа ( $n = 30$ ). Узорци венски крви узети су у вакумске епрувete са активатором когаулације. Један сат од узимања узорка, крв је центрифугирана у циљу добијања серума који је одвојен и замрзнут на  $-80^{\circ}\text{C}$ , до завршетка прикупљања свих узорака.

### 3.3. Испитивање групе

Испитаници су класификовани у групе према критеријумима који су приказани табеларно (Табела 3.3.1).

**Табела 3.3.1.** Класификација пацијената оболелих од меланома

Критеријум за класификацију	Групе испитаника						
	MP	K	IIA	IIB	IIC	III	IV
AJCC	IA	IB	IIA	IIB	IIC	III	IV
CLARCK	II	III	IV				
BRESLOW	0-1mm	1-2mm	2-3mm	3-4mm	4-5mm	5-7mm	7-8mm
Хистолошки тип меланома	MPC	NM	SSM				
Лимфоваскуларна инвазија	Лимфоваскуларна инвазија	Без лимфоваскуларне инвазије					
Митотски индекс (брож митоза/ $\text{mm}^2$ )	0	1	2	3	4 и 5		
Регресија	Регресија	Без регресије					
Улцерација	Улцерација	Без улцерације					
Тип ћелије меланома	Епителодине	Невоидне	Вретенасте				
Патохистолошки стадијум	pT1	pT2	pT3	pT4			

MP- пацијенти оболели од меланома, K- здраве контролне особе, MPC- melanoma polipoïdes cutis, NM- nodular melanoma, SSM- superficial spreading melanoma.

### 3.4. Одређивање концентрације интерлеукина 27 (IL27)

#### Принцип одређивања:

Концентрација IL27 је одређивана методом сендвич теста ELISA, коришћењем комерцијалног кита R&D Systems, према упутству произвођача.

#### Реагенси:

- микроплоча са 96 места
- PBS (plate coating buffer)- пуфер за облагање места на микроплочи, састоји се из: 137mM NaCl, 1,7 mM KCl, 8,1mM Na<sub>2</sub>HPO<sub>4</sub>, 1,5mM KH<sub>2</sub>PO<sub>4</sub>, pH 7,2-7,4
- Пуфер за испирање 0.005% Tween y 20 PBS, pH 7,2-7,4
- Дилуент за реагенсе 1% BSA (bovine serum albumin) у PBS-y, pH 7,2-7,4
- Супстрат раствор: 1:1 мешавина реагенса А (H<sub>2</sub>O<sub>2</sub>) и реагенса В (tetramethylbenyidine)
- Стоп раствор 2N H<sub>2</sub>SO<sub>4</sub>

#### Припрема реагенаса:

- Стрептавидин коњугован са HRP (енг. *horseradish-peroxidase*) се разблажује према упутству производаца са дилуентом за реагенсе
- Антитело које везује IL27- примарно антитело, раствара се са 0,5ml PBS
- Детекционо антитело- секундарно антитело, раствара се са 1 ml дилуента са реагенсе
- Стандард IL27 се раствара са 0,5ml дилента за реагенсе и затим се од овог раствора праве двострука разблажења тако да буде седам раствора тј. тачака за калибрацију.

Процедура за припрему микроплоче:

- 1) Обложити базенчиће у микроплочи са 100 µl примарног антитела.  
Инкубирати преко ноћи на собној температури.
- 2) Аспирирати садржај из сваког базенчића и испрати са пулфера за испирање,  
поновити испирање два пута.
- 3) Додати 300 µl дилуента за реагенсе у сваки базенчић. Инкубирати на собној  
температури 1 сат.
- 4) Испрати плочу као у кораку бр.2.

Поступак одређивања:

- 1) Додати 100 µl узорка серума (стандарда) у сваки базенчић, инкубирати 2 сата  
на собној температури.
- 2) Испрати плочу као у кораку бр.2 из процедуре за припрему плоче.
- 3) Додати 100 µl секундарног антитела у сваки базенчић и инкубирати 2 сата на  
собној температури.
- 4) Испрати плочу као у кораку бр2. из процедуре за припрему плоче.
- 5) Додати 100 µl раствора стрептавидина коњугованог са HRP, инкубирати 20  
минута, не излагати светlostи.
- 6) Испирати плочу као у кораку бр.2 из процедуре за припрему плоче
- 7) Додати 100 µl супстрата, инкубирати 20 минута на собној температури, не  
излагати светlostи.
- 8) Додати 50 µl стоп раствора у сваки базенчић.

9) Измерити оптичку густину (апсорбантцу) у сваком базенчићу, користећи читач микроплоча, на таласној дужини 450nm (у овој студији коришћен је Behring ELISA processor II).

Концентрације IL27 се одређују са калибрационе криве и изражавају у pg/mL.

### **3.5. Одређивање концентрације супероксид анјон радикала ( $O_2^-$ )**

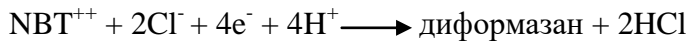
#### Принцип одређивања:

Редукција нутроблу тетразолијума (NBT) до нитроблу формазана користи се као мера стварања  $O_2^-$  у хемијским и биолошким системима (114). Редукција NBT-а се одвија у два корака:

1. као непотпуна редукција до моноформазана:



2. као комплетна редукција NBT-хлорида до диформазана



У оксидованој форми NBT је жута супстанца растворљива у води, док је његова редукција у диформазан праћена променом у интензивну плаву боју и смањењем растворљивости. У пуферизованим воденим растворима близком неутралном pH, моларни екстинкциони кофицијент при таласној дужини од 550 nm износи за моноформазан  $15000\text{ M}^{-1}\text{cm}^{-1}$ , а за диформазан  $30\ 000\text{ M}^{-1}\text{cm}^{-1}$ . У воденим растворима реакције које стварају  $O_2^-$  доводе до непотпуне редукције NBT до моноформазана.

#### Реагенси:

- фосфатни пуфер (0,05M, pH=8,6, са 0,1mM EDTA)

- NBT (1mM)
- желатин (0,1 mg/mL)

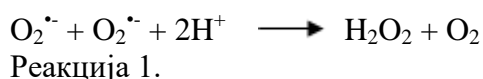
Поступак одређивања:

Реакциона смеша је садржала 1 mmol NBT (раствореног у 0,05 mol фосфатном пуферу, pH 8,6 са 0,1mmol EDTA) и 0,1 mg/mL желатина, који NBT-формазан одржава у раствору. Раствор NBT је један сат био изложен дејству азота под притиском, што је имало за циљ да смањи напон кисеоника у медијуму. Реакција је отпочињала додавањем 0,05 mL узорка у 1 ml реакционе смеше, а промена екстинкције праћена је у току 5 минута на таласној дужини 550 nm (спектрофотометар Ultrospec 2000). Стварање  $O_2^{•-}$  изражавано је као  $\mu\text{mol}$  редукованог NBT/min/L.

### 3.6. Одређивање активности укупне супероксид дизмутазе (tSOD)

Принцип одређивања:

Активност укупне SOD заснива се на способности SOD да инхибира спонтану аутооксидацију адреналина у базној средини на pH 10,2. Ензим SOD катализује реакцију неутралисања  $O_2^{•-}$  и на тај начин уклања  $O_2^{•-}$  чиме инхибира спонтану аутооксидацију адреналина (Реакција 1).



Активност укупне SOD одређивана је кинетички, као промена апсорбранције у времену (10 минута) на таласној дужини од 480nm (спектрофотометар Ultrospec 2000) (115).

Реагенси:

- 50mM бикарбонатни пулфер pH 10,2 са 1mM EDTA
- адреналин (L-епинефрин) 0,01mM. Раствор адреналина се прави свеж, у тамној бочици или покривен фолијом и меша се на мешалици и стоји све време на леду.

Поступак одређивања:

Реакциона смеша за одређивање активности укупне SOD садржала је 50 µl узорка (за слепу пробу узимано је 50 µl воде), 2,85 ml Na-бикарбонатног пулфера (50 mmol/L Na-бикарбонатни пулфер pH 10,2 са 1 mmol/L EDTA) и 100 µl адреналина. Реакција је праћена кинетички и отпочињала је додавањем адреналина, када је реакциона смеша инкубирана 6 минута на 25 °C, а промена апсорбације читана је на 480 nm у временском распону од 5-8 минута, тј. периоду у коме је реакција линеарна. Слепа проба се изводи на исти начина као и узорак, тако што се уместо узорка користи вода. Јединица активности SOD дефинише се као количина ензима која доводи до 50 % инхибиције аутооксидације адреналина у линеарном делу промене апсорбантце у минути. Активност укупне SOD у испитиваним узорцима изражена је у јединицама по милилитру (U/mL).

### **3.7. Одређивање активности MnSOD**

Поступак одређивања MnSOD је исти као и за укупну SOD, с тим што реакциона смеша уместо 50 µl узорка садржи 25 µl узорка и 25 µl KCN (8mM), која се прво инкубира на собној температури 20 минута, даљи поступак је исти као код укупне SOD (115).

### 3.8. Одређивање активности каталазе (CAT)

#### Принцип одређивања:

Активност CAT одређивана је спетрофотометријском методом. Амонијум молибдат формира жути комплекс са  $\text{H}_2\text{O}_2$  и погодан је за мерење серумских активности CAT (116).

#### Реагенси:

- 65  $\mu\text{M}$   $\text{H}_2\text{O}_2$  у Na-K фосфатном пуферу чији је pH 7,2
- 32,4 mmol/L амонијом молибдат

#### Поступак одређивања:

0,1 ml узорка је најпре инкубирано 1 минут са 0,5 ml 65  $\mu\text{M}$   $\text{H}_2\text{O}_2$  у Na-K фосфатном пуферу pH 7,2. Контролна реакција је припремљена са 0,1 mL Na-K фосфатног пуфера pH 7,2 и 0,5 mL 65  $\mu\text{M}$   $\text{H}_2\text{O}_2$ . Слепа проба се очитава према Na-K фосфатном пуферу. Реакција је заустављена додавањем 0,5 mL 32,4 mmol амонијом молибдата у узорке и контроле. Абсорбанца између жућкастог молибдата и  $\text{H}_2\text{O}_2$  комплекса у односу на слепу пробу чита се на 405 nm (спектрофотометар Ultrospec 2000). Јединица активности CAT дефинише се као број  $\mu\text{mol}$   $\text{H}_2\text{O}_2$  редукованих у минути ( $\mu\text{mol}$   $\text{H}_2\text{O}_2/\text{min}$ ). Активност овог ензима у испитиваним узорцима изражава се као kU/L.

### 3.9. Одређивање концентрације тиобарбитурна киселина (ТВА)- реагујућих супстанци (TBARS)

#### Принцип одређивања:

У реакцији малондиалдехида (MDA) са тиобарбитурном киселином (енг. *thiobarbituric acid*, ТВА) настају комплексна једињења бледо жуте боје чији се интезитет мери спектрофотометријски (117).

#### Реагенси:

- 15 % трихлор сирћетне киселине
- 0,375 % тиобарбитурне киселине
- 0,25 mol/L хлороводоничне киселине
- 1,1,3,3- tetra metoxy propan (602,9  $\mu\text{mol}/\text{L}$ )

#### Поступак одређивања:

Реакциона смеша ТВА реагенса састојала се од 15 % трихлор сирћетне киселине, 0,375 % тиобарбитурне киселине и 0,25 mol/L хлороводоничне киселине. Прво се 200  $\mu\text{l}$  узорка и 400  $\mu\text{l}$  ТВА реагенса загрева на 95 °C током 5 минута, а онда су након хлађења узорци центрифугирани 1 минут на 3000x g. Затим је по 300  $\mu\text{l}$  супернатанта разливено у плочу и апсорбант је читана на таласној дужини од 492 nm и референтној дужини од 650 nm на ELISA читачу (Behring ELISA процесор II). Слепа проба је вода и смеша ТВА реагенса. Стандард је 1,1,3,3- tetra metoxy propan (TMP, концентрације 602,9  $\mu\text{mol}/\text{L}$ ), од кога се праве четри стандарда концентрација 10, 20, 50, 100  $\mu\text{mol}/\text{L}$ . Концентрација TBARS изражена је у  $\mu\text{mol MDA/L}$ .

### 3.10. Статистичка анализа

Све статистичке анализе рађене су у GraphPad Prism 5 програму. Поређења између испитиваних група вршена су коришћењем: Kruskal-Wallis теста и неспареног Mann Whitney теста. Испитивања повезаности између измерених вредности вршена су коришћењем Spearman-овог теста корелације. Испитивање нормалности дистрибуције података вршено је помоћу Kolmogorov-Smirnov теста. Разлике су сматране статистички значајним уколико је  $p$  (снага поређења) мањи или једнак 0,05, високо значајним уколико је  $p$  мањи или једнак 0,01 и веома високо статистички значајним уколико је  $p$  мањи или једнак 0,001 .

## 4. РЕЗУЛТАТИ

### 4.1. Серумске концентрације интерлеукина 27 код пацијената са меланомом

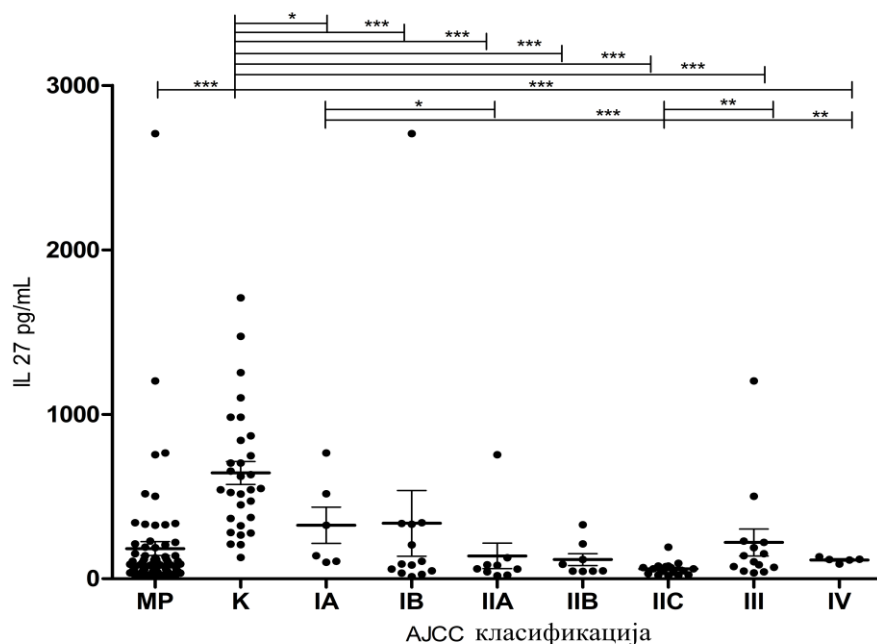
#### 4.1.1. Серумске концентрације интерлеукина 27 код пацијената са меланомом класификованих према AJCC класификацији

Значајне разлике серумског IL27 утврђене су између контролне групе и пацијената са меланомом ( $p<0,0001$ ), као и контролне групе и пацијената у стадијумима: IA( $p=0,0437$ ), IB( $p=0,0002$ ), IIА( $p=0,0002$ ), IIВ ( $p<0,0001$ ), IIС ( $p<0,0001$ ), III( $p<0,0001$ ), IV( $p=0,0005$ ). Између следећих стадијума утврђене су значајне разлике серумског IL27: IA и IIА ( $p=0,0176$ ), IA и IIС ( $p=0,0009$ ), IIС и III ( $p=0,0058$ ), IIС и IV ( $p=0,0048$ ) (Табела 4.1.1.1, График 4.1.1.1.).

**Табела 4.1.1.1.** Концентрација IL27 у пацијената разврстаних према AJCC класификацији

	Клинички стадијум меланома						
	IA	IB	IIА	IIВ	IIС	III	IV
IL27	352,4	337	139,2	116,4	60,23	220,8	114,6
	269,4	722,4	232,8	103	41,3	307,5	15,6
	110	200,3	77,62	36,4	10,02	82,18	6.978

Наведене вредности смештене су у три реда и одонце се на: средњу вредност, стандардну девијацију и стандардну грешку. Концентрација IL27 изражена у pg/mL.



**График 4.1.1.1.** IL27 у пацијената разврстаних према AJCC класификацији и здравих контролних особа.

MP- сви пацијенти оболели од меланома, K-контролне здраве особе, \*  $p<0,05$ , \*\*  $p<0,01$ , \*\*\*  $p<0,001$ . Резултати су приказани као средња вредност  $\pm$  стандардна грешка.

#### 4.1.2. Серумске концентрације интерлеукина 27 код пацијената са меланомом класификованих према CLARCK-у

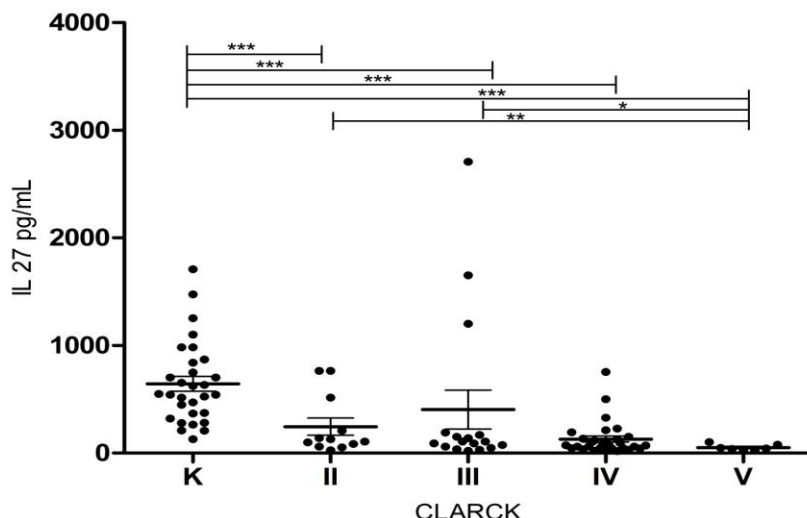
Значајне разлике серумског IL27 утврђене су између контролне групе и пацијената у стадијумима: II ( $p=0,0007$ ), III ( $p=0,0003$ ), IV ( $p< 0,0001$ ), V ( $p<0,0001$ ).

Између следећих стадијума утврђене су значајне разлике серумског IL27: II и V ( $p=0,0099$ ), III и V ( $p=0,0262$ ) (Табела 4.1.2.1, График 4.1.2.1).

**Табела 4.1.2.1.** Концентрација IL27 у пацијената разврстаних према CLARCK-у

	Стадијуми меланома по CLARCK-у			
	II	III	IV	V
IL27	245,7	404,5	129,7	50,65
	273,9	744,9	156,1	29,71
	79,07	180,7	28,5	11,23

Наведене вредности смештене су у три реда и одонце се на: средњу вредност, стандардну девијацију и стандардну грешку. Концентрација IL27 изражена у pg/mL.



**График 4.1.2.1.** Концентрација IL27 у пацијената разврстаних према CLARCK-у и здравих контролних особа.

*K-контролне здраве особе, \* p<0,05, \*\* p<0,01, \*\*\* p<0,001. Резултати су приказани као средња вредност ± стандардна грешка.*

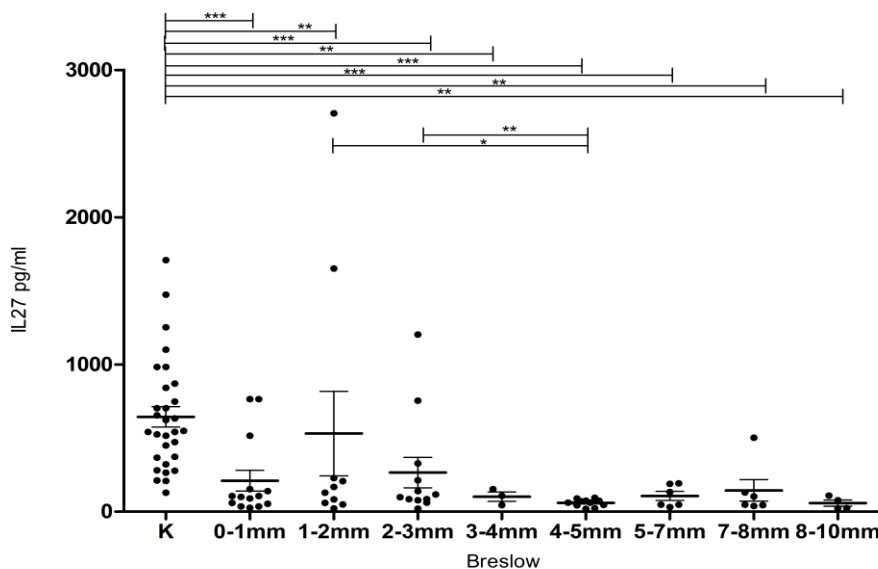
#### 4.1.3. Серумске концентрације интерлеукина 27 код пацијената са меланомом класификованих према BRESLOW-у

Значајне разлике серумског IL27 утврђене су између контролне групе и група пацијената са дебљином промене тј. дубином инвазије: 0-1mm (p=0,0001), 1-2mm (p=0,0076), 2-3mm (p=0,0009), 3-4mm (p=0,0064), 4-5mm (p=0,0001), 5-7mm (p=0,0002), 7-8mm (p=0,0010), 8-10mm (p=0,0015). Између следећих група пацијената утврђене су значајне разлике серумског IL27: 1-2mm и 4-5mm (p=0,0411), 2-3mm и 4-5mm (p=0,0074) (Табела 4.1.3.1, График 4.1.3.1).

**Табела 4.1.3.1.** Концентрација IL27 у пацијената разврстаних према BRESLOW-у

Стадијуми меланома по BRESLOW-у								
	0-1mm	1-2mm	2-3mm	3-4mm	4-5mm	5-7mm	7-8mm	8-10mm
IL27	210,6	530,3	2635,1	101,6	59,44	106,8	144,2	57,96
	264,2	906,3	355,7	53,94	24,94	74,35	178,9	43
	70,62	286,3	102,7	31,14	7,52	30,35	73,05	21,5

*Наведене вредности смештене су у три реда и одонце се на: средњу вредност, стандардну девијацију и стандардну грешку. Концентрација IL27 изражена у pg/mL.*



**График 4.1.3.1.** Концентрација IL27 у пацијената разврстаних према BRESLOW-у и здравих контролних особа.

*К-контролне здраве особе, \*  $p<0,05$ , \*\*  $p<0,01$ , \*\*\*  $p<0,001$ . Резултати су приказани као средња вредност  $\pm$  стандардна грешка.*

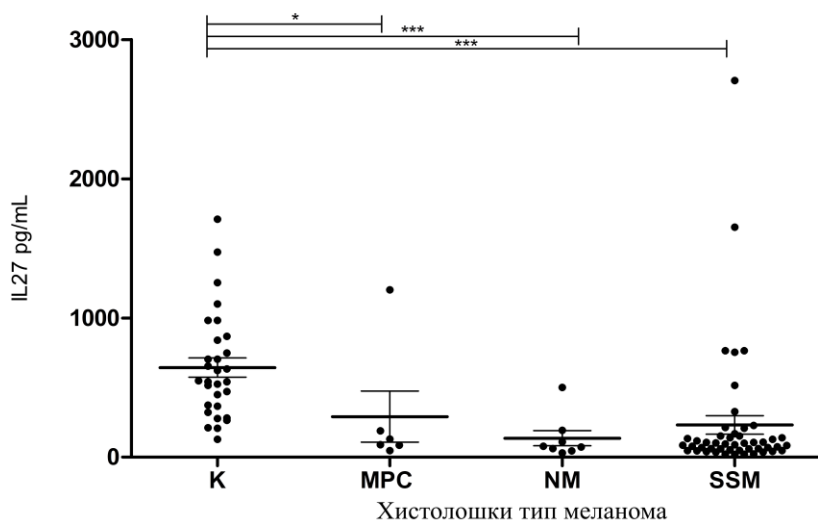
#### 4.1.4. Серумске концентрације интерлеукина 27 код пацијената са меланомом класификованих према хистолошком типу меланома

Значајне разлике серумског IL27 утврђене су између контролне групе и група пацијената са: MPC ( $p=0,0102$ ), NM ( $p=0,0001$ ), SSM ( $p< 0,0001$ ). Између група пацијената нису утврђене значајне разлике серумског IL27 (Табела 4.1.4.1, График 4.1.4.1).

**Табела 4.1.4.1.** Концентрација IL27 у пацијената разврстаних према хистолошком типу меланома

Хистолошки тип меланома			
	MPC	NM	SSM
IL27	290,8	136,5	232,2
	449,5	155,7	461,7
	183,5	55,05	66,63

Наведене вредности смештене су у три реда и одонце се на: средњу вредност, стандардну девијацију и стандардну грешку. MPC- melanoma polipoidea cutis, NM- nodular melanoma, SSM- superficial spreading melanoma Концентрација IL27 изражена у pg/mL.



**График 4.1.4.1.** Концентрација IL27 у пацијената разврстаних хистолошком типу и здравих контролних особа.

*K- контролне здраве особе, MPC- melanoma polipoides cutis, NM-nodular melanoma, SSM-superficial spreading melanoma, \* p<0,05, \*\*\* p<0,001. Резултати су приказани као средња вредност ± стандардна грешка.*

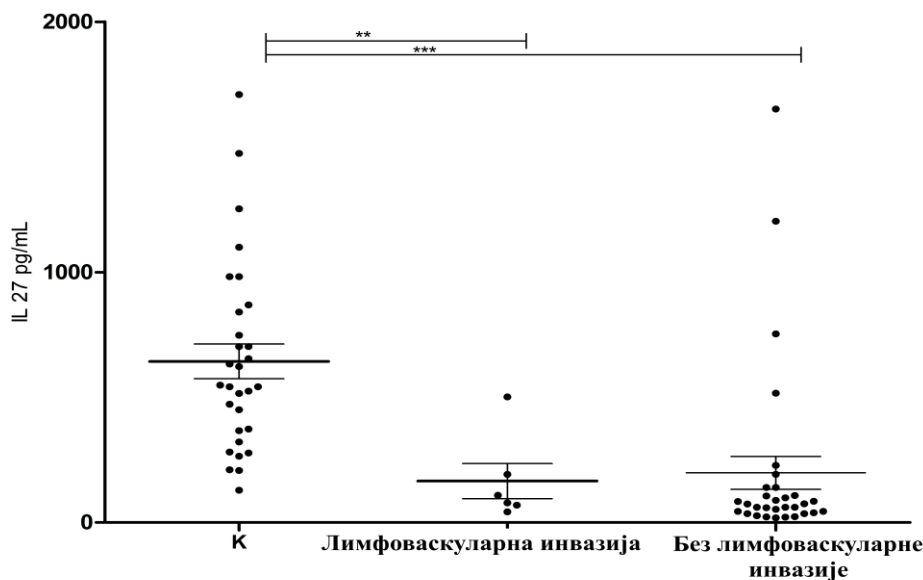
#### 4.1.5. Серумске концентрације интерлеукина 27 код пацијената са меланомом класификованих на основу присуства/одсуства лимфоваскуларне инвазије

Значајне разлике серумског IL27 утврђене су између контролне групе и групе пацијената са ( $p=0,0010$ ) и без лимфоваскуларне инвазије туморских ћелија ( $p<0,0001$ ) (Слика 4.5). Између ових група пацијената није утврђена значајна разлика серумског IL27 (Табела 4.1.5.1, График 4.1.5.1).

**Табела 4.1.5.1.** Концентрација IL27 у пацијената разврстаних на основу присуства/одсуства лимфоваскуларне инвазије

Лимфоваскуларна инвазија		
	Лимфоваскуларна инвазија	Без лимфоваскуларне инвазије
<b>IL27</b>	165,5	198,4
	172,6	365,7
	70,45	65,68

*Наведене вредности смештене су у три реда и одонце се на: средњу вредност, стандардну девијацију и стандардну грешку. Концентрација IL27 изражена у pg/mL.*



**График 4.1.5.1.** Концентрација IL27 у пацијената разврстаних на основу присуства/одсуства лимфоваскуларне инвазије и здравих контролних особа.

*K-контролне здраве особе, \*\*  $p<0,01$ , \*\*\*  $p<0,001$ . Резултати су приказани као средња вредност ± стандардна грешка.*

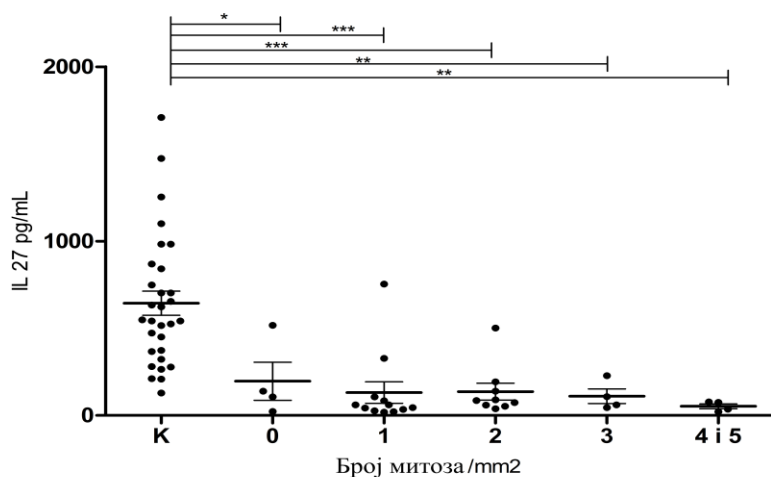
#### 4.1.6. Серумске концентрације интерлеукина 27 код пацијената са меланомом класификованих на основу митотског индекса

Значајне разлике серумског IL27 утврђене су између контролне групе и група пацијената: без присуства митоза ( $p=0,0129$ ), са једном митозом/ $\text{mm}^2$  ( $p<0,0001$ ), са две митозе/ $\text{mm}^2$  ( $p<0,0001$ ), са три митозе/ $\text{mm}^2$  ( $p=0,0025$ ), са четри и пет митоза/ $\text{mm}^2$  ( $p=0,0015$ ). Између група пацијената нису утврђене значајне разлике серумског IL27 (Табела 4.1.6.1, График 4.1.6.1).

**Табела 4.1.6.1.** Концентрација IL27 у пацијената разврстаних на основу митотског индекса (број митоза/ $\text{mm}^2$ )

	Митотски индекс				
	0	1	2	3	4 и 5
IL27	196,3	131,9	136,9	110,4	54,45
	218,9	212,9	144,8	82,98	28,29
	109,5	61,47	48,28	41,49	14,14

*Наведене вредности смештене су у три реда и одонце се на: средњу вредност, стандардну девијацију и стандардну грешку. Концентрација IL27 изражена у pg/mL.*



**График 4.1.6.1.** Концентрација IL27 у пацијената разврстаних на основу митотског индекса и здравих контролних особа.

*K- здраве контролне особе, \* p<0,05, \*\* p<0,01, \*\*\* p<0,001. Резултати су приказани као средња вредност ± стандардна грешка.*

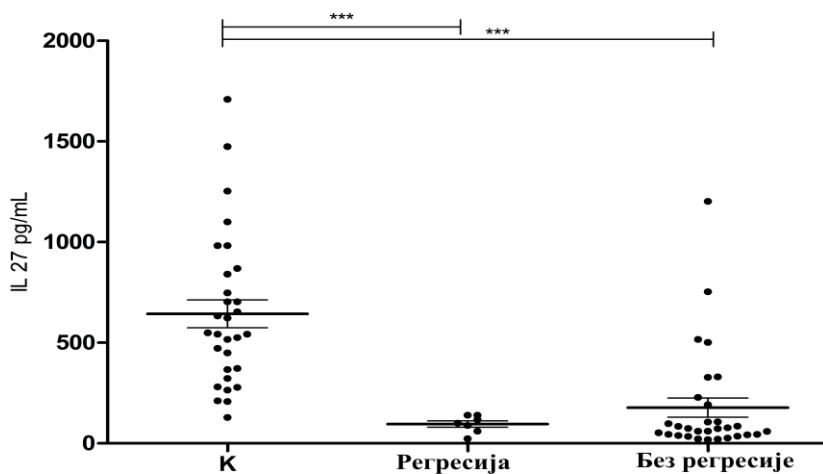
#### 4.1.7. Серумске концентрације интерлеукина 27 код пацијената са меланомом класификованих на основу присуства/одсуства регресије

Значајне разлике серумског IL27 утврђене су између контролне групе и групе пацијената са ( $p<0,0001$ ) и без регресије ( $p<0,0001$ ). Између ових група пацијената није утврђена значајна разлика серумског IL27 (Табела 4.1.7.1, График 4.1.7.1).

**Табела 4.1.7.1.** Концентрација IL27 у пацијената разврстаних на основу присуства/одсуства регресије

Регресија	
Регресија Без регресије	
IL27	95,67
	42,47
	16,05
	177,5
	261,5
	47,74

*Наведене вредности смештене су у три реда и одонце се на: средњу вредност, стандардну девијацију и стандардну грешку. Концентрација IL27 изражена у pg/mL.*



**График 4.1.7.1.** Концентрација IL27 у пацијената разврстаних на основу присуства/одсуства регресије и здравих контролних особа.

К-здраве контролне особе, \*  $p<0,05$ , \*\*  $p<0,01$ , \*\*\*  $p<0,001$ . Резултати су приказани као средња вредност  $\pm$  стандардна грешка.

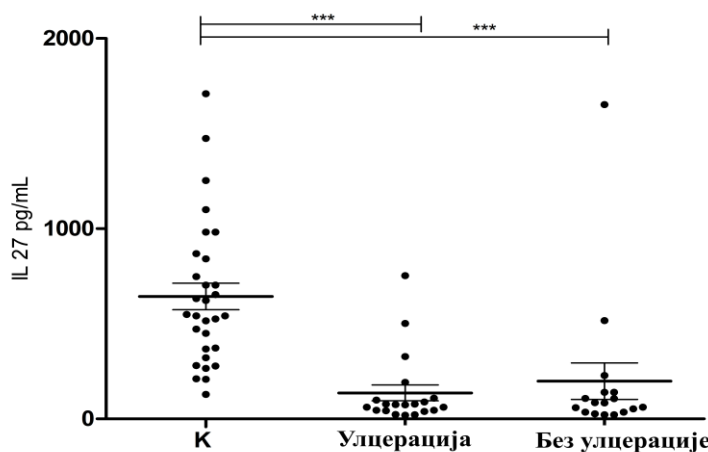
#### 4.1.8. Серумске концентрације интерлеукина 27 код пацијената са меланомом класификованих на основу присуства/одсуства улцерације

Значајне разлике серумског IL27 утврђене су између контролне групе и групе пацијената са ( $p<0,0001$ ) и без улцерације ( $p<0,0001$ ). Између ових група пацијената није утврђена значајна разлика серумског IL27 (Табела 4.1.8.1, График 4.1.8.1 ).

**Табела 4.1.8.1.** Концентрација IL27 у пацијената разврстаних на основу присуства/одсуства улцерације

Улцерација		
	Улцерација	Без улцерације
IL27	136,7	198,4
	186,3	392,8
	41,65	95,27

Наведене вредности смештене су у три реда и одонце се на: средњу вредност, стандардну девијацију и стандардну грешку. Концентрација IL27 изражена у pg/mL.



**График 4.1.8.1.** Концентрација IL27 у пацијената разврстаних на основу присуства/одсуства улцерације и здравих контролних особа.

*K- здраве контролне особе, \*\*\* p<0,001. Резултати су приказани као средња вредност ± стандардна грешка.*

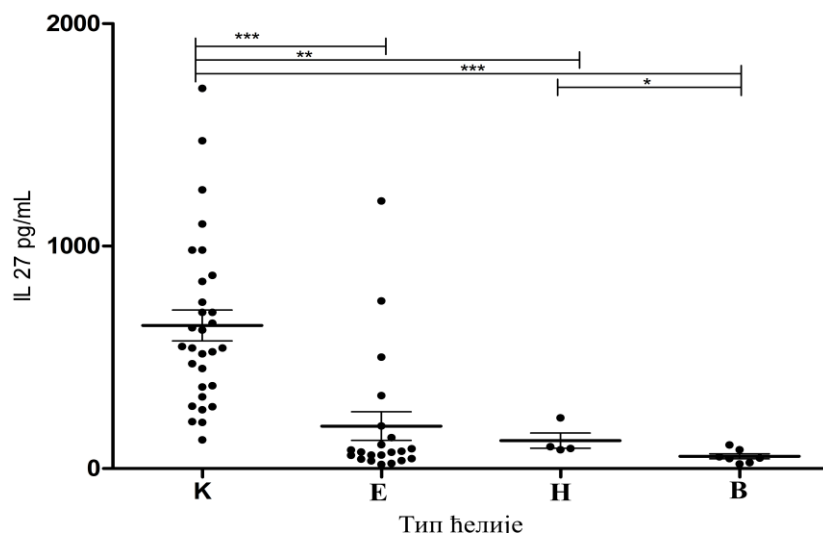
#### 4.1.9. Серумске концентрације интерлеукина 27 код пацијената са меланомом класификованих на основу типа (облика) ћелије меланома

Значајне разлике серумског IL27 утврђене су између контролне групе и група пацијената са: епителоидним типом ћелија ( $p<0,0001$ ), невоидним типом ћелија ( $p=0,0025$ ), вретенастим типом ћелија ( $p<0,0001$ ). Између групе пацијената са невоидним типом и вретенастим типом ћелија утврђена је значајна разлика серумског IL27 ( $p=0,0394$ ) (Табела 4.1.9.1, График 4.1.9.1).

**Табела 4.1.9.1.** Концентрација IL27 у пацијената разврстаних на основу типа ћелије меланома

	Тип (облик ћелије)		
	епителоидне	невоидне	вретенасте
IL27	190,8	125,6	54,87
	293,9	68,76	30,51
	64,14	34,38	11,53

*Наведене вредности смештене су у три реда и одонце се на: средњу вредност, стандардну девијацију и стандардну грешку. Концентрација IL27 изражена у pg/mL.*



**График 4.1.9.1.** Концентрација IL27 у пацијената разврстаних на основу типа ћелије и здравих контролних особа.

К- здраве контролне особе, Е- епителодне ћелије, Н- невоидне ћелије, В- временасте ћелије, \*  $p<0,05$ , \*\*  $p<0,01$ , \*\*\*  $p<0,001$ . Резултати су приказани као средња вредност  $\pm$  стандардна грешка.

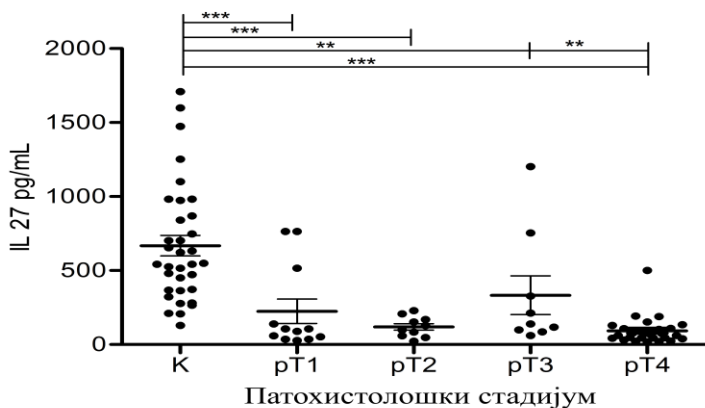
#### 4.1.10. Серумске концентрације интерлеукина 27 код пацијената са меланомом класификованих према патохистолошком стадијуму

Значајне разлике IL27 утврђене су између контролне групе и пацијената у стадијумима: pT1 ( $p=0,0004$ ), pT2 ( $p<0,0001$ ), pT3 ( $p=0,009$ ), pT4 ( $p<0,0001$ ). Између стадијума pT3 и pT4 утврђена је значајна разлика серумског IL27 ( $p=0,0061$ ) (Табела 4.1.10.1, График 4.1.10.1).

**Табела 4.1.10.1.** Концентрација IL27 у пацијената разврстаних на основу патохистолошког стадијума

	<b>Патохистолошки стадијум меланома</b>			
	<b>pT1</b>	<b>pT2</b>	<b>pT3</b>	<b>pT4</b>
<b>IL27</b>	224,6	119,8	333,1	92,95
	284,4	69,02	390,9	93,38
	82,1	21,83	130,3	17,65

Наведене вредности смештене су у три реда и одонце се на: средњу вредност, стандардну девијацију и стандардну грешку. Концентрација IL27 изражена у pg/mL.



**График 4.1.1.0.1.** Концентрација IL27 у пацијената разврстаних на основу патохистолошког стадијума и здравих контролних особа.

*K- здраве контролне особе, \*\*  $p<0,01$ , \*\*\*  $p<0,001$ . Резултати су приказани као средња вредност  $\pm$  стандардна грешка.*

## 4.2. ОКСИДАТИВНИ СТРЕС

### 4.2.1. Серумске концентрације оксидативних параметара код пацијената са меланомом класификованих према AJCC класификацији

Сумарни приказ свеукупних параметара оксидативног стреса према AJCC класификацији је табеларно представљен (Табела 4.2.1.1).

**Табела 4.2.1.1.** Серумске концентрације оксидативних параметара према AJCC класификацији

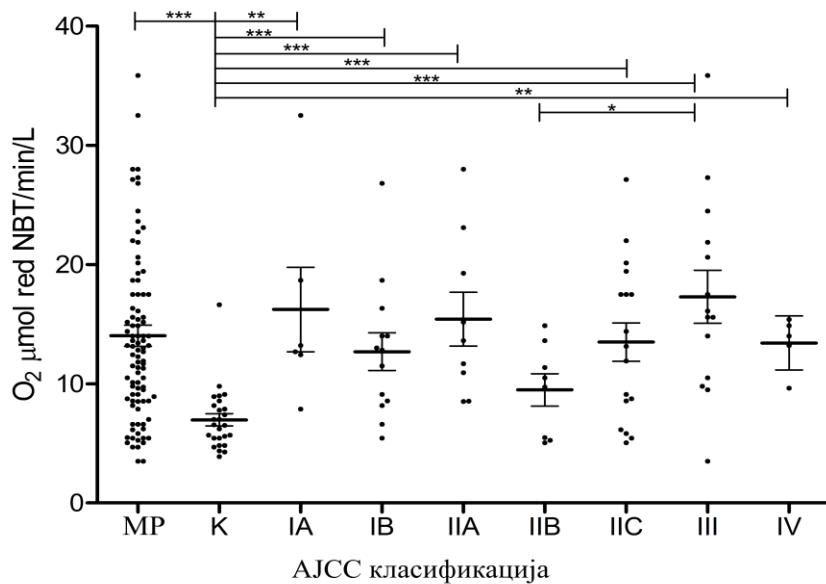
Параметри оксидативног стреса	Клинички стадијум меланома						
	IA	IB	IIA	IIB	IIIC	III	IV
O <sub>2</sub> <sup>-</sup> ( $\mu\text{mol red NBT}/\text{min/L}$ )	16,23 8,683 3,545	12,69 5,728 1,589	15,42 6,572 2,251	9,482 3,857 1,364	13,5 6,639 1,61	17,3 8,324 2,225	13,42 2,277 1,018
tSOD (U tSOD/mL)	1161 419,8 158,7	1098 509,6 141,3	1199 576,6 192,2	1478 505,8 178,8	1448 414,8 100,6	1513 220,6 61,19	1174 437,2 154,6
Mn-SOD (U Mn-SOD/mL)	947,7 363 181,5	732,6 463,1 154,4	748,5 507,7 179,5	931,6 516,5 182,6	674,7 414,2 100,5	842,5 373,9 103,7	1332 145,5 83,93
CAT (kU CAT/L)	18,53 5,377 2,032	19,33 5,216 1,447	20,13 5,801 1,934	23,68 5,993 2,119	24,17 5,995 1,454	24,23 5,055 1,619	2,69 6,066 2,145
MDA ( $\mu\text{mol MDA/L}$ )	58 22,03 8,325	67,74 17,92 4,971	53,55 15,37 5,122	74,25 36,84 13,02	64,47 22,47 5,438	64,9 12,57 3,36	80,86 13,53 5,114

Наведене вредности за оксидативне параметре смештене су у три реда и одонсе се на: средњу вредност, стандардну девијацију и стандардну грешку.

Детаљнија интерпретација добијених резултата са статистичком обрадом представљена је графицима: 4.2.1.1-5.1.

#### **4.2.1.1. Серумске концентрације супероксидног анјона код пацијената са меланомом класификованих према AJCC класификацији**

Значајне разлике серумског  $O_2^{\cdot}$  утврђене су између контролне групе и пацијената са меланомом ( $p<0,0001$ ), као и контролне групе и пацијената у стадијумима: IA ( $p=0,0008$ ), IB ( $p=0,0002$ ), IIА ( $p<0,0001$ ), IIС ( $p=0,0005$ ), III ( $p<0,0001$ ), IV ( $p=0,0005$ ). Између стадијума IIВ и III утврђена је значајна разлика серумског  $O_2^{\cdot}$  ( $p=0,0203$ ) (Табела 4.2.1.1, График 4.2.1.1.1).



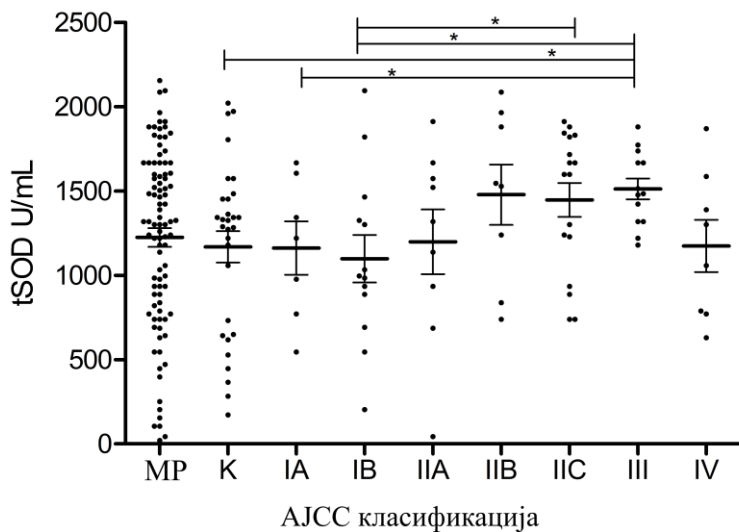
**График 4.2.1.1.1.** Концентрација  $O_2^{\cdot}$  у пацијената разврстаних према AJCC класификацији и здравих контролних особа.

MP- сви пацијенти оболели од меланома, K-контролне здраве особе, \*  $p<0,05$ , \*\*  $p<0,01$ , \*\*\*  $p<0,001$ . Резултати су приказани као средња вредност  $\pm$  стандардна грешка.

#### **4.2.1.2. Серумска активност супероксид дизмутазе код пацијената са меланомом класификованих према AJCC класификацији**

Није утврђена значајна разлика у активности tSOD између контролне групе и пацијената са меланомом. Утврђена је значајно нижа активност tSOD код контролне

групе у односу на III стадијум ( $p=0,0322$ ). Између следећих стадијума утврђене су значајне разлике у активности tSOD: IA и III ( $p=0,0272$ ), IB и IIC ( $p=0,0475$ ), IB и III ( $p=0,0125$ ) (Табела 4.2.1.1, График 4.2.1.2.1).

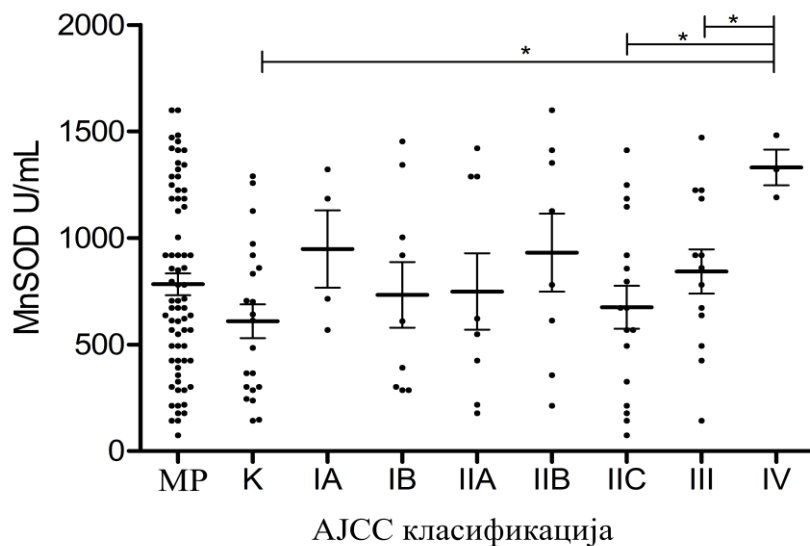


**График 4.2.1.2.1.** Активност tSOD у пацијената разврстаних према AJCC класификацији и здравих контролних особа.

MP- сви пацијенти оболели од меланома, K-контролне здраве особе, \*  $p<0,05$ , \*\*  $p<0,01$ , \*\*\*  $p<0,001$ . Резултати су приказани као средња вредност  $\pm$  стандардна грешка.

#### 4.2.1.3. Серумска активност мангани супероксид дизмутазе код пацијената са меланомом класификованих према AJCC класификацији

Није утврђена значајна разлика у активности MnSOD између контролне групе и пацијената са меланомом. Утврђена је значајно нижа активност MnSOD код контролне групе у односу на IV стадијум ( $p=0,0113$ ). Између следећих стадијума утврђене су значајне разлике у активности MnSOD: IIC и IV ( $p=0,0198$ ), III и IV ( $p=0,0433$ ) (Табела 4.2.1.1, График 4.2.1.3.1).

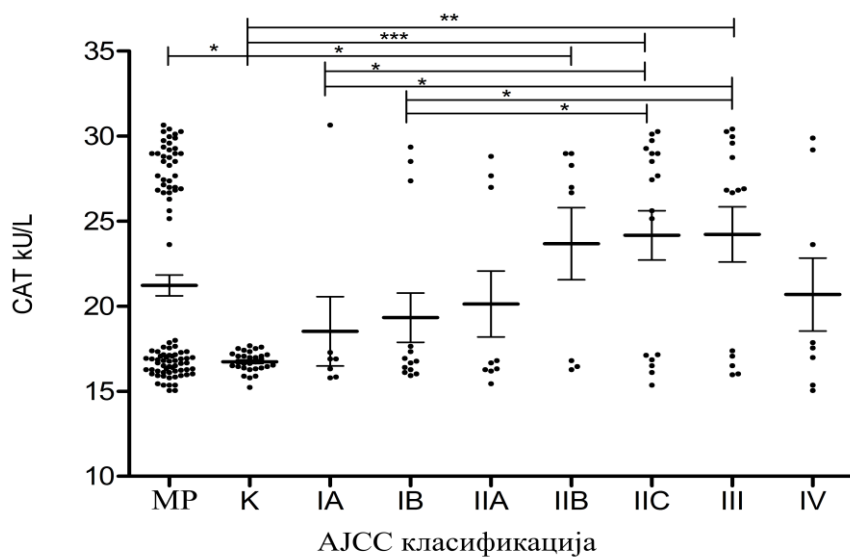


**График 4.2.1.3.1.** Активност MnSOD у пацијената разврстаних према AJCC класификацији и здравих контролних особа.

*MP- сви пациенти оболели од меланома, K-контролне здраве особе, \* p<0,05. Резултати су приказани као средња вредност ± стандардна грешка.*

#### 4.2.1.4. Серумска активност каталазе код пацијената са меланомом класификованих према AJCC класификацији

Значајне разлике у активности САТ утврђене су између контролне групе и пацијената са меланомом ( $p=0,0167$ ), као и контролне групе и пацијената у стадијумима: IIБ ( $p=0,0345$ ), IIС ( $p=0,0009$ ), III ( $p=0,0018$ ). Између следећих стадијума утврђене су значајне разлике у активности САТ: IA и IIС ( $p=0,0426$ ), IA и III ( $p=0,0489$ ), IB и IIС ( $p=0,0445$ ), IB и III ( $p=0,0341$ ) (Табела 4.2.1.1, График 4.2.1.4.1).

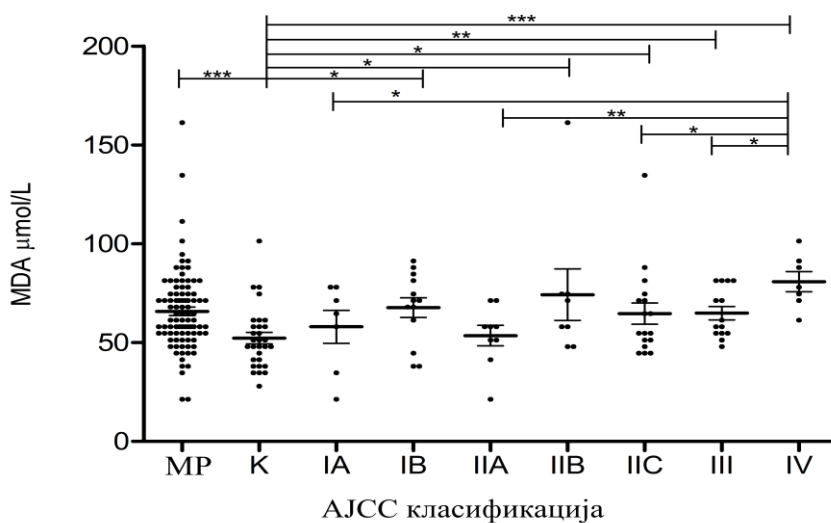


**График 4.2.1.4.1.** Активност CAT у пацијената разврстаних према AJCC класификацији и здравих контролних особа.

MP- сви пацијенти оболели од меланома, K-контролне здраве особе, \*  $p<0,05$ , \*\*  $p<0,01$ , \*\*\*  $p<0,001$ . Резултати су приказани као средња вредност  $\pm$  стандардна грешка.

#### 4.2.1.5. Серумске концентрације малондиалдехида код пацијената са меланомом класификованих према AJCC класификацији

Значајне разлике серумског MDA утврђене су између контролне групе и пацијената са меланомом ( $p=0,0002$ ), као и контролне групе и пацијената у стадијумима: IB ( $p= 0,0109$ ), II B ( $p=0,0419$ ), II C ( $p=0,0368$ ), III ( $p=0,0050$ ), IV ( $p=0,0007$ ). Између следећих стадијума утврђене су значајне разлике серумског MDA: IA и IV ( $p= 0,0374$ ), II A и IV ( $p=0,0028$ ), II C и IV ( $p=0,0218$ ), III и IV ( $p=0,0294$ ) (Табела 4.2.1.1, График 4.2.1.5.1).



**График 4.2.1.5.1.** Концентрација MDA у пацијената разврстаних према AJCC класификацији и здравих контролних особа.

MP- сви пациенти оболели од меланома, K-контролне здраве особе, \*  $p<0,05$ , \*\*  $p<0,01$ , \*\*\*  $p<0,001$ . Резултати су приказани као средња вредност  $\pm$  стандардна грешка.

#### 4.2.2. Серумске концентрације параметара оксидативног стреса код пацијената са меланомом класификованих према CLARCK-у

Сумарни приказ свеукупних параметара оксидативног стреса према CLARCK-у

је табеларно представљен (Табела 4.2.2.1).

**Табела 4.2.2.1.** Серумске концентрације оксидативних параметара према CLARCK-у

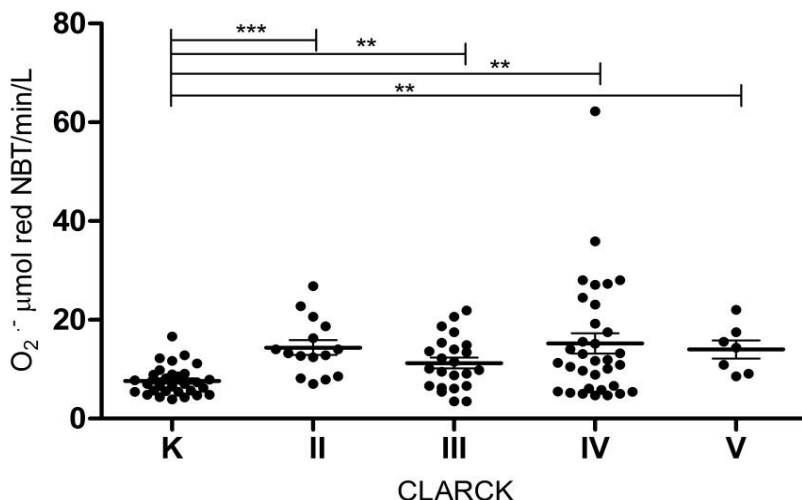
Параметри оксидативног стреса	Стадијуми меланома по CLARCK-у			
	II	III	IV	V
$O_2^-$ ( $\mu\text{mol red NBT}/\text{min/L}$ )	14,39	11,26	15,25	14,01
	5,768	5,265	11,95	4,865
	1,489	1,098	2,08	1,839
tSOD (U tSOD/mL)	1069	1255	1321	1414
	454	431,8	554,9	443,9
	117,2	90,04	96,59	167,8
Mn-SOD (U Mn-SOD/mL)	770,2	807,5	775,2	794,4
	411,7	361,5	478,7	438,9
	130,2	87,69	9,47	165,9
CAT (kU CAT/L)	18,04	22,07	22,56	22,86
	4,224	6,382	5,988	5,644
	1,091	1,331	1,042	2,133
MDA ( $\mu\text{mol MDA/L}$ )	61,33	63,94	65,71	64,19
	20,59	17,55	22,58	15,45
	5,315	3,66	3,992	5,839

Наведене вредности за оксидативне параметре смештене су у три реда и одонце се на: средњу вредност, стандардну девијацију и стандардну грешку.

Детаљнија интерпретација добијених резултата са статистичком обрадом представљена је графицима: 4.2.2.1-5.1.

#### **4.2.2.1. Серумске концентрације супероксидног анјона код пацијената са меланомом класификованих према CLARCK-у**

Значајне разлике серумског  $O_2^{\cdot-}$  утврђене су између контролне групе и група пацијената у стадијумима: II ( $p<0,0001$ ), III ( $p=0,0077$ ), IV ( $p=0,0019$ ), V ( $p=0,0016$ ). Између стадијума нису утврђене значајне разлике серумског  $O_2^{\cdot-}$  (Табела 4.2.2.1, График 4.2.2.1.1).

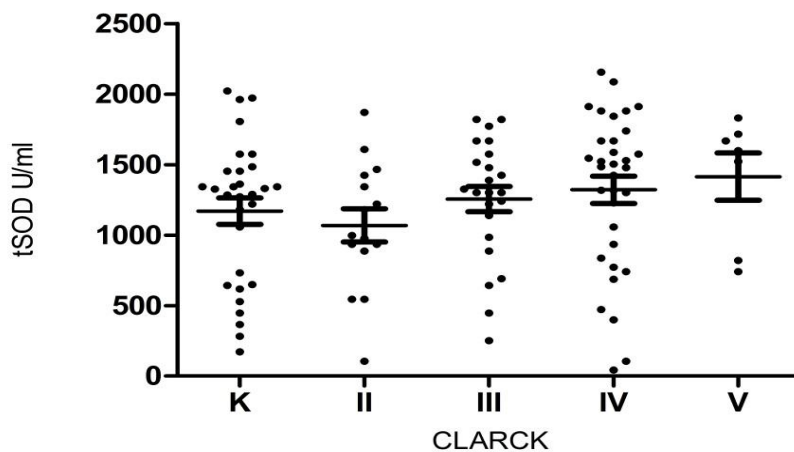


**График 4.2.2.1.1.** Концентрација  $O_2^{\cdot-}$  у пацијената разврстаних према CLARCK-у и здравих контролних особа.

*К-контролне здраве особе, \*\*  $p<0,01$ , \*\*\*  $p<0,001$ . Резултати су приказани као средња вредност  $\pm$  стандардна грешка.*

#### **4.2.2.2. Серумска активност супероксид дизмутазе код пацијената са меланомом класификованих према CLARCK-у**

Нису утврђене значајне разлике у активности tSOD између контролне групе и група пацијента, као ни између самих група пацијената (Табела 4.2.2.1, График 4.2.2.2.1).

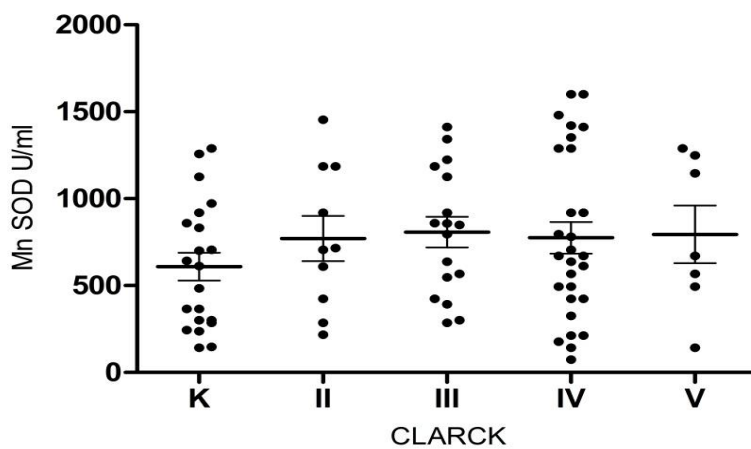


**График 4.2.2.2.1.** Активност tSOD у пацијената разврстаних према CLARCK-у и здравих контролних особа.

*K-контролне здраве особе. Резултати су приказани као средња вредност  $\pm$  стандардна грешка.*

#### **4.2.2.3. Серумска активност манган супероксид дизмутазе код пацијената са меланомом класификованих према CLARCK-у**

Нису утврђене значајне разлике у активности MnSOD између контролне групе и група пацијената, као ни између самих група пацијената (Табела 4.2.2.1, График 4.2.2.3.1).

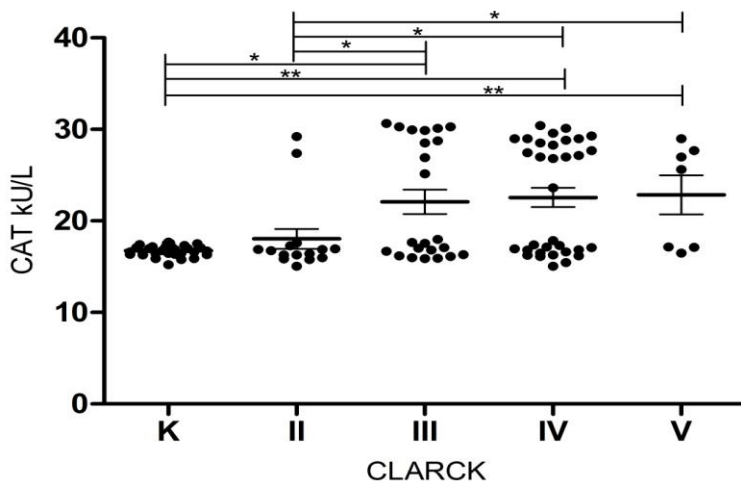


**График 4.2.2.3.1.** Активност MnSOD у пацијената разврстаних према CLARCK-у и здравих контролних особа.

*K- здраве контролне особе.*

#### **4.2.2.4. Серумска активност каталазе код пацијената са меланомом класификованих према CLARCK-у**

Значајне разлике у активности САТ утврђене су између контролне групе и група пацијента у стадијумима: III ( $p=0,0150$ ), IV ( $p=0,0018$ ), V ( $p=0,0070$ ). Између следећих стадијума утврђене су значајне разлике у активности САТ: II и III ( $p=0,0379$ ), II и IV ( $p=0,0173$ ), II и V ( $p=0,0344$ ) ( Табела 4.2.2.1, График 4.2.2.4.1).

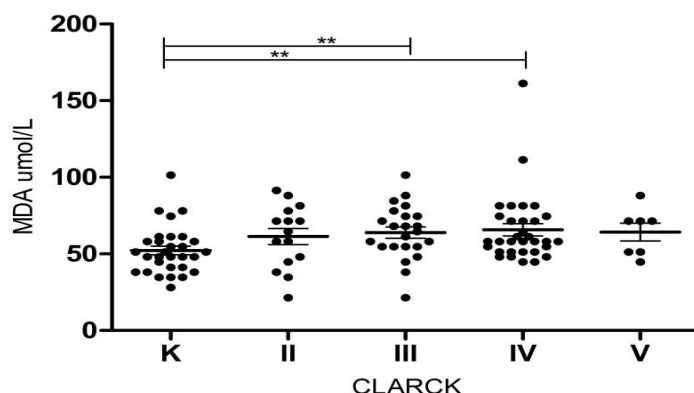


**График 4.2.2.4.1.** Активност САТ у пацијената разврстаних према CLARCK-у и здравих контролних особа.

К-контролне здраве особе, \*  $p<0,05$ , \*\*  $p<0,01$ . Резултати су приказани као средња вредност  $\pm$  стандардна грешка.

#### **4.2.2.5 Серумске концентрације моалондиалдехида код пацијената са меланомом класификованих према CLARCK-у**

Значајне разлике серумског MDA утврђене су између контролне групе и група пацијената у стадијумима: III ( $p=0,0059$ ), IV ( $p=0,0026$ ). Између стадијума нису утврђене значајне разлике серумског MDA (Табела 4.2.2.1, График 4.2.2.5.1).



**График 4.2.2.5.1.** Концентрација MDAу пацијената разврстаних према CLARCK-у и здравих контролних особа.

К-здраве контролне особе, \*\*  $p<0,01$ . Резултати су приказани као средња вредност ± стандардна грешка.

#### 4.2.3. Серумске концентрације параметара оксидативног стреса код пацијената са меланомом класификованих према BRESLOW-у

Сумарни приказ свеукупних параметара оксидативног стреса према BRESLOW-у је табеларно представљен (Табела 4.2.3.1).

**Табела 4.2.3.1.** Серумске концентрације оксидативних параметара према BRESLOW-у

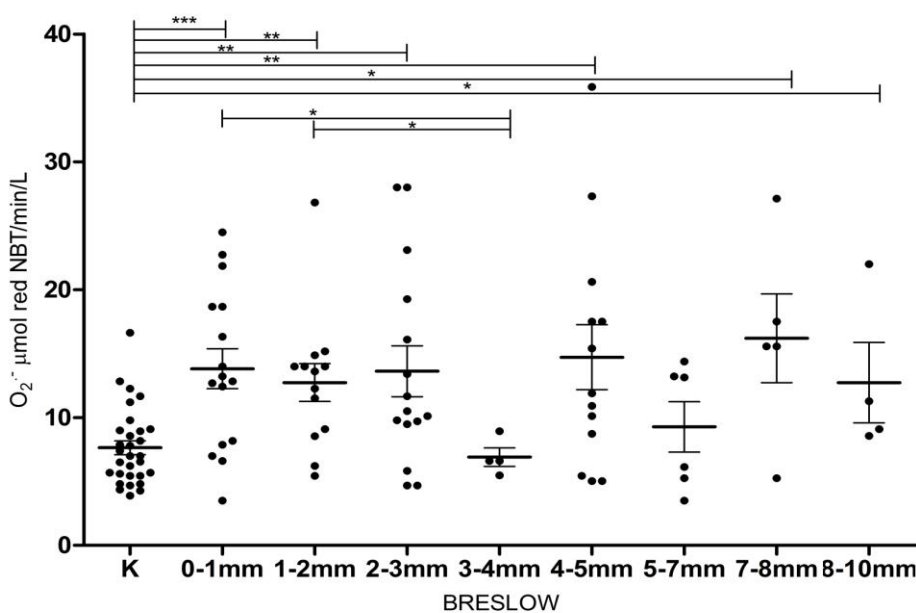
Параметри оксидативног стреса	Стадијуми меланома по BRESLOW-у							
	0-1mm	1-2mm	2-3mm	3-4mm	4-5mm	5-7mm	7-8mm	8-10mm
$O_2^{*-}$ ( $\mu\text{mol red NBT}/\text{min/L}$ )	13,82	12,73	13,62	6,909	14,72	9,273	16,21	12,74
	6,265	5,346	7,723	1,448	9,171	4,815	7,772	6,289
	1,566	1,483	1,994	0,724	2,544	1,966	3,476	3,145
tSOD (U tSOD/mL)	1145	1106	1444	983,5	1467	1494	1272	1057
	479,8	523,8	481,5	497,9	475,3	344,2	491,8	777,7
	119,9	145,3	124,3	222,7	131,8	140,5	219,9	388,9
Mn-SOD (U Mn-SOD/mL)	649,3	750,9	903,2	851	859,5	852,3	680,5	846,2
	277,2	460,5	501,7	447,6	431,1	588,9	539,7	611
	80,02	153,5	139,1	258,4	130	263,4	241,4	352,8
CAT (kU CAT/L)	20,23	17,59	23,31	19,36	25,88	24,6	20,45	19,54
	5,651	3,331	5,934	5,419	5,429	6,941	5,368	5,436
	1,413	0,9238	1,532	2,424	1,506	2,834	2,401	2,718
MDA ( $\mu\text{mol MDA/L}$ )	57,17	64,92	70,86	63	62,87	55,78	72,67	56,33
	19,26	18,13	18,67	7,935	12,07	13,44	15,2	11,39
	4,816	5,028	4,989	3,967	3,346	5,488	6,799	5,693

Наведене вредности за оксидативне параметре смештене су у три реда и одонце се на: средњу вредност, стандардну девијацију и стандардну грешку.

Детаљнија интерпретација добијених резултата са статистичком обрадом представљена је графицима: 4.2.3.1-5.1.

#### **4.2.3.1. Серумске концентрације супероксидног анјона код пацијената са меланомом класификованих према BRESLOW-у**

Значајне разлике серумског  $O_2^-$  утврђене су између контролне групе и група пацијената са дебљином промене тј. дубином инвазије: 0-1mm ( $p=0,0006$ ), 1-2mm ( $p=0,0010$ ), 2-3mm ( $p=0,0040$ ), 4-5mm ( $p=0,0079$ ), 7-8mm ( $p=0,0222$ ), 8-10mm ( $p=0,0347$ ). Између следећих група пацијената утврђене су значајне разлике серумског  $O_2^-$ : група са дебљином промене 0-1mm и 3-4mm ( $p=0,033$ ), као и 1-2mm и 3-4mm ( $p=0,0470$ ) (Табела 4.2.3.1, График 4.2.3.1.1).

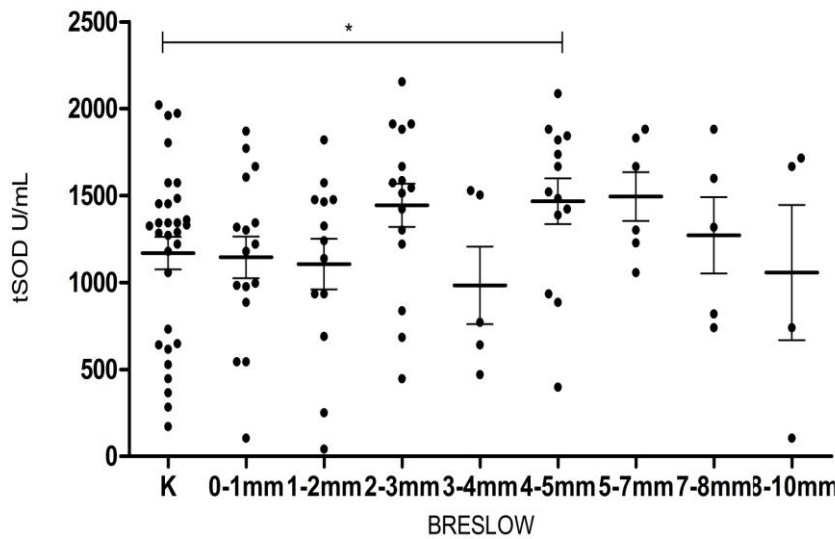


**График 4.2.3.1.1.** Концентрација  $O_2^-$  у пацијената разврстаних према BRESLOW-у и здравих контролних особа.

*К-здраве контролне особе, \*  $p<0,05$ , \*\*  $p<0,01$ , \*\*\*  $p<0,001$ . Резултати су приказани као средња вредност ± стандардна грешка.*

**4.2.3.2. Серумска активност супероксид дизмутазе код пацијената са меланомом класификованих према BRESLOW-у**

Значајна разлика у активности tSOD утврђена је између контролне групе и групе пацијената са дебљином промене тј.дубином инвазије 4-5mm ( $p=0,0391$ ). Између група пацијената нису утврђене значајне разлике (Табела 4.2.3.1, График 4.2.3.2.1).



**График 4.2.3.2.1.** Активност tSOD у пацијената разврстаних према BRESLOW-у и здравих контролних особа.

К-здраве контролне особе, \*  $p<0,05$ . Резултати су приказани као средња вредност  $\pm$  стандардна грешка.

**4.2.3.3. Серумска активност манган супероксид дизмутазе код пацијената са меланомом класификованих према BRESLOW-у**

Није утврђена значајна разлика у активности MnSOD између контролне групе и група пацијената, као ни између самих група (Табела 4.2.3.1, График 4.2.3.3.1 ).

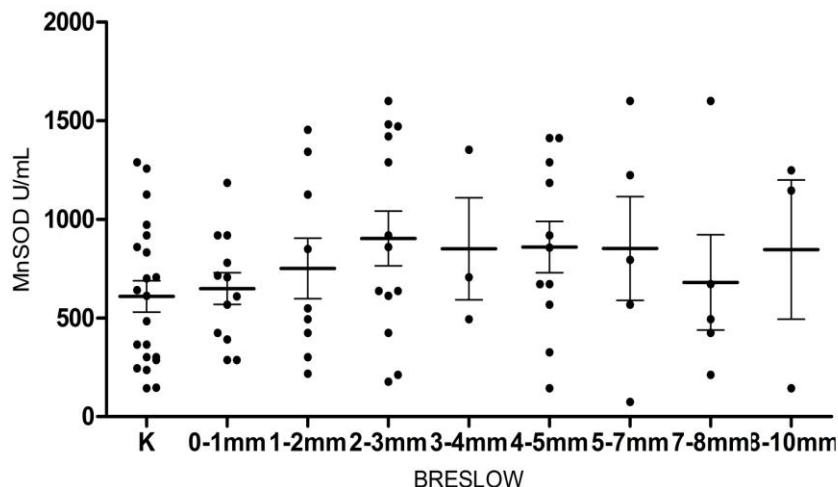
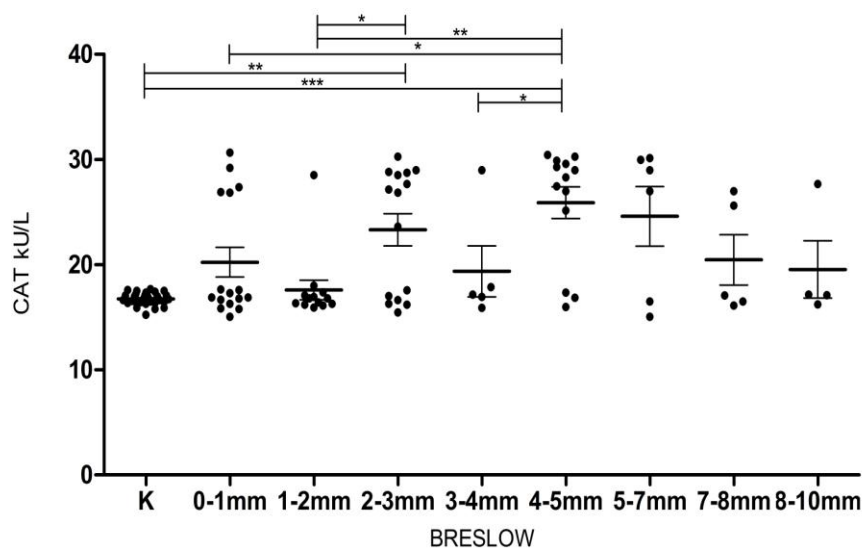


График 4.2.3.3.1. Активност MnSOD у пацијената разврстаних према BRESLOW-у и здравих контролних особа.

*K-здраве контролне особе. Резултати су приказани као средња вредност ± стандардна грешка.*

#### 4.2.3.4. Серумска активност каталазе код пацијената са меланомом класификованих према BRESLOW-у

Значајне разлике у активности CAT утврђене су између контролне групе и група пацијената са дебљином промене тј. дубином инвазије: 2-3mm ( $p=0,0060$ ), 4-5mm ( $p<0,0001$ ). Између следећих група утврђене су значајне разлике у активности CAT: 0-1mm и 4-5mm ( $p=0,0168$ ), 1-2mm и 2-3mm ( $p=0,0321$ ), 1-2mm и 4-5mm ( $p=0,0021$ ), 3-4mm и 4-5mm ( $p=0,0365$ ) (Табела 4.2.3.1, График 4.2.3.4.1).

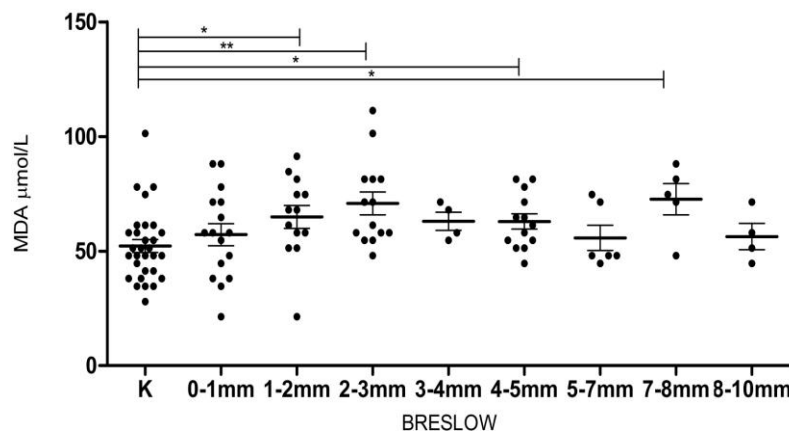


**График 4.2.3.4.1.** Активност CAT у пацијената разврстаних према BRESLOW-у и здравих контролних особа.

*К-здраве контролне особе, \*  $p<0,05$ , \*\*  $p<0,01$ , \*\*\*  $p<0,001$ . Резултати су приказани као средња вредност  $\pm$  стандардна грешка.*

#### 4.2.3.5. Серумске концентрације моалондиалдехида код пацијената са меланомом класификованих према BRESLOW-у

Значајне разлике серумског MDA утврђене су између контролне групе и група пацијената са дебљином промене тј. дубином инвазије: 1-2mm ( $p=0,0101$ ), 2-3mm ( $p=0,0013$ ), 4-5mm ( $p=0,0117$ ), 7-8mm ( $p=0,0245$ ). Између група пацијената нису утврђене значајне разлике серумског MDA (Табела 4.2.3.1, График 4.2.3.5.1).



**График 4.2.3.5.1.** Концентрација MDA у пацијената разврстаних према BRESLOW-у и здравих контролних особа.

*K-здраве контролне особе, \* p<0,05, \*\* p<0,01. Резултати су приказани као средња вредност ± стандардна грешка.*

#### 4.2.4. Серумске концентрације параметара оксидативног стреса код пацијената са меланомом класификованих према хистолошком типу меланома

Сумарни приказ свеукупних параметара оксидативног стреса према хистолошком типу је табеларно представљен (Табела 4.2.4.1).

**Табела 4.2.4.1.** Серумске концентрације оксидативних параметара према хистолошком типу

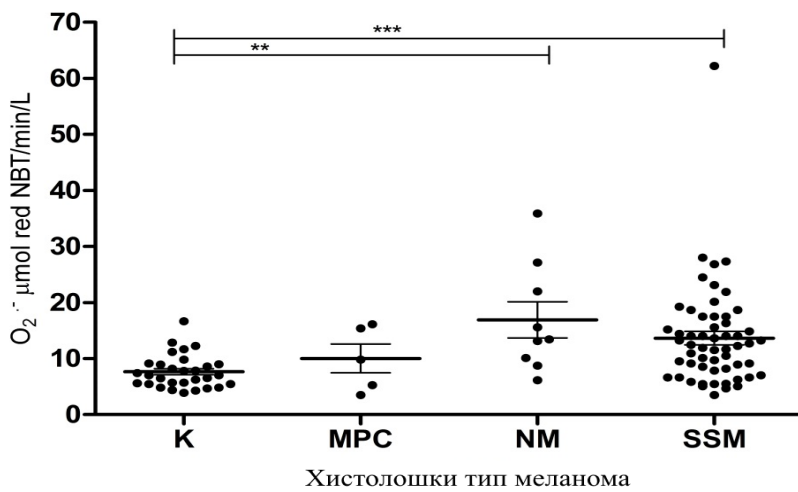
Параметри оксидативног стреса	Хистолошки тип меланома		
	MPC	NM	SSM
$O_2^-$ (μmol red NBT/min/L)	10,01	16,9	13,64
	5,725	9,66	9,003
	2,56	3,222	1,203
tSOD (U tSOD/mL)	1667	949,2	1309
	219,1	398,8	482,5
	97,99	132,9	64,48
Mn-SOD (U Mn-SOD/mL)	1233	489,2	742,5
	427	361,9	422
	213,5	136,8	62,91
CAT (kU CAT/L)	28,48	21,33	21,33
	1,518	6,718	5,778
	0,678	2,239	0,772
MDA (μmol MDA/L)	62	64,3	64,61
	16,4	15,41	20,61
	7,33	5,135	2,779

Наведене вредности за оксидативне параметре смештене су у три реда и одонце се на: средњу вредност, стандардну девијацију и стандардну грешку. MPC- melanoma polipoïdes cutis, NM- nodular melanoma, SSM- superficial spreading melanoma.

Детаљнија интерпретација добијених резултата са статистичком обрадом представљена је графицима: 4.2.4.1-5.1.

#### **4.2.4.1. Серумске концентрације супероксидног анјона код пацијената са меланомом класификованих према хистолошком типу меланома**

Значајне разлике серумског  $O_2^-$  утврђене су између контролне групе и група пацијената са: NM ( $p=0,0010$ ), SSM ( $p<0,0001$ ). Између група пацијената нису утврђене значајне разлике серумског  $O_2^-$  (Табела 4.2.4.1, График 4.2.4.1.1).

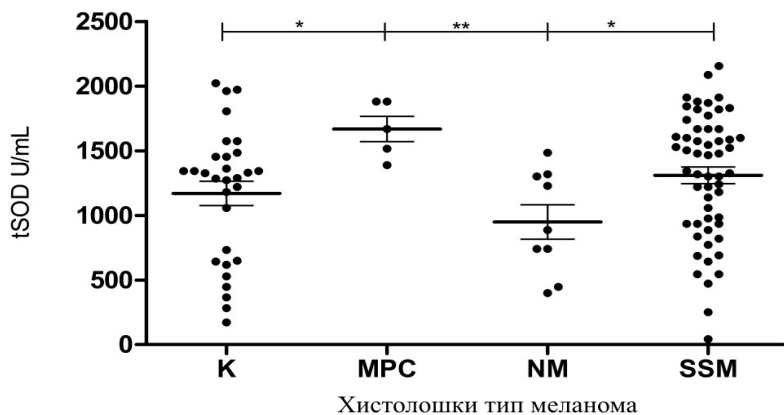


**График 4.2.4.1.1.** Концентрација  $O_2^-$  у пацијената разврстаних према хистолошком типу и здравих контролних особа.

*K-здраве контролне особе, \*\*  $p<0,01$ , \*\*\*  $p<0,001$ . MPC- melanoma polypoides cutis, NM- nodular melanoma, SSM- superficial spreading melanoma. Резултати су приказани као средња вредност ± стандардна грешка.*

#### **4.2.4.2. Серумска активност супероксид дизмутазе код пацијената са меланомом класификованих према хистолошком типу меланома**

Значајна разлика у активности tSOD утврђена је између контролне групе и групе пацијената са MPC ( $p=0,0196$ ). Између следећих група пацијената утврђене су значајне разлике у активности tSOD: MPC и NM ( $p=0,0051$ ), NM и SSM ( $p=0,0256$ ) (Табела 4.2.4.1, График 4.2.4.2.1).

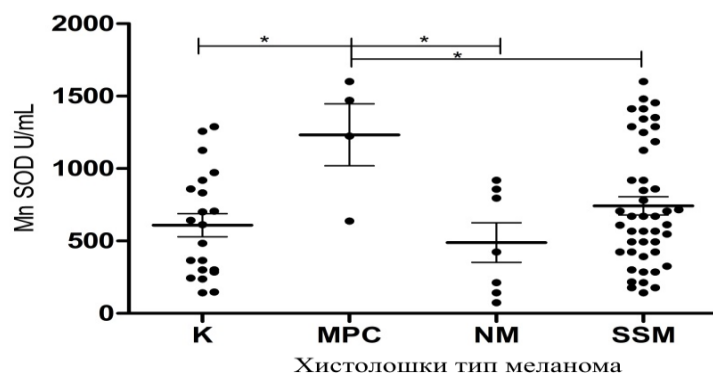


**График 4.2.4.2.1.** Активност tSOD у пацијената разврстаних према хистолошком типу и здравих контролних особа.

К-здраве контролне особе, \*  $p < 0,05$ , \*\*  $p < 0,01$ . MPC- melanoma polipoides cutis, NM- nodular melanoma, SSM- superficial spreading melanoma. Резултати су приказани као средња вредност ± стандардна грешка.

#### 4.2.4.3. Серумска активност манган супероксид дизмутазе код пацијената са меланомом класификованих према хистолошком типу

Значајна разлика у активности MnSOD утврђена је између контролне групе и групе пацијената са MPC ( $p=0,0287$ ). Између следећих група пацијената утврђене су значајне разлике у активности MnSOD: MPC и NM ( $p=0,0424$ ), MPC и SSM ( $p=0,0486$ ) (Табела 4.2.4.1, График 4.2.4.3.1).

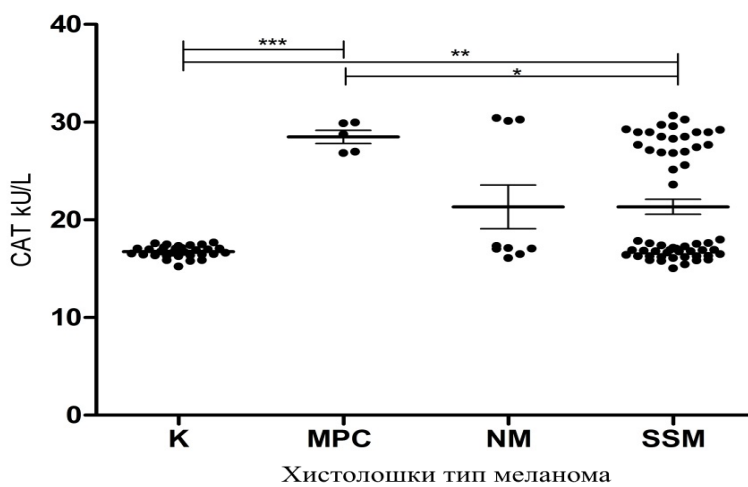


**График 4.2.4.3.1.** Активност MnSOD у пацијената разврстаних према хистолошком типу и здравих контролних особа.

К-здраве контролне особе, \*  $p < 0,05$ . MPC- melanoma polipoides cutis, NM- nodular melanoma, SSM- superficial spreading melanoma. Резултати су приказани као средња вредност ± стандардна грешка.

**4.2.4.4. Серумска активности каталазе код пацијената са меланомом класификованих према хистолошком типу меланома**

Значајне разлике у активности CAT утврђене су између контролне групе и група пацијената са: MPC ( $p=0,0004$ ), SSM ( $p=0,0080$ ). Између групе пацијента са MPC и SSM утврђена је значајна разлика у активности CAT ( $p=0,020$ ) (Табела 4.2.4.1, График 4.2.4.4.1).



**График 4.2.4.4.1.** Активност CAT у пацијената разврстаних према хистолошком типу и здравих контролних особа.

*K-здраве контролне особе, \*  $p < 0,05$ , \*\*  $p < 0,01$ , \*\*\*  $p < 0,001$ . MPC- melanoma polipoides cutis, NM- nodular melanoma, SSM- superficial spreading melanoma. Резултати су приказани као средња вредност  $\pm$  стандардна грешка.*

**4.2.4.5. Серумске концентрације малондиалдехида код пацијената са меланомом класификованих према хистолошком типу меланома**

Значајне разлике серумског MDA утврђене су између контролне групе и група пацијената са: NM ( $p=0,047$ ), SSM ( $p=0,0008$ ). Између група пацијената нису утврђене значајне разлике серумског MDA (Табела 4.2.4.1, График 4.2.4.5.1).

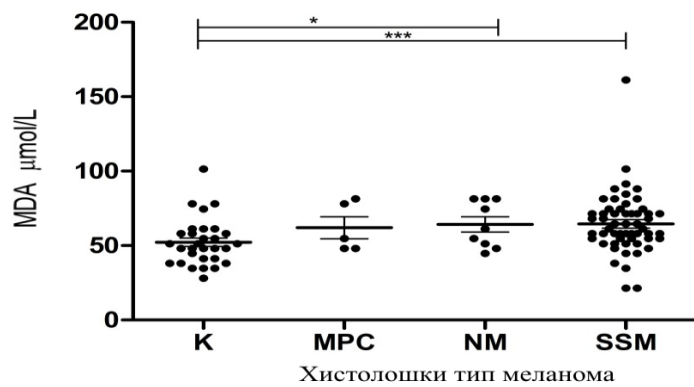


График 4.2.4.5.1. Концентрација MDA у пацијената разврстаних према хистолошком типу и здравих контролних особа.

*K-здраве контролне особе, \* p<0,05, \*\*\* p<0,001. MPC- melanoma polypoides cutis, NM- nodular melanoma, SSM- superficial spreading melanoma. Резултати су приказани као средња вредност ± стандардна грешка.*

#### 4.2.5. Серумске концентрације параметара оксидативног стреса код пацијената са меланомом класификованих на основу присуства/одсуства лимфоваскуларне инвазије

Сумарни приказ свеукупних параметара оксидативног стреса према хистолошком типу је табеларно представљен (Табела 4.2.5.1).

Табела 4.2.5.1. Серумске концентрације оксидативних параметара на основу присуства/одсуства лимфоваскуларне инвазије

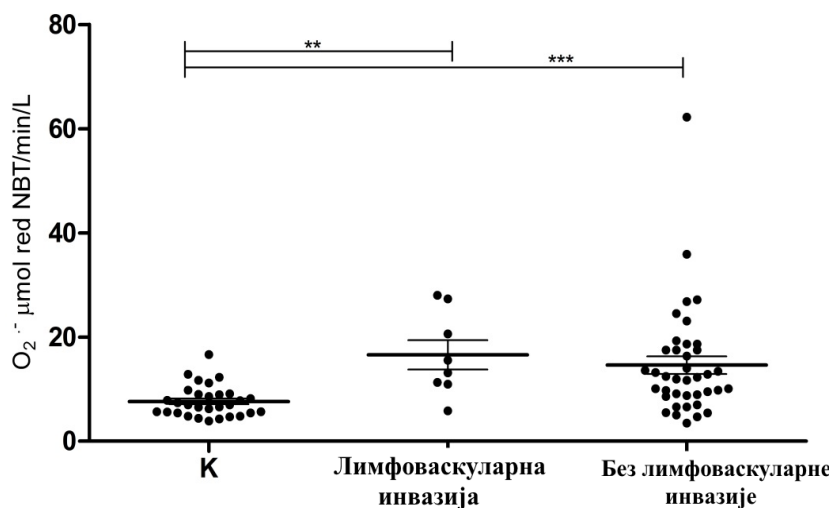
Параметри оксидативног стреса	Лимфоваскуларна инвазија	
	Лимфоваскуларна инвазија	Без лимфоваскуларне инвазије
O <sub>2</sub> <sup>-</sup> (μmol red NBT/min/L)	16,58 8,02 2,836	14,6 10,55 1,689
tSOD (U tSOD/mL)	1425 617,7 218,4	1180 464,2 74,33
Mn-SOD (U Mn-SOD/L)	805 597,3 225,8	705 372,9 68,09
CAT (kU CAT/L)	22,25 6,267 2,216	20,9 5,723 0,9164
MDA (μmol MDA/L)	67,52 18,84 5,607	65,52 23,76 3,805

Наведене вредности за оксидативне параметре смештене су у три реда и одонце се на: средњу вредност, стандардну девијацију и стандардну грешку.

Детаљнија интерпретација добијених резултата са статистичком обрадом представљена је графицима: 4.2.5.1-5.1.

#### **4.2.5.1. Серумске концентрације супероксидног анјона код пацијената са меланомом класификованих на основу присуства/одсуства лимфоваскуларне инвазије**

Значајне разлике серумског  $O_2^{\cdot-}$  утврђене су између контролне групе и група пацијената са ( $p=0,0013$ ) и без лимфоваскуларне инвазије ( $p<0,0001$ ). Између ових група пацијената није утврђена значајна разлика серумског  $O_2^{\cdot-}$  (Табела 4.2.5.1, График 4.2.5.1.1).

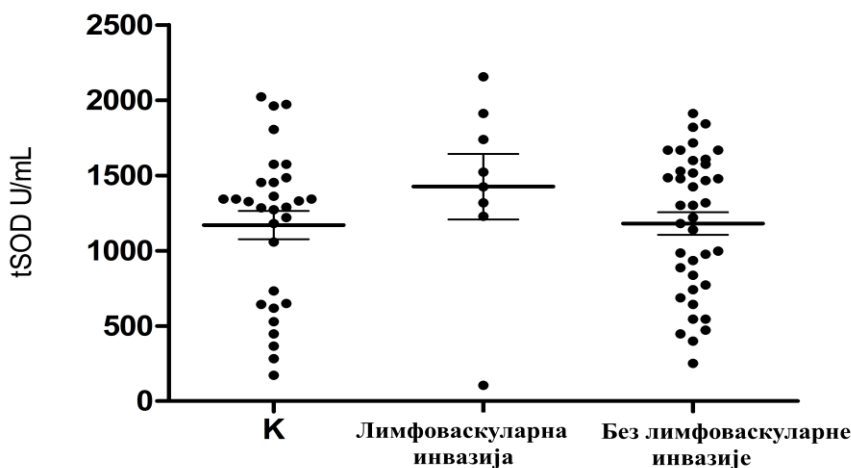


**График 4.2.5.1.1.** Концентрација  $O_2^{\cdot-}$  у пацијената разврстаних на основу присуства/одсуства лимфоваскуларне инвазије и здравих контролних особа.

*K- здраве контролне особе, \*\*  $p<0,01$ , \*\*\*  $p<0,001$ . Резултати су приказани као средња вредност  $\pm$  стандардна грешка.*

#### **4.2.5.2. Серумска активност супероксид дизмутазе код пацијената са меланомом класификованих на основу присуства/одсуства лимфоваскуларне инвазије**

Нису утврђене значајне разлике у активности tSOD између контролне групе и група пацијената, као ни између самих група пацијената (Табела 4.2.5.1, График 4.2.5.2.1).

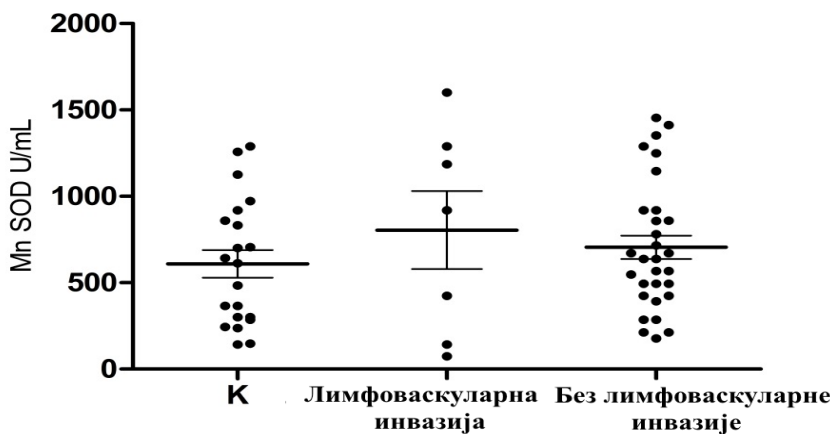


**График 4.2.5.2.1.** Активност tSOD у пацијената разврстаних на основу присуства/одсуства лимфоваскуларне инвазије и здравих контролних особа.

*K- здраве контролне особе. Резултати су приказани као средња вредност  $\pm$  стандардна грешка.*

#### 4.2.5.3. Серумска активност манган супероксид дизмутазе код пацијената са меланомом класификованих на основу присуства/одсуства лимфоваскуларне инвазије

Нису утврђене значајне разлике у активности MnSOD између контролне групе и група пацијената, као ни између самих група пацијената (Табела 4.2.5.1, График 4.2.5.3.1).

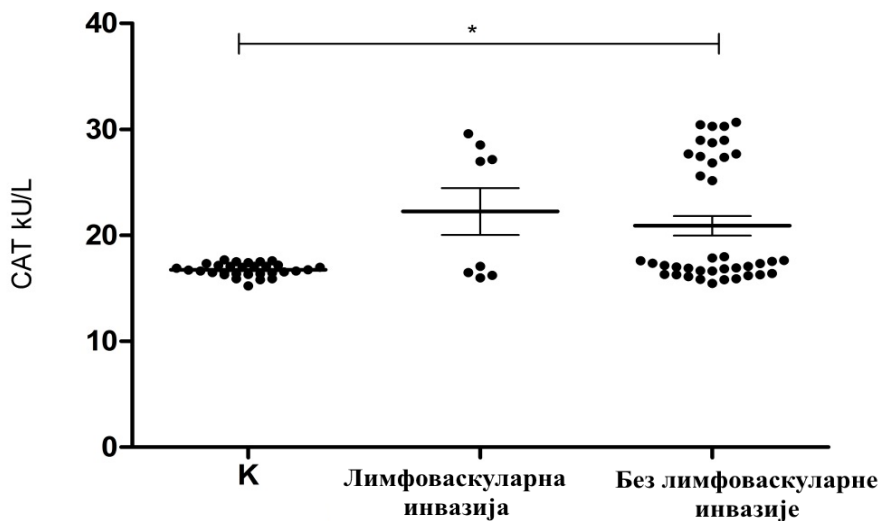


**График 4.2.5.3.1.** Активност MnSOD у пацијената разврстаних на основу присуства/одсуства лимфоваскуларне инвазије и здравих контролних особа.

*K- здраве контролне особе. Резултати су приказани као средња вредност  $\pm$  стандардна грешка.*

**4.2.5.4. Серумска активности каталазе код пацијената са меланомом класификованих на основу присуства/одсуства лимфоваскуларне инвазије**

Значајна разлика у активности САТ утврђена је између контролне групе и групе пацијената без лимфоваскуларне инвазије туморских ћелија ( $p=0,0126$ ). Између група пацијената нису утврђене значајне разлике у активности САТ (Табела 4.2.5.1, График 4.2.5.4.1).



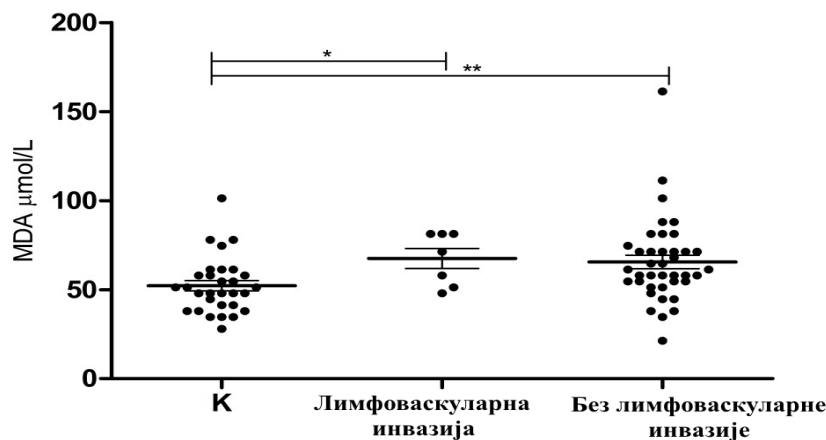
**График 4.2.5.4.1.** Активност САТ у пацијената разврстаних на основу присуства/одсуства лимфоваскуларне инвазије и здравих контролних особа.

*K- здраве контролне особе, \*  $p<0,05$ . Резултати су приказани као средња вредност  $\pm$  стандардна грешка.*

**4.2.5.5. Серумске концентрације малодниалдехида код пацијената са меланомом класификованих на основу присуства/одсуства лимфоваскуларне инвазије**

Значајне разлике серумског MDA утврђене су између контролне групе и група пацијената са ( $p=0,0239$ ) и без лимфоваскуларне инвазије туморских ћелија ( $p=0,0034$ ).

Између ових група пацијената није утврђена статистички значајна разлика серумског MDA (Табела 4.2.5.1, График 4.2.5.5.1).



**График 4.2.5.5.1.** Концентрација MDA у пацијената разврстаних на основу присуства/одсуства лимфоваскуларне инвазије и здравих контролних особа.

*K- здраве контролне особе, \*  $p<0,05$ , \*\*  $p<0,01$ . Резултати су приказани као средња вредност  $\pm$  стандардна грешка.*

#### 4.2.6. Серумске концентрације параметара оксидативног стреса код пацијената са меланомом класификованих на основу митотског индекса

Сумарни приказ свеукупних параметара оксидативног стреса је табеларно представљен (Табела 4.2.6.1).

**Табела 4.2.6.1.** Серумске концентрације оксидативних параметара према митотском индексу

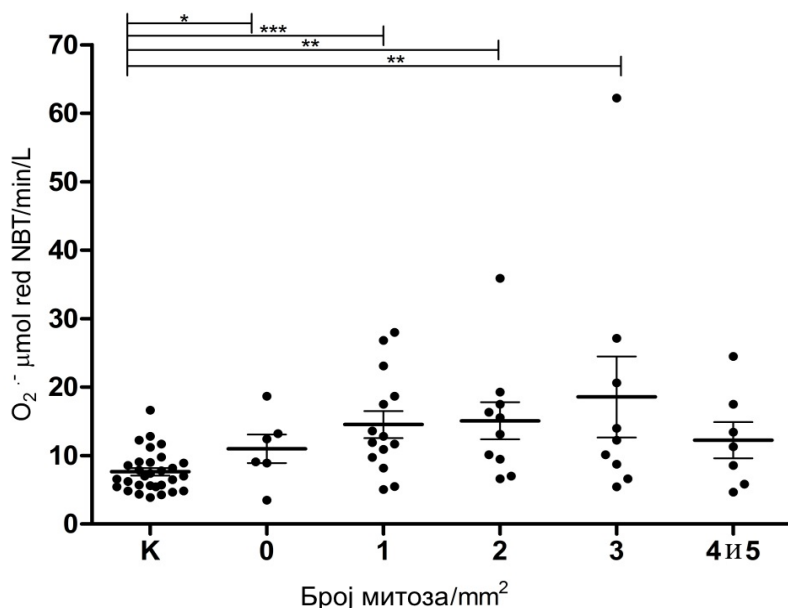
Параметри оксидативног стреса	Митотски индекс-број митоза/ $\text{mm}^2$				
	0	1	2	3	4 и 5
$\text{O}_2^{+}$ ( $\mu\text{mol red NBT}/\text{min/L}$ )	10,98	14,53	15,09	18,57	12,25
	5,099	7,334	8,525	17,77	6,978
	2,082	1,96	2,696	5,924	2,637
tSOD (U tSOD/mL)	115,6	1301	1219	996,7	1249
	565,9	436,8	452,4	439,7	703,7
	231	116,7	143,1	146,6	266
Mn-SOD (U Mn-SOD/mL)	844,1	849,7	453,3	611,1	978,9
	358,6	461,4	301,2	349,7	306,5
	207	123,3	106,5	142,8	137,1
CAT (kU CAT/L)	20,63	22,09	20,49	18,45	21,08
	6,694	5,952	5,878	4,506	5,478
	2,733	1,591	1,859	1,502	2,07
MDA ( $\mu\text{mol MDA/L}$ )	59,67	59,54	69,33	68	71,33
	13,62	34,12	15,57	14,91	22,03
	5,561	9,463	4,924	4,969	8,325

Наведене вредности за оксидативне параметре смештене су у три реда и одонце се на: средњу вредност, стандардну девијацију и стандардну грешку.

Детаљнија интерпретација добијених резултата са статистичком обрадом представљена је графицима: 4.2.6.1-5.1.

#### **4.2.6.1. Серумске концентрације супероксидног анјона код пацијената са меланомом класификованих на основу митотског индекса**

Значајне разлике серумског  $O_2^{\cdot-}$  утврђене су између контролне групе и група пацијената: без присуства митоза ( $p=0,0338$ ), са једном митозом/ $mm^2$  ( $p=0,0008$ ), са две митозе/ $mm^2$  ( $p=0,0011$ ), са три митозе/ $mm^2$  ( $p=0,0093$ ). Између група пацијената нису утврђене значајне разлике серумског  $O_2^{\cdot-}$  (Табела 4.2.6.1, График 4.2.6.1.1).

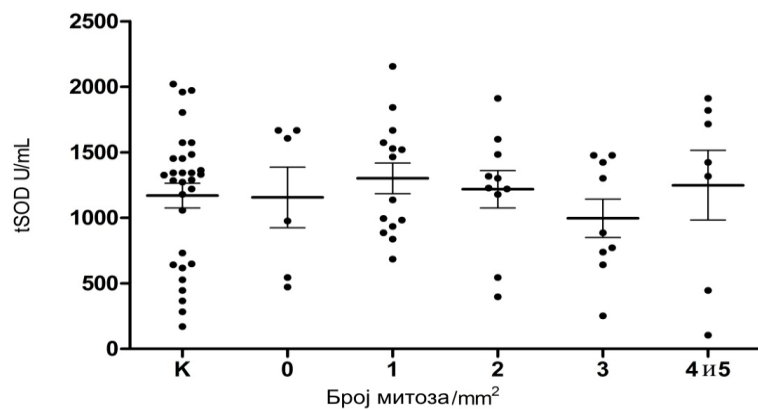


**График 4.2.6.1.1.** Концентрација  $O_2^{\cdot-}$  у пацијената разврстаних на основу митотског индекса и здравих контролних особа.

К-здраве контролне особе, \*  $p<0,05$ , \*\*  $p<0,01$ , \*\*\*  $p<0,001$ . Резултати су приказани као средња вредност  $\pm$  стандардна грешка.

#### **4.2.6.2. Серумска активност супероксид дизмутазе код пацијената са меланомом класификованих на основу митотског индекса**

Нису утврђене значајне разлике у активности tSOD између контролне групе и група пацијената, као ни између самих група пацијента (Табела 4.2.6.1, График 4.2.6.2.1).

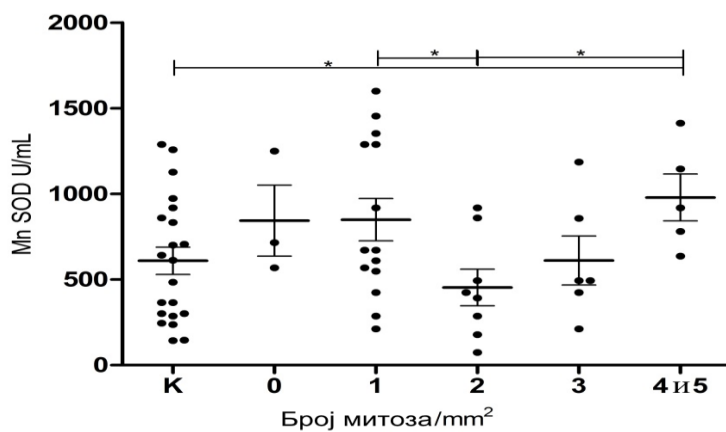


**График 4.2.6.2.1.** Активност tSOD у пацијената разврстаних на основу митотског индекса и здравих контролних особа.

*K-здраве контролне особе. Резултати су приказани као средња вредност ± стандардна грешка.*

#### **4.2.6.3. Серумска активност манган супероксид дизмутазе код пацијената са меланомом класификованих на основу митотског индекса**

Значајна разлика у активности MnSOD утврђена је између контролне групе и групе пацијената са 4/5 митоза ( $p=0,0469$ ). Између следећих група пацијената утврђене су значајне разлике у активности MnSOD: група са 1 митозом и група са 2 митозе ( $p=0,0403$ ), група са 2 митозе и група са 4/5 митозе ( $p=0,0279$ ) (Табела 4.2.6.1, График 4.2.6.3.1).

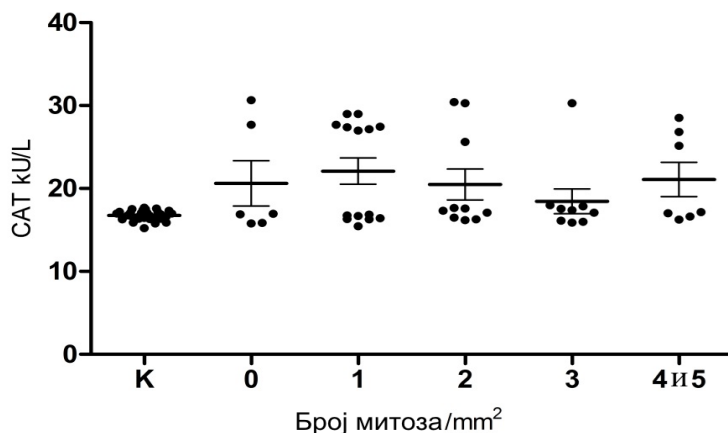


**График 4.2.6.3.1.** Активност MnSOD у пацијената разврстаних на основу митотског индекса и здравих контролних особа.

*K-здраве контролне особе, \*  $p<0,05$ . Резултати су приказани као средња вредност ± стандардна грешка.*

**4.2.6.4. Серумска активности каталазе код пацијената са меланомом класификованих на основу митотског индекса**

Нису утврђене значајне разлике у активности САТ између контролне групе и група пацијената, као ни између самих група пацијената (Табела 4.2.6.1, График 4.2.6.4.1).

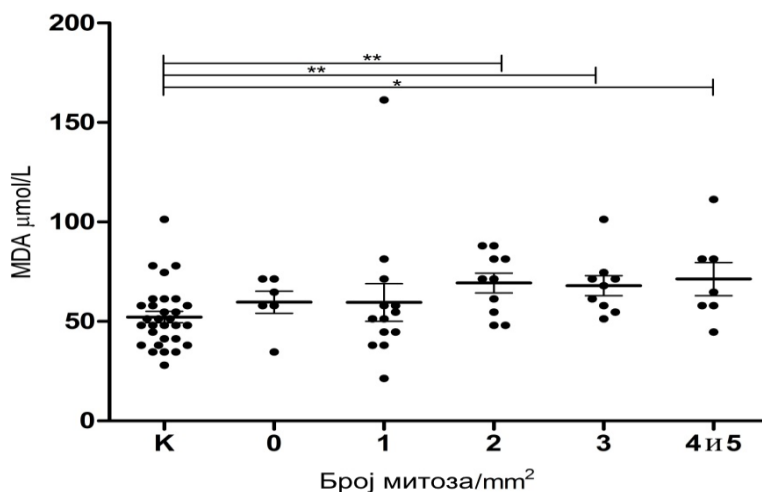


**График 4.2.6.4.1.** Активност САТ у пацијената разврстаних на основу митотског индекса и здравих контролних особа.

*К-здраве контролне особе. Резултати су приказани као средња вредност ± стандардна грешка.*

**4.2.6.5. Серумске концентрације малодни алдехида код пацијената са меланомом класификованих на основу митотског индекса**

Значајне разлике серумског MDA утврђене су између контролне групе и група пацијената: са две митозе/ $\text{mm}^2$  ( $p=0,0070$ ), са три митозе/ $\text{mm}^2$  ( $p=0,0075$ ), са 4 и 5 митоза/ $\text{mm}^2$  ( $p=0,0176$ ). Између група пацијената нису утврђене значајне разлике серумског MDA (Табела 4.2.6.1, График 4.2.6.5.1).



**График 4.2.6.5.1.** Концентрација MDA у пацијената разврстаних на основу митотског индекса и здравих контролних особа.

*K-здраве контролне особе, \*  $p<0,05$ , \*\*  $p<0,01$ . Резултати су приказани као средња вредност  $\pm$  стандардна грешка.*

#### 4.2.7. Серумске концентрације оксидативних параметара код пацијената са меланомом класификованих на основу присуства/одсуства регресије

Сумарни приказ свеукупних параметара оксидативног стреса на основу присуства/одсуства регресије је табеларно представљен (Табела 4.2.7.1).

**Табела 4.2.7.1.** Серумске концентрације оксидативних параметара на основу регресије

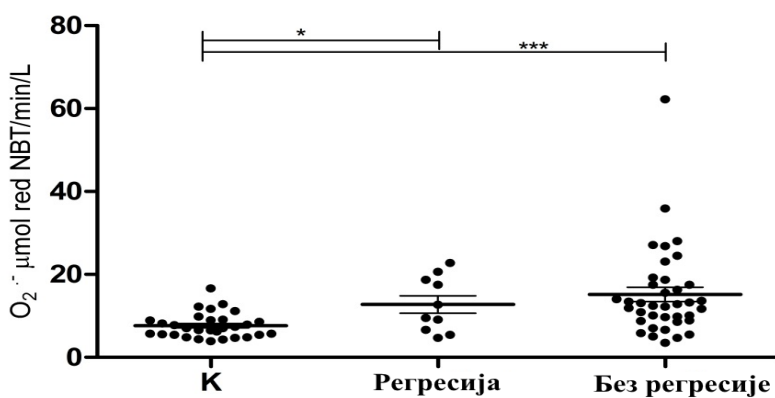
Параметри оксидативног стреса	Регресија	
	Регресија	Без регресије
O <sub>2</sub> <sup>-</sup> (μmol red NBT/min/L)	12,75 6,663 2,107	15,16 10,73 1,74
tSOD (U tSOD/mL)	1204 452,8 143,2	1226 501,1 81,29
Mn-SOD (U Mn-SOD/mL)	823,1 433,6 153,3	732,1 421,8 77,01
CAT (kU CAT/L)	19,73 5,439 1,72	21,21 5,713 0,927
MDA (μmol MDA/L)	65 17,67 5,588	66,65 23,76 3,906

Наведене вредности за оксидативне параметре смештене су у три реда и одонце се на: средњу вредност, стандардну девијацију и стандардну грешку.

Детаљнија интерпретација добијених резултата са статистичком обрадом представљена је графицима: 4.2.7.1-5.1.

#### **4.2.7.1. Серумске концентрације супероксидног анјона код пајената са меланомом класификованих према присуству/одсуству регресије**

Значајне разлике серумског  $O_2^{\cdot-}$  утврђене су између контролне групе и група пајената са ( $p=0,0299$ ) и без регресије ( $p<0,0001$ ). Између ових група пајената није утврђена значајна разлика серумског  $O_2^{\cdot-}$  (Табела 4.2.7.1, График 4.2.7.1.1).

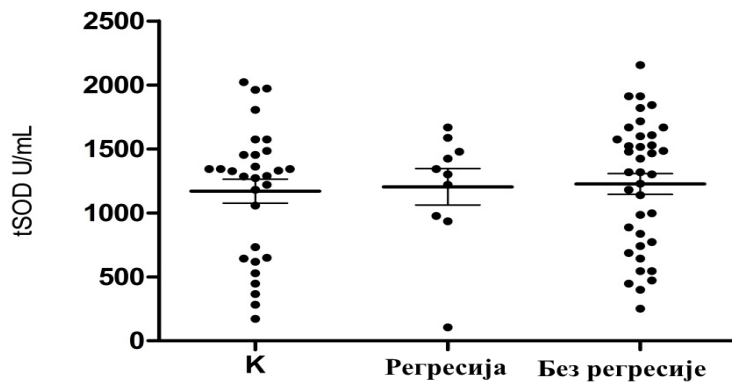


**График 4.2.7.1.1.** Концентрација  $O_2^{\cdot-}$  у пајената разврстаних на основу присуства/одсуства регресије и здравих контролних особа.

К-здраве контролне особе, \*  $p<0,05$ , \*\*\*  $p<0,001$ . Резултати су приказани као средња вредност  $\pm$  стандардна грешка.

#### **4.2.7.2. Серумска активност супероксид дизмутазе код пајената са меланомом класификованих на основу присуства/одсуства регресије**

Нису утврђене значајне разлике у активности tSOD између контролне групе и група пајената, као ни између самих група пајената (Табела 4.2.7.1, График 4.2.7.2.1).

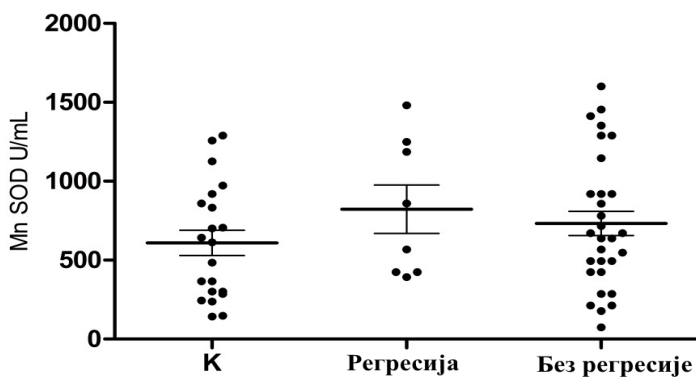


**График 4.2.7.2.1.** Активност tSOD у пацијената разврстаних на основу присуства/одсуства регресије и здравих контролних особа.

*K-здраве контролне особе. Резултати су приказани као средња вредност ± стандардна грешка.*

#### 4.2.7.3. Серумска активност манган супероксид дизмутазе код пацијената са меланомом класификованих на основу присуства/одсуства регресије

Нису утврђене значајне разлике у активности MnSOD између контролне групе и група пацијената, као ни између самих група пацијената (Табела 4.2.7.1, График 4.2.7.3.1).

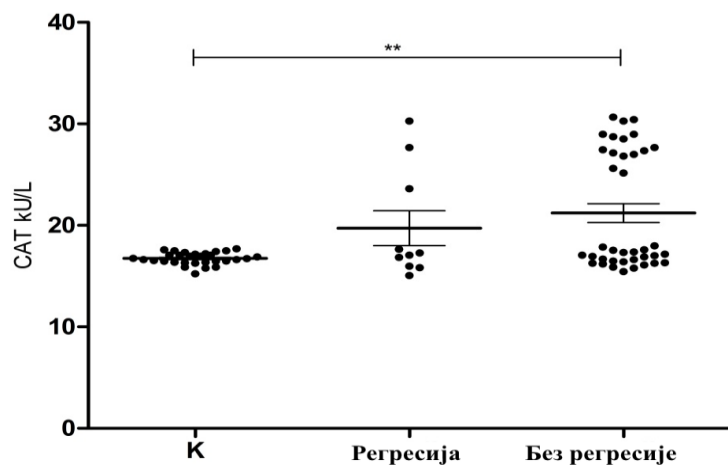


**График 4.2.7.3.1.** Активност MnSOD у пацијената разврстаних на основу присуства/одсуства регресије и здравих контролних особа.

*K-здраве контролне особе. Резултати су приказани као средња вредност ± стандардна грешка.*

**4.2.7.4. Серумска активност каталазе код пацијената са меланомом класификованих на основу присуства/одсуства регресије**

Значајна разлика у активности САТ утврђена је између контролне групе и групе пацијената без регресије ( $p=0,0080$ ). Између група пацијената није утврђена значајна разлика у активности САТ (Табела 4.2.7.1, График 4.2.7.4.1).

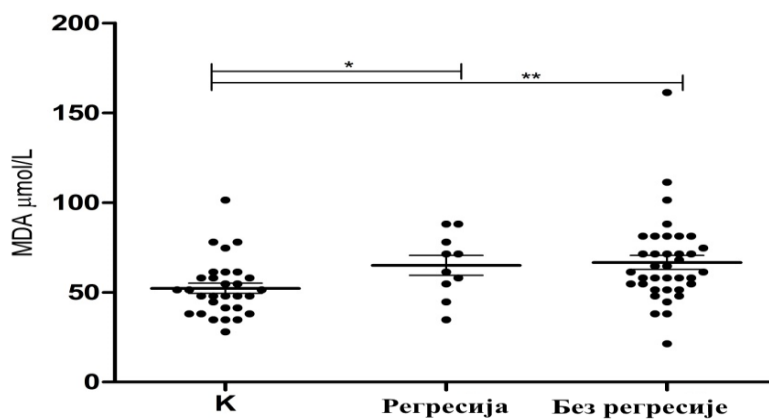


**График 4.2.7.4.1.** Активност САТ у пацијената разврстаних на основу присуства/одсуства регресије и здравих контролних особа.

К-здраве контролне особе, \*\*  $p<0,01$ . Резултати су приказани као средња вредност  $\pm$  стандардна грешка.

**4.2.7.5. Серумске концентрације малондиалдехида код пацијената са меланомом класификованих на основу присуства/одсуства регресије**

Значајне разлике серумског MDA утврђене су између контролне групе и група пацијената са ( $p=0,0433$ ) и без регресије ( $p=0,0015$ ). Између ових група пацијената није утврђена значајна разлика серумског MDA (Табела 4.2.7.1, График 4.2.7.5.1).



**График 4.2.7.5.1.** Концентрација MDA у пацијената разврстаних на основу присуства/одсуства регресије и здравих контролних особа.

*K-здраве контролне особе, \*  $p<0,05$ , \*\*  $p<0,01$ . Резултати су приказани као средња вредност  $\pm$  стандардна грешка.*

#### 4.2.8. Серумске концентрације параметара оксидативног стреса код пацијената са меланомом класификованих на основу присуства/одсуства улцерације

Сумарни приказ свеукупних параметара оксидативног стреса на основу присуства/одсуства улцерације је табеларно представљен (Табела 4.2.8.1).

**Табела 4.2.8.1.** Серумске концентрације оксидативних параметара на основу улцерације

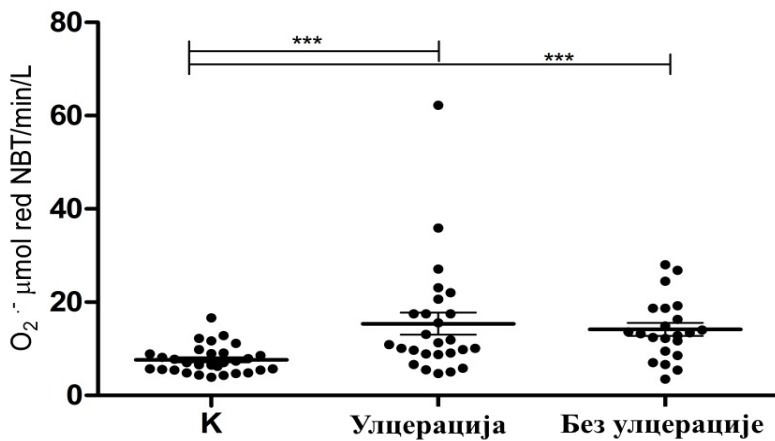
Параметри оксидативног стреса	Улцерација	
	Улцерација	Без улцерације
$O_2^{*-}$ ( $\mu\text{mol red NBT}/\text{min/L}$ )	15,4	14,14
	12,3	6,541
	2,38	1,394
tSOD (U tSOD/mL)	1197	1206
	488,8	499,1
	95,86	106,4
Mn-SOD (U Mn-SOD/mL)	692,7	792,1
	406,7	433,9
	86,7	108,5
CAT (kU CAT/L)	21,55	19,87
	5,818	5,387
	1,141	1,148
MDA ( $\mu\text{mol MDA/L}$ )	71,72	57,52
	24,84	15,93
	4,872	3,475

*Наведене вредности за оксидативне параметре смештене су у три реда и одонце се на: средњу вредност, стандардну девијацију и стандардну грешку.*

Детаљнија интерпретација добијених резултата са статистичком обрадом представљена је графицима: 4.2.8.1-5.1.

#### **4.2.8.1. Серумске концентрације супероксидног анјона код пацијената са мелномом класификованих на основу присуства/одсуства улцерације**

Значајне разлике серумског  $O_2^{\cdot-}$  утврђене су између контролне групе и група пацијената са ( $p=0,0003$ ) и без улцерације ( $p<0,0001$ ). Између ових група пацијената није утврђена значајна разлика серумског  $O_2^{\cdot-}$  (Табела 4.2.8.1, График 4.2.8.1.1).

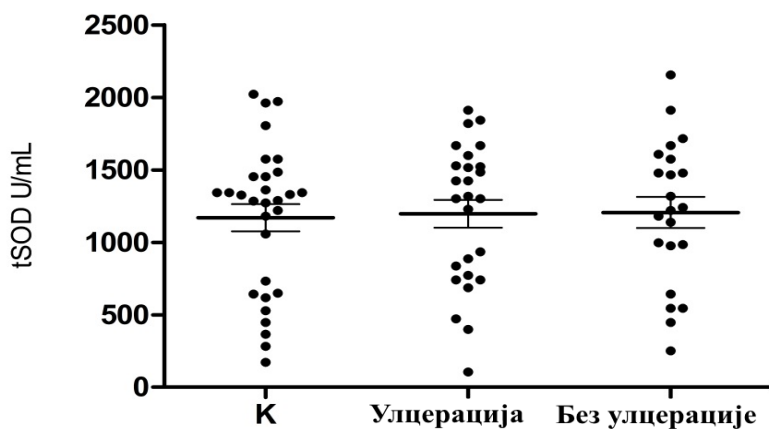


**График 4.2.8.1.1.** Концентрација  $O_2^{\cdot-}$  у пацијената разврстаних на основу присуства/одсуства улцерације и здравих контролних особа.

К-здраве контролне особе, \*\*\*  $p<0,001$ . Резултати су приказани као средња вредност  $\pm$  стандардна грешка.

#### **4.2.8.2. Серумска активност супероксид дизмутазе код пацијената са меланомом класификованих на основу присуства/одсуства улцерације**

Нису утврђене значајне разлике у активности tSOD између контролне групе и група пацијената, као ни између самих група пацијената (Табела 4.2.8.1, График 4.2.8.2.1).

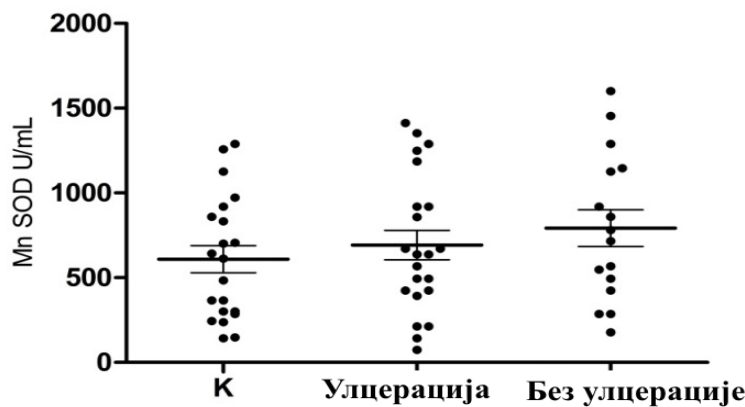


**График 4.2.8.2.1.** Активност tSOD у пацијената разврстаних на основу присуства/одсуства улцерације и здравих контролних особа.

*K- здраве контролне особе. Резултати су приказани као средња вредност ± стандардна грешка.*

#### 4.2.8.3. Серумска активност манган супероксид дизмутазе код пацијената са меланомом класификованих на основу присуства/одсуства улцерације

Нису утврђене значајне разлике у активности MnSOD између контролне групе и група пацијената, као ни између самих група пацијената (Табела 4.2.8.1, График 4.2.8.3.1).

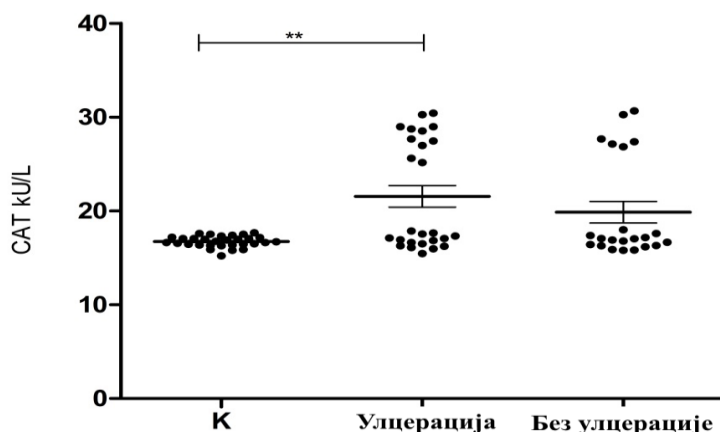


**График 4.2.8.3.1.** Активност MnSOD у пацијената разврстаних на основу присуства/одсуства улцерације и здравих контролних особа.

*K- здраве контролне особе. Резултати су приказани као средња вредност ± стандардна грешка.*

**4.2.8.4. Серумска активност каталазе код пацијената са меланомом класификованих на основу присуства/одсуства улцерације**

Значајна разлика у активности САТ утврђена је између контролне групе и групе пацијената са улцерацијом ( $p=0,0059$ ). Између група пацијената нису утврђене значајне разлике у активности САТ (Табела 4.2.8.1, График 4.2.8.4.1).

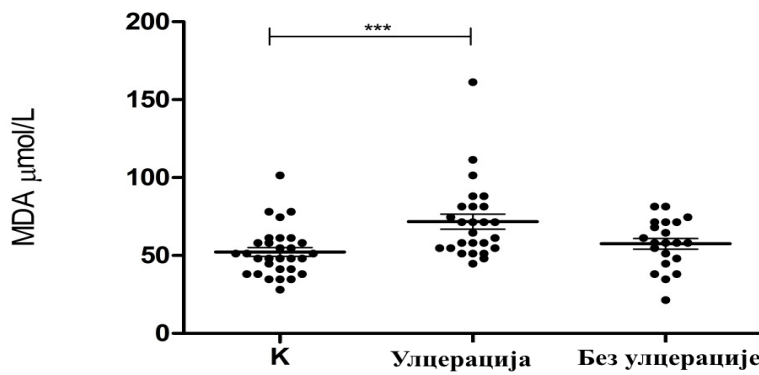


**График 4.2.8.4.1.** Активност САТ у пацијената разврстаних на основу присуства/одсуства улцерације и здравих контролних особа.

К-здраве контролне особе, \*\*  $p<0,01$ . Резултати су приказани као средња вредност  $\pm$  стандардна грешка.

**4.2.8.5. Серумске концентрације малондиалдехида код пацијената са меланомом класификованих на основу присуства/одсуства улцерације**

Значајна разлика серумског МДА утврђена је између контролне групе и групе пацијената са улцерацијом ( $p=0,0003$ ). Између група пацијената нису утврђене значајне разлике серумског МДА (Табела 4.2.8.1, График 4.2.8.5.1).



**Гарфик 4.2.8.5.1.** Концентрација MDA у пацијената разврстаних на основу присуства/одсуства улцерације и здравих контролних особа.

*K-здраве контролне особе, \*\*\* p<0,001. Резултати су приказани као средња вредност ± стандардна грешка.*

#### 4.2.9. Серумске концентрације параметара оксидативног стреса код пацијената са меланомом класификованих на основу типа (облика) ћелије меланома

Сумарни приказ свеукупних параметара оксидативног стреса на основу типа

ћелије меланома је табеларно представљен (Табела 4.2.9.1).

**Табела 4.2.9.1.** Серумске концентрације оксидативних параметара према типу ћелије меланома

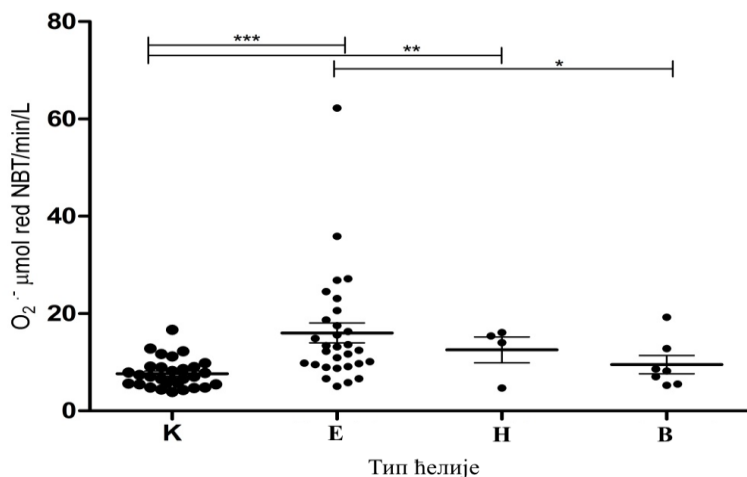
Параметри оксидативног	Тип (облик) ћелије меланома		
	E	H	B
$\text{O}_2^{\cdot-}$ ( $\mu\text{mol red NBT}/\text{min/L}$ )	16,02	12,54	9,512
	11,33	5,317	4,988
	2,069	2,659	1,885
tSOD (U tSOD/mL)	1101	1543	1443
	468,6	228,5	422,9
	85,56	114,3	159,8
Mn-SOD (U Mn-SOD/mL)	750,1	867,5	967,6
	528,1	528,1	516,6
	304,9	304,9	210,9
CAT (kU CAT/L)	20,96	22,68	21,57
	5,8	6,683	5,846
	1,059	3,341	2,21
MDA ( $\mu\text{mol MDA/L}$ )	64,56	80,5	65,14
	14,45	24,55	43,69
	2,638	12,28	16,51

*Наведене вредности за оксидативне параметре смештене су у три реда и одонце се на: средњу вредност, стандардну девијацију и стандардну грешку. E- епителодини тип, H- невоидни тип, B- вретенасти тип.*

Детаљнија интерпретација добијених резултата са статистичком обрадом представљена је графицима: 4.2.9.1-5.1.

#### **4.2.9.1. Серумске концентрације супероксидног анјона код пацијената са меланомом класификованих на основу типа ћелије меланома**

Значајне разлике серумског  $O_2^-$  утврђене су између контролне групе и група пацијената са: епителоидним типом ћелије ( $p<0,0001$ ), невоидним типом ћелије ( $p=0,0082$ ). Између групе пацијената са епителоидним типом и групе са вретенастим типом ћелије утврђена је значајна разлика серумског  $O_2^-$  ( $p=0,0418$ ) (Табела 4.2.9.1, График 4.2.9.1.1).

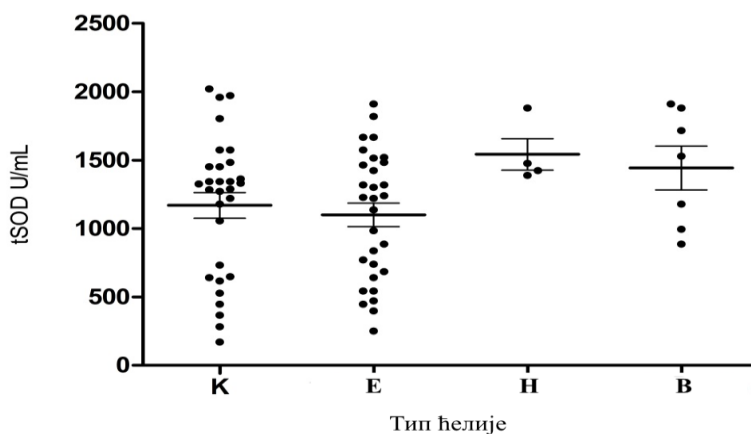


**График 4.2.9.1.1.** Концентрација  $O_2^-$  у пацијената разврстаних на основу типа ћелије и здравих контролних особа.

*К-здраве контролне особе, Е- епителоидни тип ћелије, Н-невоидни тип ћелије, В- вретенасти тип ћелије, \*  $p<0,05$ , \*\*  $p<0,01$ , \*\*\*  $p<0,001$ . Резултати су приказани као средња вредност ± стандардна грешка.*

#### **4.2.9.2. Серумска активност супероксид дизмутазе код пацијената са меланомом класификованих на основу типа ћелије меланома**

Нису утврђене значајне разлике у активности tSOD између контролне групе и група пацијената, као ни између самих група пацијената (Табела 4.2.9.1, График 4.2.9.2.1).

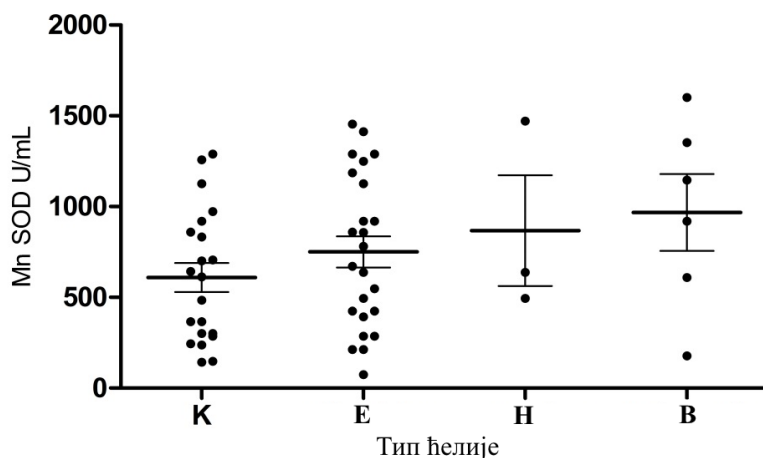


**График 4.2.9.2.1.** Активност tSOD у пацијената разврстаних на основу типа ћелије и здравих контролних особа.

*K-здраве контролне особе, E- епителодини тип ћелије, H- невоидни тип ћелије, B- вретенасти тип ћелије. Резултати су приказани као средња вредност ± стандардна грешка.*

#### 4.2.9.3. Серумска активност манган супероксид дизмутазе код пацијената са меланомом класификованих на основу типа ћелије меланома

Нису утврђене значајне разлике у активности MnSOD између контролне групе и група пацијената, као ни између самих група пацијената (Табела 4.2.9.1, График 4.2.9.3.1).



**График 4.2.9.3.1.** Активност MnSOD у пацијената разврстаних на основу типа ћелије и здравих контролних особа.

*K-здраве контролне особе, E- епителодини тип ћелије, H-невоидни тип ћелије, B- вретенасти тип ћелије. Резултати су приказани као средња вредност ± стандардна грешка.*

**4.2.9.4. Серумска активност каталазе код пацијената са меланомом класификованих на основу типа ћелије меланома**

Значајне разлике у активности САТ утврђене су између контролне групе и група пацијената са: епителоидним типом ћелије ( $p=0,0370$ ), невоидним типом ћелије ( $p=0,0448$ ), вретенастим типом ћелије ( $p=0,0328$ ). Између група пацијената нису утврђене значајне разлике у активности САТ (Табела 4.2.9.1, График 4.2.9.4.1).

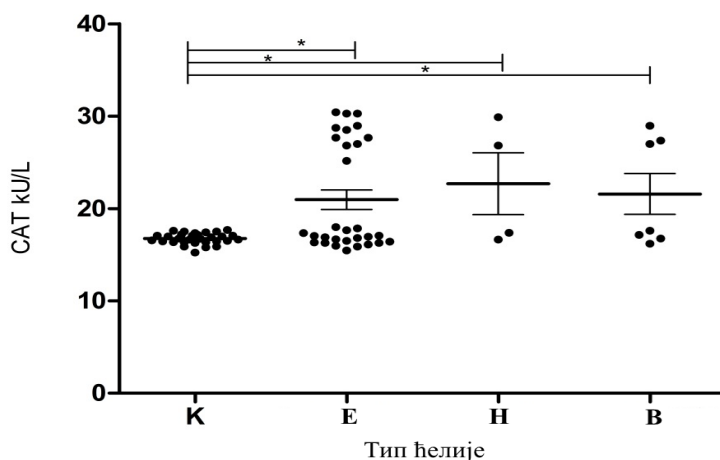
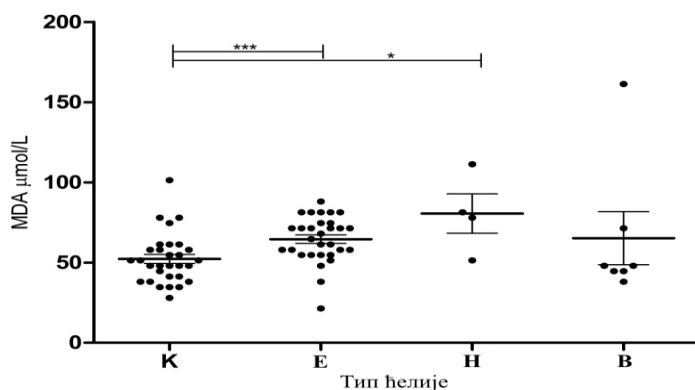


График 4.2.9.4.1. Активност САТ у пацијената разврстаних на основу облика ћелије и здравих контролних особа.

*K-здраве контролне особе, E- епителодини тип ћелије, H-невоидни тип ћелије, B- вретенасти тип ћелије, \*  $p<0,05$ . Резултати су приказани као средња вредност  $\pm$  стандардна грешка.*

**4.2.9.5. Серумска концентрација малондиалдехида код пацијената са меланомом класификованих на основу типа ћелије меланома**

Значајне разлике серумског МДА утврђене су између контролне групе и група пацијената са: епителоидним типом ћелија ( $p=0,0007$ ), невоидним типом ћелија ( $p=0,0210$ ). Између група пацијената нису утврђене значајне разлике серумског МДА (Табела 4.2.9.1, График 4.2.9.5.1).



**График 4.2.9.5.1.** Концентрација MDA у пацијената разврстаних на основу типа ћелије и здравих контролних особа.

*К-здраве контролне особе, Е- епителодини тип ћелије, Н-невоидни тип ћелије, В- вретенасти тип ћелије, \*  $p<0,05$ , \*\*\*  $p<0,001$ . Резултати су приказани као средња вредност  $\pm$  стандардна грешка.*

#### 4.2.10. Серумске концентрације параметара оксидативног стреса код пацијената са меланомом класификованих према патохистолошком стадијуму

Сумарни приказ свеукупних параметара оксидативног стреса према патохистолошком стадијуму је табеларно представљен (Табела 4.2.10.1).

**Табела 4.2.10.1.** Серумске концентрације оксидативних параметара према патохистолошком стадијуму

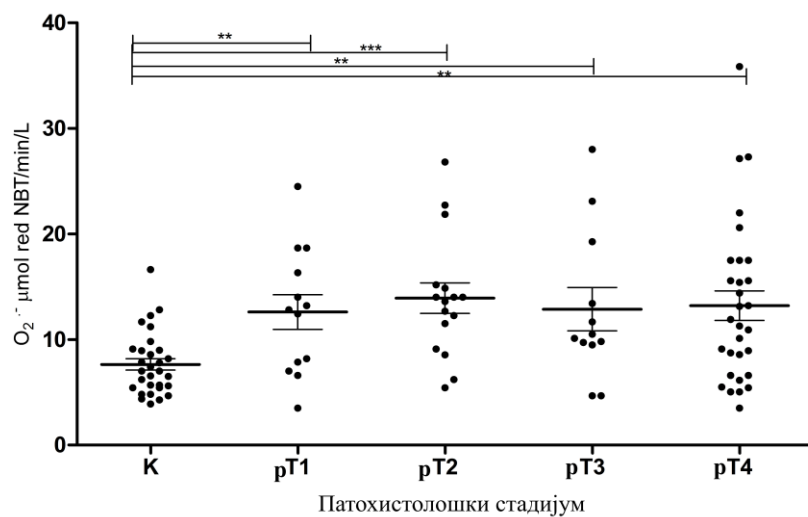
Параметри оксидативног	Патохистолошки стадијум меланома			
	pT1	pT2	pT3	pT4
$\text{O}_2^{\cdot\cdot}(\mu\text{mol red NBT}/\text{min/L})$	12,6	13,93	12,87	13,2
	5,94	5,79	7,1	7,64
	1,65	1,45	2,05	1,4
$\text{tSOD (U tSOD/mL)}$	1161	1110	1306	1300
	401,5	565,3	499,2	507
	111,4	141,3	138,5	92,56
$\text{Mn-SOD (U Mn-SOD/mL)}$	710,4	736,5	765,9	771,5
	334,9	427,6	488,8	432,6
	105,9	128,9	147,4	88,3
$\text{CAT (kU CAT/L)}$	20,29	18	21,8	22,98
	5,664	3,863	5,939	6,235
	1,571	0,9657	1,647	1,138
$\text{MDA (\mu\text{mol MDA/L})}$	52,62	66,54	69,69	62,94
	18,23	17,72	18,68	12,81
	5,057	4,43	5,18	2,378

Наведене вредности за оксидативне параметре смештене су у три реда и одонце се на: средњу вредност, стандардну девијацију и стандардну грешку.

Детаљнија интерпретација добијених резултата са статистичком обрадом представљена је графицима: 4.2.10.1-5.1.

#### **4.2.10.1. Серумске концентрације супероксидног анјона код пацијената са меланомом класификованих према патохистолошком стадијуму**

Значајне разлике серумског  $O_2^{\cdot-}$  утврђене су између контролне групе и група пацијената у стадијумима: pT1 ( $p=0,0055$ ), pT2 ( $p=0,0001$ ), pT3 ( $p=0,0085$ ), pT4 ( $p=0,0012$ ). Између група пацијената нису утврђене статистички значајне разлике серумског  $O_2^{\cdot-}$  (Табела 4.2.10.1, График 4.2.10.1.1).

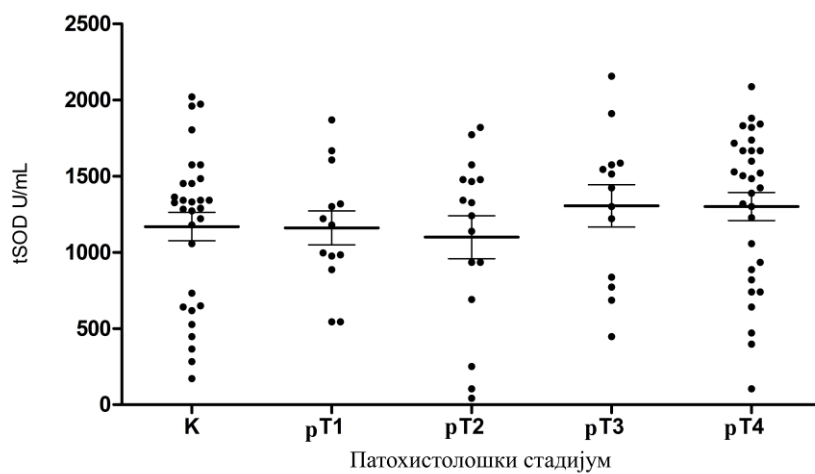


**График 4.2.10.1.1.** Концентрација  $O_2^{\cdot-}$  у пацијената разврстаних на основу патохистолошког стадијума и здравих контролних особа.

*K-здраве контролне особе, \*\*  $p<0,01$ , \*\*\*  $p<0,001$ . Резултати су приказани као средња вредност  $\pm$  стандардна грешка.*

#### **4.2.10.2. Серумска активност супероксид дизмутазе код пацијената са меланомом класификованих према патохистолошком стадијуму**

Нису утврђене значајне разлике у активности tSOD између контролне групе и група пацијената, као ни између самих група пацијената (Табела 4.2.10.1, График 4.2.10.2.1).

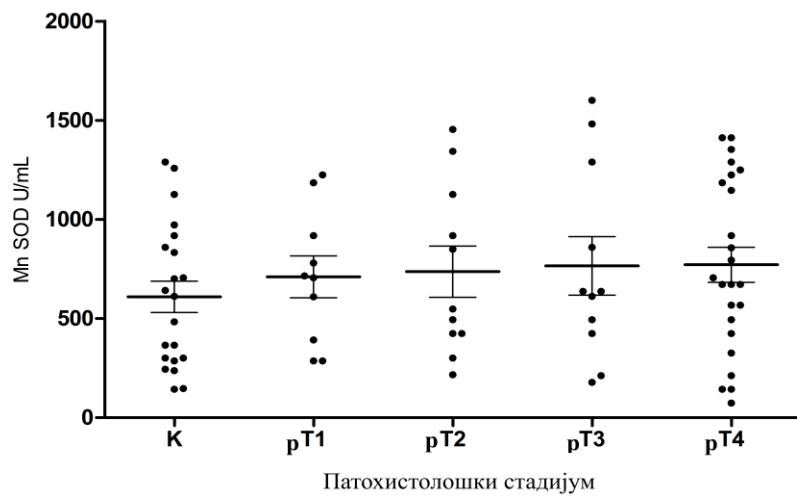


**График 4.2.10.2.1.** Активност tSOD у пацијената разврстаних на основу патохистолошког стадијума и здравих контролних особа.

*K-здраве контролне особе. Резултати су приказани као средња вредност  $\pm$  стандардна грешка.*

#### 4.2.10.3. Серумска активност манган супероксид дизмутазе код пацијената са меланомом класификованих према патохистолошком стадијуму

Нису утврђене значајне разлике у активности MnSOD између контролне групе и група пацијената, као ни између самих група пацијената (Табела 4.2.10.1, График 4.2.10.3.1).

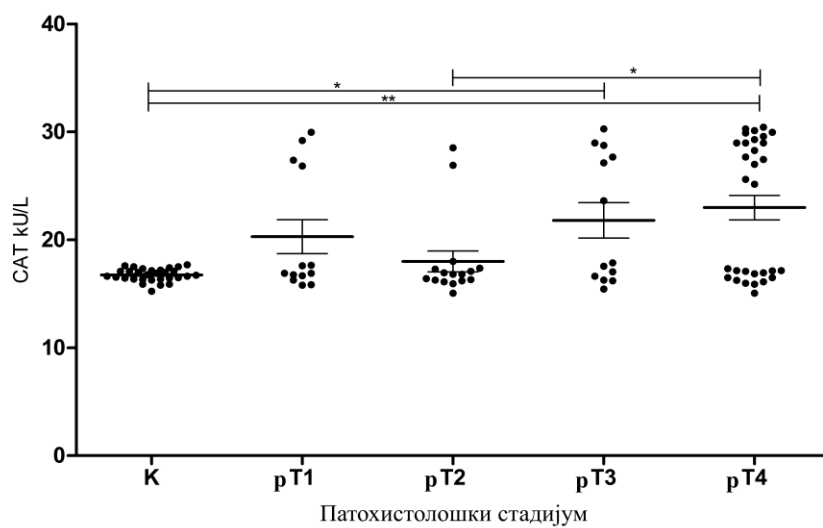


**График 4.2.10.3.1.** Активност MnSOD у пацијената разврстаних на основу патохистолошког стадијума и здравих контролних особа.

*K-здраве контролне особе. Резултати су приказани као средња вредност  $\pm$  стандардна грешка.*

**4.2.10.4. Серумска активност каталазе код пацијената са меланомом класификованих према патохистолошком стадијуму**

Значајне разлике у активности САТ утврђене су између контролне групе и група пацијената у стадијумима: pT3 ( $p=0,0245$ ), pT4 ( $p=0,0020$ ). Између стадијума pT2 и pT4 утврђена је значајна разлика у активности САТ ( $p=0,015$ ) (Табела 4.2.10.1, График 4.2.10.4.1 ).

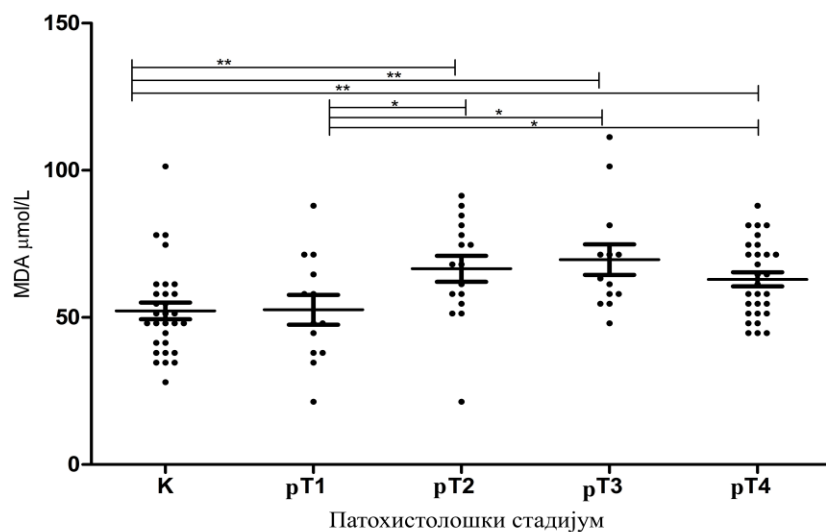


**График 4.2.10.4.1.** Активност САТ у пацијената разврстаних на основу патохистолошког стадијума и здравих контролних особа.

К-здраве контролне особе, \*  $p<0,05$ , \*\*  $p<0,01$ . Резултати су приказани као средња вредност ± стандардна грешка.

**4.2.10.5. Серумска концентрација малондиалдехида код пацијената са меланомом класификованих према патохистолошком стадијуму**

Значајне разлике серумског MDA утврђене су између контролне групе и група пацијената у стадијумима: pT2 ( $p=0,0031$ ), pT3 ( $p=0,0024$ ), pT4 ( $p=0,0034$ ). Између следећих стадијума утврђена је значајна разлика серумског MDA: pT1 и pT2 ( $p=0,039$ ), pT1 и pT3 ( $p=0,0391$ ), pT1 и pT4 ( $p=0,0452$ ) (Табела 4.2.10.1, График 4.2.10.5.1).



**График 4.2.10.5.1.** Концентрација MDA у пациентата разврстаних на основу патохистолошког стадијума и здравих контролних особа.

*K-здраве контролне особе, \*  $p<0,05$ , \*\*  $p<0,01$ . Резултати су приказани као средња вредност  $\pm$  стандардна грешка.*

### 4.3. Receiver operating characteristic curve (ROC анализа)

За одређивање сензитивности и специфичности примењених тестова, као мера њихове статистичке значајности и дијагностичке ефикасности као и за утврђивање предиктивне вредности тестова и за одређивање граничних вредности (cut-off), коришћена је ROC анализа. Варијабле су додатно анализиране помоћу ROC анализе како би се утврдила њихова практична вредност у разликовању нормалног и патолошког налаза. Статистички тестови које смо претходно применили нам говоре да постоји разлика између оболелих и здравих, али не дефинишу која је то оптимална вредност варијабле за разликовање две групе.

Резултати добијени применом ROC анализе за испитивање параметре су приказани табеларно (Табели 4.3.1).

Табела 4.3.1. ROC анализа испитиваних параметара

Варијабла	AUC	Стандардна грешка	p вредност
IL27	0,8751	139,2	< 0,0001
O <sub>2</sub> <sup>-</sup>	0,7877	0,04237	< 0,0001
tSOD	0,5402	0,05962	0,5093
MnSOD	0,608	0,06808	0,1355
CAT	0,646	0,04851	0,01661
MDA	0,7297	0,05422	0,0001694

AUC- Површина испод криве. Статистичка значајност p<0,05.

Cut-off вредност за IL27 за специфичност 100% је 129 pg/mL. Све вредности испод ове граничне вредности су значајно смањене у односу на вредности контролне групе (График 4.3.1).

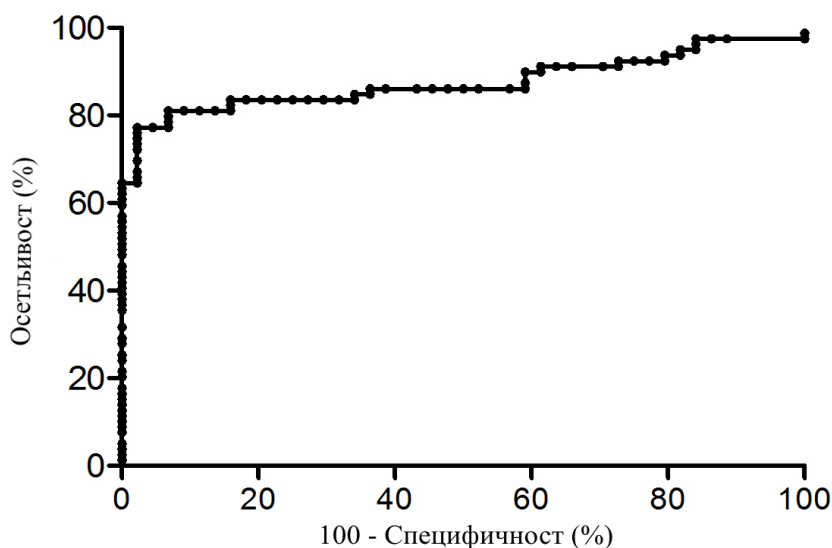


График 4.3.1. ROC крива за IL27

Cut-off вредност за супероксид анјон радикал за специфичност 100% је 17,07  $\mu\text{mol red NBT/min/L}$ . Све вредности изнад ове граничне вредности су значајно повишене у односу на контролну групу (График 4.3.2).

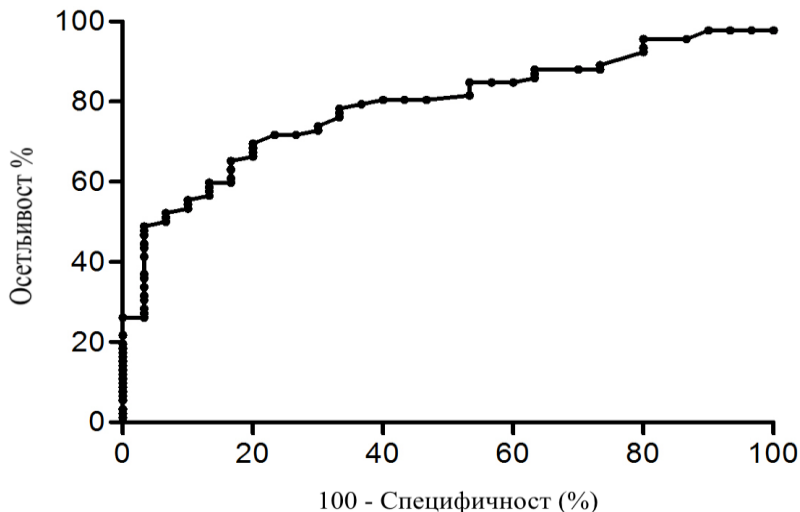


График 4.3.2. ROC за супероксид анјон радикал

Cut-off вредност за CAT за специфичност 100% је 17,77 kU/L. Све вредности изнад ове граничне вредности су значајно повишене у односу на контролну групу (График 4.3.3).

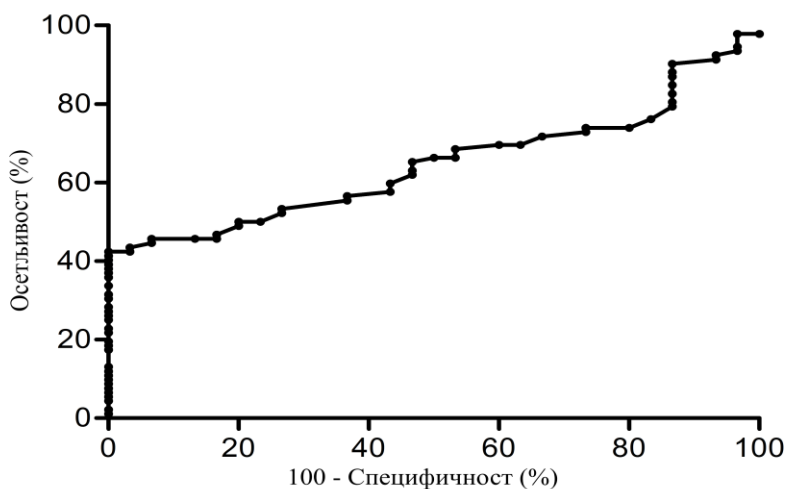


График 4.3.3. ROC за CAT

Cut-off вредност за MDA за специфичност 100% је 106,3  $\mu\text{mol}/\text{L}$ . Све вредности изнад ове граничне вредности су значајно повишене у односу на контролну групу (График 4.3.4).

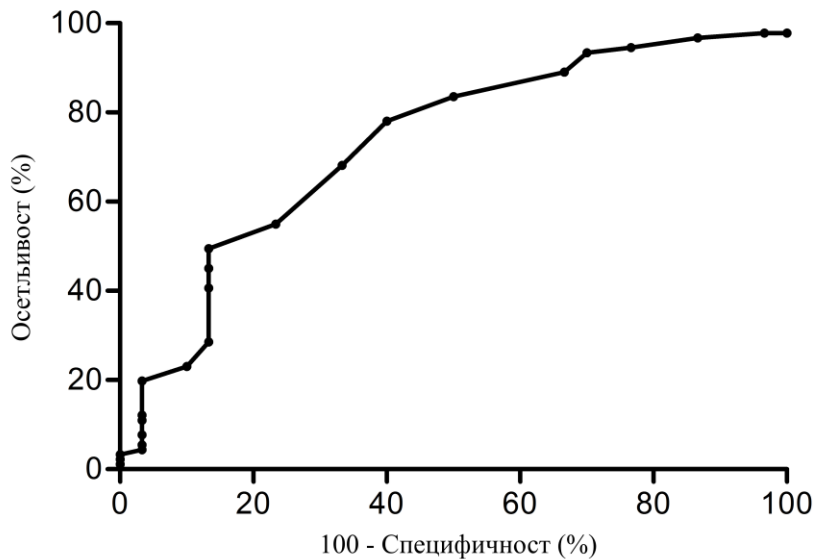


График 4.3.4. ROC крива за MDA

#### 4.4. Корелација IL27 и параметара оксидативног стреса

У овој студији није пронађена корелација  $O_2^{-\cdot}$  и MDA са IL27. Пронађена је корелација између следећих параметара: IL27 и CAT ( $r = -0,3969$ ,  $p = 0,0003$ ), IL27 и tSOD ( $r = -0,3764$ ,  $p = 0,0006$ ), IL27 и MnSOD ( $r = -0,2682$ ,  $p = 0,0321$ ). Корелација између параметара OS је приказана табеларно (Табела 4.4.1).

Табела 4.4.1. Корелација параметара OS

	$O_2^{-\cdot}$	MDA	CAT	tSOD	MnSOD	
$O_2^{-\cdot}$	$r$	/	0,276	-0,343	-0,24	-0,28
MDA	$r$	0,276	/	-0,111	-0,066	-0,064
CAT	$r$	-0,343	-0,111	/	0,568	0,277
tSOD	$r$	-0,24	-0,066	0,568	/	0,456
MnSOD	$r$	-0,28	-0,064	0,277	0,456	/
	$p$	0,012*	0,302	<0,0001***	/	<0,0001***
	$p$	0,029*	0,612	0,02	<0,0001***	/

$r$ -кофицијент корелације,  $p$ - ниво значајности

## 5. ДИСКУСИЈА

### 5.1. Интерлеукин 27

Интерлеукин 27 поседује јаке антитуморске ефекте усмерене против различитих типова тумора, посредством различитих механизама што зависи од самог типа тумора. Први извештај о антитуморској активности IL27 је показала студија Hisada и сарадника на моделу мишјег карцином колона и то посредством CD8<sup>+</sup>T, IFN-γ и T-bet (118). У експерименталној студији Shimizu и сарадника показано је да IL27 инхибира раст и метастазе на ћелијама B16F10 мишјег меланома, као и неоваскуларизацију (независно од IFN-γ) на моделу пилећих ембриона (119). Они су показали да се антиангиогени ефекат IL27 остварује индукцијом антиангиогених хемокина CXCL, IFN-γ индукујућег протеина (IP10, CXCL10) и монокина индукованог IFN-γ (MIG,CXCL9). Касније су Yoshimoto и сарадници демонстрирали *in vitro* антитуморске ефекте IL27 на култури мишјих ћелија меланома B16F10, антипсолиферативно делујући посредством STAT1 и транскрипциониг фактора IRF1 (51). Такође показано је на моделу мишјег карцинома дебelog црева, да IL27 остварује антитуморске ефекат и посредством NK ћелија (120). Сумирено, IL27 остварује антитуморску и антиметастатску активност активацијом CD8<sup>+</sup>T лимфоцита, NK ћелија, као и сопствених антиангиогених ефеката у зависности од особина самог тумора. Изразито имуногени тумори експримирају висок ниво МНС I, те IL27 остварује своје ефекте углавном посредством CD8<sup>+</sup>T лимфоцита, док слабо имуногени тумори експримирају низак ниво МНС I, тако да IL27 делује углавном посредством NK ћелија и својих антиангиогених ефеката. Ови обећавајући резултати на анималним моделима чекају будућу потврду у студијама на људима.

Насупрот овоме, неке студије су описале протуморски ефекат IL27, посредством стимулације Tr1 који продукују инхибиторни цитокин IL10 (121) који своје дејство остварује на макрофагама и дендритичним ћелијама. IL27, такође стимулише експресију PD-L1 на дендритичним ћелијама и Т лимфоцитима, тако да супримира њихову функцију (122).

Обзиром да IL27 може имати двоструки ефекат: антитуморски ефекат и да стимулише развој тумора, постоје неслагања о улози овог цитокина у развоју карцинома. Diakowska и сар. су испитивали концентрацију IL27 код болесника оболелих од гастро-езофагеалног карцинома и показали статистички значајно повећану концентрацију IL27 код болесника у односу на контролну групу (123). Концентрација IL27 није корелирала значајно са напредовањем болести, нити се разликовала између група болесника са локализованом и раширеном болешти, али показана је статистички значајна веза између концентрације овог цитокина и статуса лимфних чворова (IL27 је већи у групи са метастазама). Аутори су показали ROC анализом да је IL27 добар прогностички маркер присуства гастро-езофагеалног карцинома. У студији са пациентима оболелих од карцинома дојке, аутори су такође показали статистички значајну већу концентрацију IL27 код болесника у односу на контролну групу, док је концентрација овог цитокина у крајњем стадијуму болести статистички значајно нижа него у почетном стадијуму (124). Концентрација IL27 у овој студији је била значајно нижа након операције уклањања тумора, што указује на то да концентрација овог цитокина корелира са тежином болести. Насупрот овоме, код пацијената са остеосаркомом, IL27 је значајно смањен код болесника у односу на контролну групу (125). У овој студији пацијенти без метастаза су имали значајно мањи IL27 у односу на оне са метастазама, док су пацијенти у узнапредовалој фази болести имали мању

вредност овог цитокина у односу на оне у почетној фази болести. Развој остеосаркома се у овој студији објашњава смањењем имунског одговора (односно настанаком Th1), обзиром да IL27 стимулише диференцијацију овог типа лимфоцита. Zhou и сар. су показали да је IL27 у плазми пацијента са неинвазивним карциномом простате значајно смањен у односу на контролу, али без разлике између пацијената са инвазивним и неинвазивним типом, као ни почетним и крајњим стадијумом болести (126). Gonin и сар. су показали у својој студији *in situ* интезивну експресију IL27 код пацијената са инвазивним кожним меланомом (127). Аутори су закључили да експресија овог цитокина у ткиву корелира са прогресијом тумора а не његовом регресијом, такође су показали да узорци ткива оболелих (са експресијом IL27) имају већу фреквенцију метастаза у поређењу са ткивима која не експримирају IL27. *In vitro* на култури ћелија хуманог меланома, показано је да IL27 стимулише експресију IL10 и PD-L1 (моћни инхибитори Т лимфоцита), што додатно стимулише процес развоја тумора.

### 5.1.1. Повезаност IL27 и AJCC стадијума

У нашој студији је показано да концентрација IL27 опада са напредовањем болести (Табела 4.1.1.1, График 4.1.1.1). Показали смо да постоји значајна веза између концентрације IL27 и стадијума болести. Ови резултати су у складу са нашом претходно објављеном студијом (128). Пантић Бишевац и сар. су показали најнижу концентрацију серумског IL27 у односу на контролну групу, у IV клиничком стадијуму ( $p=0,0351$ ) и групи TNM4 (пацијенти класификовани према TNM класификацији,  $p=0,0104$ ).

Резултати наше студије су у складу са студијом на пациентима оболелим од карцинома плућа, где је IL27 је значајно већи код здравих особа и код пацијената у

ранијем клиничком стадијуму у односу на оне са узнапредовалом фазом болести (129). Такође, аутори ове студије су показали да је код меланомских пацијената IL27 већи код пацијената без метастаза у односу на оне са метастазама, као и да је у групи пацијената са мањим туморима, концентрација овог цитокина већа у односу на групу са већим туморима (129).

### 5.1.2. Повезаност IL27 и CLARCK

Серумски IL27 опада са порастом инвазивности мелнома у кожу, тако да је најмања концентрација овог цитокина у V стадијуму (Табела 4.1.2.1, График 4.1.2.1). Ниво инвазије меланома корелира са лошим прогностичким импликацијама. Овим резултатом смо показали антитуморски ефекат IL27 код пацијената са меланомом.

### 5.1.3. Повезаност IL27 и BRESLOW

Серумски IL27 опада са повећањем дебљине инвазије меланома, тако да је најмања концентрација у групи где је величина промене 8-10mm, а највећа у групи где је промена 1-2 mm (Табела 4.1.3.1, График 4.1.3.1). Класификација по BRESLOW-у је главни прогностички фактор за мелноме.

### 5.1.4. Повезаност IL27 са хистолошким типом тумора

Показали смо да не постоји зависност IL27 и хистолошког типа меланома. Серумски IL27 је био највећи код пацијената са полипоидним типом меланома, а најнижи код нодуларног типа (Табела 4.1.4.1, График 4.1.4.1) у односу на контролну групу, што је и за очекивати обзиром да је нодуларни тип меланома најинвазивнији.

### 5.1.5. Повезаност IL27 и лимфоваскуларне инвазије

Није показана значајна разлика серумског IL27 међу пациентима различите лимфоваскуларне инвазије; благо је повећан у групи без детектоване лимфоваскуларне инвазије (Табела 4.1.5.1, График 4.1.5.1).

### 5.1.6. Повезаност IL27 и митотског индекса

Показано је да не постоји значајна веза серумског IL27 и броја митоза по  $\text{mm}^2$ , мада се из приложених резултата види да је IL27 највећи у групи без митоза, а најнижа у групи са 4 и 5 митоза (Табела 4.1.6.1, График 4.1.6.1). Иначе, IL27 је и значајно снижен у свим групама у односу на контролну групу.

### 5.1.7. Повезаност IL27 и регресије тумора

Регресија тумора се карактерише заменом овог ткива фиброзом и дегенерисаним меланомским ћелијама, лимфоцитном пролиферацијом и формирањем телангиектазија. У овој студији није показана значајна разлика серумског IL27 између група са и без присутне регресије (Табела 4.1.7.1, График 4.1.7.1).

### 5.1.8. Повезаност IL27 и улцерације

Није установљена значајна разлика серумског IL27 између група са присутном односно одсутном улцерацијом (Табела 4.1.8.1, График 4.1.8.1). Присуство улцерације представља негативан прогностички фактор.

### 5.1.9. Повезаност IL27 и типа (облика) ћелија

У овој студији је показано да је серумски IL27 значајно нижи код пацијената са вретенастим од невоидног типа ћелија, као и да је значајно нижи у свим групама у односу на контролу (Табела 4.1.9.1, График 4.1.9.1).

### 5.1.10. Повезаност IL27 и патохистолошког стадијума

Серумски IL27 опада са напредовањем болести, тако да је у стадијуму pT4 значајно нижи у односу на pT3 (Табела 4.1.10.1, График 4.1.10.1). Напредовањем болести опада и серумски IL27, што потврђује протективну улогу овог цитокина.

## 5.2. Оксидативни стрес

Велики број студија је документовало посредовање FRs у процесима карциногенезе, мутација и трансформација ћелија (130, 131). Ми смо у нашој студији показали да постоји позитивна веза између OS и напредовања меланома.

Реактивне кисеоничне врсте узрокују оштећење DNA, протеина и липида и ова оштећења су главни узрок настанка бројних дегенеративних болести и карцинома. Механизми којима OS доприноси расту и развоју тумора су: промена генома, активација онкогена и стимулација ангиогенезе (132). Међутим, још увек није разјашњено да ли OS код карцинома настаје услед повећане продукције слободних радикала или услед пада механизама антиоксидативне заштите. Главни извор FRs су митохондрије. Показано је да мутације гена који кодирају компоненте за транспорт електрона у митохондријама узрокују настанак  $O_2^{\cdot-}$  (133). Такође, показано је да NADPH оксидазе смештене у плазма мембрани ћелија меланома продукују ROS (134). Ћелије малигног меланома стварају велику количину ROS у односу на меланоците (135), који се секретују у екстрацелуларни простор и тако обезбеђују сталну активацију трнаскрипционог фактора NF-κB у околном ткиву. Током процеса синтезе меланина настају ROS као споредни продукти. Меланозоми, органеле меланоцита, у којима се синтетише, транспортује и складиши меланин, уједно уклањају и ROS, те самим тим делују као антиоксиданси (136). Међутим код малигног меланома, меланозоми мењају

своју функцију и почињу да продукују велику количину ROS (137). Обзиром да су меланозоми јединствени за меланоците, сматра се да они имају битну улогу у развоју меланома. Такође, још неки фактори могу допринети додатном стварању ROS: хипоксични услови у ткиву, спољни фактори (нпр. UV зраци), ћелије имунског система (нпр. макрофаге). Закључак је да се меланом карактерише високим новоом ROS.

Реактивне кисеоничне врсте могу да активирају различите ензимске каскаде и да иницирају смрт или преживљавање ћелија карцинома активацијом следећих молекула: Akt протеин киназа, Јанус киназе JAK2, ERK1/2 киназе (138). Ћелија може да се адаптира на повећану концентрацију ROS тиме што ће или развити резистенцију на апоптозу или умрети апоптозом, због њима модификованае Akt протеин киназе и активације JNK киназа и MAPK p38 (138, 139). Ћелије малигног меланома развијају резистенцију на апоптозу узорковану ROS, на неколико начина(140):

- активацијом MAPK индукује се пролиферација ћелија и супримира апоптоза (141). MAPK активирају NF-κB који даље индукује експресијуprotoонкогена (c-fos, c-jun и c-myc), који доводе до пролиферације ћелије и блокаде апоптозе (141,142);
- мутацијом гена одговорних за апоптозу, посредством ROS. Најчешће се мутација дешава на гену BRAF (143), што опет узрокује активацију MAPK. Високе концентрације ROS такође, узрокују мутацију p53 гена (иницира апоптозу) што блокира настанак апоптозе (131);
- мутацијама на нивоу DNA молекула, што повећава метастатски потенцијал меланома (144). Штавише, ROS узрокују епигенетске промене на DNA узрокујући промене у експресији гена (145, 146);

- ћелије малигног меланома производе ROS у екстрацелуларни простор што може директно да стимулише развој метастаза услед оштећења околног ткива (147);
- могу да индукују настанак апоптозе код дендритичних ћелија и тако блокирају презентацију туморског антигена имунским ћелијама (148);
- стимулишу експресију адхезионих молекула ICAM1<sup>11</sup> (енг. *intracellular adhesion molecule 1*), VCAM1<sup>12</sup> (енг. *vascular adhesion molecule 1*) и VLA4 (енг. *very late antigen 4*), што узрокује адхезију туморских ћелија и настанак метастаза (132).

### 5.2.1. Повезаност OS и AJCC стадијума

У нашој студији смо показали позитивну везу између OS и клиничког стадијума меланома, на основу испитиваних параметара OS (Табела 4.2.1.1). Документована је значајно повећана продукција  $O_2^-$  ( $p<0,0001$ ) (График 4.2.1.1.1), активност CAT ( $p=0,0081$ ) (График 4.2.1.4.1) и ниво MDA ( $p=0,0008$ ) (График 4.2.1.5.1) код меланомских пацијената у односу на контролну групу. Највећа концентрација  $O_2^-$  је у III стадијуму, што прати и MDA који достиже свој максимум у IV стадијуму. Активност tSOD и CAT је максимална у III стадијуму, док је максимална активност MnSOD у IV стадијуму. Наши резултати потврђују повећану активност система за антиоксидативну заштиту као последицу повећане продукције FRs. Повећана активност SOD и CAT код пацијената оболелих од меланома је одговор на повећану продукцију  $O_2^-$  и MDA, што потврђује да је настанак меланома повезан са OS (147).

<sup>11</sup> ICAM1 експримиран на ендотелу везује се за интегрин LFA1 на леукоцитима.

<sup>12</sup> VCAM1експримиран на ендотелу, везује се за VLA1 интегрин на леукоцитима

Различити статуси OS који су показани у бројним студијама потичу од различитих профила OS који зависе од типа и стадијума болести као и од органа/ткива који је предмет испитивања (149). Sander и сарадници су показали значајно повећану активност антиоксидативних ензима (CAT, SOD) и ниво MDA у малигном ткиву пацијената оболелих од меланома (135). Они су били први који су пронашли корелацију између меланома и MDA у кожи код људи (*in vivo*). Ray и сарадници су код пацијената оболелих од карцинома дојке указали на значајну производњу  $O_2^-$  и MDA, значајно повећану активност SOD и значајно смањену активност CAT (150). Chukka и сарадници су показали повећану LPO и смањену активност CAT код пацијената оболелих од карцинома једњака (151). Насупрот томе, ми смо нашли статистички значајно повећану активност CAT код пацијената оболелих од меланома, која достиже максимум у III стадијуму.

Nisha и сарадници су показали да је активност SOD у оквиру контролних вредности, код пацијената са карциномом главе и врата за разлику од MDA чија је концентрација значајно повећана (152). Они нису показали значајну разлику у активности SOD и концентрацији MDA између група класификованих према TNM стадијуму, типу лезије и хистопатологије. У нашој студији показали смо да нема значајне разлике у активности tSOD и MnSOD између оболелих и контролне групе, али активности обе дизмутазе расту са напредовањем болести, тако да tSOD достиже максимум у III а MnSOD у IV стадијуму болести. Gadjeva и сар. су показали повећану активност CAT и концентрацију MDA у плазми пацијената оболелих од меланома, али статистички значајно нижу активност SOD у односу на контролну групу (153). Они су takođe показали да концентрација MDA у плазми опада након операције (уклањање меланома), што указује на чињеницу да је ткиво меланома значајан извор FRs, док су

активности SOD и CAT исте као и пре операције. Manovani и сардници су показали код различитих типова карцинома да је развој OS повезан са поремећеним механизmom антиоксидативне заштите (154, 155). Schadendorf и сар. су показали повећану активност MnSOD код свих клиничких стадијума меланома у поређењу са контролном групом (156). Они су показали да је MnSOD осетљив макер за праћење клиничког тока меланома. У нашој студији, није пронађена значајна разлика активности MnSOD између клиничких стадијума и контролне групе, изузев у IV клиничком стадијуму.

### 5.2.2. Повезаност OS и CLARCK

Повећањем нивоа инвазије меланома у кожу расту концентрације  $O_2^{\cdot-}$  и MDA и достижу максимум у IV стадијуму инвазије. Није показана значајна разлика концентрације  $O_2^{\cdot-}$  и MDA између самих група (График 4.2.2.1.1 и 4.2.2.5.1). Активност tSOD и MnSOD је у оквиру вредности контролне групе и не зависи од степена инвазивности меланома. Са порастом инвазивности меланома расте активност CAT и максимум је у V стадијуму (График 4.2.2.4.1). Повећана активност CAT се објашњава присуством другим/додатних извора  $H_2O_2$  који се током развоја болести евидентно развијају/дешавају, а имајући у виду са друге стране да се активност SOD не мења са прогресијом болести (SOD катализује конверзију  $O_2^{\cdot-}$  у  $H_2O_2$ ). Повећана концентрација  $O_2^{\cdot-}$  указује на две чињенице: а) лимитирани капацитет SOD ензима и б) потенцијалне друге/додатне изворе  $O_2^{\cdot-}$ , који могу да буду у релацији са повећаним имунским одговором (фагоцити су значајан извор ове реактивне молекуле) и изменењен квалитет респираторног ћелијског дисања, дакле, на митохондријском нивоу (аналогно томе што само установили да повећана активност митохондријалне SOD, MnSOD, потврђује погоршану функцију ћелија на нивоу митохондрија).

### 5.2.3. Повезаност OS и BRESLOW

Повећањем BRESLOW индекса (дубина инвазије тумора кроз кожу) благо расте и концентрација  $O_2^-$ , наспрот групи чији је индекс 3-4mm код које је значајно нижа концентрација  $O_2^-$  у односу на групе чије је индекс 1-2 mm и 0-1 mm. Између осталих група не постоји значајна разлика у концентрацији  $O_2^-$ . Највећа просечна концентрација  $O_2^-$  је у групи са највећом дубином инвазије, односно 7-8 mm (График 4.2.3.1.1).

Активност tSOD и MnSOD се не разликују значајно између група, као ни у односу на контролну групу изузев за tSOD која је статистички значајно већа у групи са BRESLOW индексом 4-5 mm у односу на контролну групу (График 4.2.3.2.1).

Активност CAT расте са повећањем BRESLOW индекса и достиже максимум у групи са индексом 4-5mm, а након тога активност благо опада (График 4.2.3.4.1). Пад активности CAT може бити последица претеране продукције RS, које могу да морфолошки функционално измене статус самих ензима.

Концентрација MDA расте са повећањем BRESLOW индекса и достиже максималну у вредност у групи са индексом 7-8 mm, као резултат повећане продукције FRs (График 4.2.3.5.1). У нашој студији није показана значајна разлика у концентрацији MDA међу пациентима груписаних на основу BRESLOW индекса.

### 5.2.4. Повезаност OS и хистолошког типа меланома

Концентрација  $O_2^-$  је највећа у групи пациентата са NM (График 4.2.4.1.1), кога карактерише вертикална фаза раста, у односу на контролну групу, док је концентрација MDA највећа у групи са SSM (График 4.2.4.5.1), кога карактерише радијална фаза

раста, у односу на контролну групу. Показали смо да не постоји значајна разлика у концентрацији ових параметара између самих типова меланома.

Активност tSOD је статистички значајно већа у групи пацијената са MPC у односу на контролну групу, док је активност овог ензима значајно нижа у групи NM, у односу на друге две групе (График 4.2.4.2.1). Активност MnSOD је статистички значајно већа у групи са MPC у односу на контролну групу и друга два типа меланома. Активност MnSOD је највећа у групи пацијената са меланомом типа MPC који је најмање инвазиван тип меланома.(График 4.2.4.3.1).

Активност CAT је значајно већа код оболелих од меланома, у групи MPC и SSM, у односу на контролну групу, док је активност највећа у групи MPC (График 4.2.4.4.1).

Смањена/недовољна активност ензима (CAT и SOD) код најинвазивнијег типа меланома се можда може објаснити као последица функционланог и морфолошког оштећења самих ензима.

### 5.2.5. Повезаност OS и лимфоваскуларне инвазије

У нашој студији показали смо да не постоји значајна веза између концентрација  $O_2^-$ , MDA и присуства/одсуства инвазије туморских ћелија у микроваскулатуру дермиса, али су оба параметра благо повишена повишена у групи са лимфоваскуларном инвазијом у односу на групу где инвазија није присутна (Графици 4.2.5.1.1 и 4.2.5.5.1). Активност tSOD, MnSOD и CAT се такође не разликује значајно између група.

### 5.2.6. Повезаност OS и митотског индекса

Концентрација  $O_2^{\cdot-}$  је значајно већа у свим групама пацијената у односу на контролну групу изузев у групи са 4 и 5 митоза. Концентрација  $O_2^{\cdot-}$  расте са порастом броја митоза и достиже свој максимум у групи са 3 митозе (График 4.2.6.1.1).

Показали смо да не постоји значајна веза између активности tSOD и броја митоза по  $mm^2$ , док је активност MnSOD статистички значајно већа у групи са 4/5 митоза у односу на контролну групу (График 4.2.6.3.1). Активност MnSOD је значајно већа у групи са 4/5 митоза у односу на групу са 2 митозе. Пацијенти са највећим бројем митоза имају и највећу активност MnSOD, што може указати на погоршану функцију ћелија на нивоу митохондрија.

Показали смо да не постоји значајна веза између активности CAT и броја митоза по  $mm^2$ .

Концентрација MDA показује тренд пораста са повећањем броја митоза и достиже свој максимум у групи са 4/5 митоза, између самих група није показана статистички значајна разлика (График 4.2.6.5.1). Промене у концентрацији MDA прате промене концентрација  $O_2^{\cdot-}$ .

### 5.2.7. Повезаност OS и регресије

Установили смо да нема значајне везе између концентрације  $O_2^{\cdot-}$  и присуства/одсуства регресије. Концентрација  $O_2^{\cdot-}$  је незначајно већа у групи без у односу на групу са регресијом. Концентрација MDA прати промену концентрације  $O_2^{\cdot-}$ , обзиром да настаје као продукт LPO и зависи од интезитета пероксидације односно количине продуктованих FRs.

Активности tSOD и MnSOD не корелирају са присуством/одсуством регресије.

Активност CAT је значајно већа у групи без регресије у односу на контролну групу (График 4.2.7.4.1, Табела 4.2.7.1).

Одсуство пораста OS у поодмаколој фази болести се може обајснити појавом фиброзе и лимитираности/немогућности овог ткива да обавља метаболичке процесе скопчане са ROS.

### 5.2.8. Повезаност OS и улцерације

Концентрације  $O_2^{\cdot-}$  и MDA, као и активност CAT су незначајно веће (док су активности tSOD и MnSOD незначајно ниже) у групи са пристутном у односу на групу без улцерација. Показали смо да не постоји значајна разлика ових параметара између група пацијената (Графици 4.2.8.1.1, 4.2.8.5.1, 4.2.8.4.1).

### 5.2.9. Повезаност OS и типа (облик) ћелије меланома

Показано је да постоји значајна разлика  $O_2^{\cdot-}$  између група са епителодиним и вртенастим типом ћелија. Пацијенти са епитеоидним типом ћелија имају највећу концентрацију  $O_2^{\cdot-}$  (График 4.2.9.1.1).

Концентрација MDA је значајно већа у групама са невоидним и епителодним типом ћелија у односу на контролну групу, мада је ниво MDA незначајно већи у групи са невоидним типом ћелија меланома (График 4.2.9.5.1).

Показали смо да нема значајне разлику у активностима tSOD и MnSOD између пацијената са различитим типовима ћелија меланома.

Активност CAT код све три групе пацијената је статистички значајно већа од контролне групе, без значајне разлике између група пацијената (График 4.2.9.4.1). Овај резултат је још једна потврда да је CAT осетљивији антиоксидативни ензим од tSOD.

### **5.2.10. Повезаност OS и патохистолошког стадијума**

Документована је веза између  $O_2^{\cdot-}$  и патохистолошког стадијума, те је највећа вредност у односу на контролу, остварена у крајњем стадијуму, pT4 (График 4.2.10.1.1).

Показали само да активности tSOD и MnSOD не зависе од патохистолошког стадијума и да се налазе се у оквиру вредности контролне групе. Стога, активност tSOD се показала недовољно осетљивим маркером OS код меланома.

Активност CAT се повећава са напредовањем болести, да би у pT4 стадијуму била највећа активност (График 4.2.10.4.1).

Концентрација MDA расте са напредовањем болести, као одговор на повећану продукцију FRs, и достиже највећу вредност у pT3 стадијуму (4.2.10.5.1).

Иако је SOD прва линија одбране од FRs, напредовањем болести активност остаје у оквиру вредности контролне групе, док активност CAT расте. Разлог за овако нешто може бити да SOD поседује велики антиоксидативни капацитет (нешто аналогно „пуферском ефекту“), док се CAT показао осетљивијим маркером OS. Показали смо да су CAT и пораст MDA, најзначајнији и најосетљивији маркери OS код меланома, што је у складу са резултатима студије Gadjeva и сар., који су показали такође значајно веће нивое MDA и CAT код пацијената оболелих од меланома а снижене вредности SOD (153).

### 5.3. ROC анализа

Помоћу ROC анализе за IL27 добијена је гранична вредност 129 pg/mL као критеријум који разврстава оболеле од меланома и здраве особе, тако да су све вредности мање од граничне вредности значајно изменењене у односу на контролне вредности. Вероватноћа да се коришћењем овог критеријума у случајно одабраном узорку, испитанци бити правилно разврстани износи 87,51%. Површина испод криве 0,8751 потврђује да је ово добар маркер болести (Табела 4.3.1).

Помоћу ROC анализе за  $O_2^{\cdot-}$  радикал добијена је гранична вредност 17, 07  $\mu\text{mol red NBT/min/L}$  као критеријум који разврстава оболеле од меланома и здраве особе, тако да су све вредности веће од граничне вредности значајно изменењене у односу на контролне вредности. Вероватноћа да се коришћењем овог критеријума у случајно одабраном узорку, испитанци бити правилно разврстани износи 78,77%. Површина испод криве 0,7877 потврђује да је ово осредње добар маркер болести (Табела 4.3.1).

Помоћу ROC анализе за САТ добијена је гранична вредност 17,77 kU/L као критеријум који разврстава оболеле од меланома и здраве особе, тако да су све вредности веће од граничне вредности значајно изменењене у односу на контролне вредности. Вероватноћа да се коришћењем овог критеријума у случајно одабраном узорку, испитанци бити правилно разврстани износи 78,77%. Површина испод криве 0,7877 потврђује да је ово осредње добар маркер болести (Табела 4.3.1).

Помоћу ROC анализе за MDA добијена је гранична вредност 106,3  $\mu\text{mol/L}$  као критеријум који разврстава оболеле од меланома и здраве особе, тако да су све вредности веће од граничне вредности значајно изменењене у односу на контролне вредности. Вероватноћа да се коришћењем овог критеријума у случајно одабраном

узорку, испитанци бити правилно разврстани износи 72,97%. Површина испод криве 0,7297 потврђује да је ово осредње добар маркер болести (Табела 4.3.1).

Обзиром да површине испод криве за tSOD и MnSOD нису статистички значајно веће од 0,5, ови параметри нису погодни као маркери за меланом (Табела 4.3.1).

#### 5.4. Корелација OS и IL27

У нашој студији показали смо значајну, али јако слабу, негативну корелацију између следећих параметара: IL27 и CAT, IL27 и tSOD, IL27 и MnSOD. Показали смо да се са напредовањем болести вредности параметара OS повећавају док концентрација IL27 опада. Позитивна корелација између  $O_2^{\cdot-}$  и MDA указује на развој OS и као последицу тога повећано стварање маркера LPO. Негативна корелација између  $O_2^{\cdot-}$  и антиоксидативних ензима указује да постоји неки други начин елиминације  $O_2^{\cdot-}$ , осим путем tSOD и MnSOD. Ова тврдња је у складу са претходно објављеним резултатима о реакцији између  $O_2^{\cdot-}$  и NO $^{\cdot}$ , која је три пута бржа него реакција дисмутације O $^{2\cdot-}$  путем SOD (157). Позитивна корелација CAT и SOD је логична јер CAT делује на производ који настаје у рекацијама које су катализоване SOD.

## 6. ЗАКЉУЧАК

- У серуму пациентата оболелих од меланома IL27 је сагнificantno мањи од контролних вредности.
- Напредовањем болести, односно повећањем новоа инвазије меланома и дебљине промене, опада serumски IL27, што потврђује његову антитуморку активност.
- Није уочена значајна веза између serumског IL27 и присуства/одсуства лимфоваскуларне инвазије, регресије, улцерације, броја митоза (осим: најнижи је у групи са највећим бројем митоза, када се пореди са контролном групом), патохистолошког стадијума (осим: најнижи је у крајњем стадијуму болести, у односу на контролну групу).
- Концентрација  $O_2^-$  и MDA је значајно већа код оболелих од меланома у односу на контролну групу, што указује на присуство OS код пациентата оболелих од меланома; MDA је крајњи производ LPO и говори о степену развоја OS; његов пораст прати пораст  $O_2^-$ .
- Са напредовањем болести (AJCC стадијум, CLARCK и BRESLOW), расту и концентрације  $O_2^-$  и MDA што указује на повећан развој OS.
- Није уочена значајна веза MDA и  $O_2^-$  са присуством/одсуством лимфоваскуларне инвазије, регресије, улцерације, броја митоза.
- Није показана значајна веза  $O_2^-$  и патохистолошког стадијума, али јесте са порастом MDA.
- Поређењем групе пациентата оболелих од меланома и контролне групе није показана значајна разлика у активности tSOD, као ни MnSOD, али је уочен

значајан пораст у активности ових ензима са напредовањем болести (AJCC стадијум) у односу на контролну групу.

- Није показана значајна веза tSOD и MnSOD са повећањем нивоа инвазије, дебљином промене меланома, присуством/одсуством лимфоваскуларне инвазије, регресије, улцерације, патохистолошким стадијумом болести.
- Није уочена значајна веза tSOD и броја митоза, док је активност MnSOD највећа у групи са највећим бројем митоза.
- Активност CAT је значајно већа код пацијената оболелих од меланома у односу на контролну групу, напредовањем болести (AJCC класификација) расте и активност овог ензима.
- Уочен је значајан пораст активности CAT са повећањем нивоа инвазије меланома. Активност CAT значајно расте са повећањем дебљине промене, али само до стадијума са 4-5mm, након тога благо опада, вероватно као последица недовољног капацитета овог ензима.
- Није уочена значајна веза између CAT и присуства/одсуства лимфоваскуларне инвазије, регресије, улцерације, митотског индекса.
- Повећањем нивоа патохистолошког стадијума уочен је значајан пораст CAT.
- Показана је релативно слаба негативна корелација IL27 и антиоксидативних ензима: CAT, tSOD и MnSOD, што значи да са напредовањем болести концентрација цитокина опада док активност антиоксидативних ензима расте.
- Анализом ROC криве се закључује да је IL27 добар маркер болести, док су  $O_2^{-\cdot}$ , MDA и CAT осредњи маркери болести.

- Сигнификантно релативно слаба, позитивна корелација  $O_2^{\cdot-}$  и MDA указује на улогу овог радикала у настанку MDA, који има битну улогу у развоју карцинома.
- Сигнификантно негативна корелација  $O_2^{\cdot-}$  и антиоксидативних ензима указује на ослабљен капацитет антиоксидативних ензима, тако да њихова активност није довољна за елиминацију ROS.
- Резултати наше студије указују на протективну улогу IL27, што може бити корисно за разумевање ефеката IL27 и указати на могућност употребе овог цитокина у имунотерапији карцинома.
- Анализом параметара OS дошли смо да закључка да је настанак и развој меланома повезан са OS, као и да услед измене активности антиоксидативних ензима долази до развоја болести, повећана активност MnSOD у крајњем стадијуму болести указује на оштећење ћелијске функције на нивоу митохондрија.

## 7. ЛИТЕРАТУРА

1. Henry George Liddell, Robert Scott. A Greek English Lexicon on Perseus
2. McKenzie JA, Grossman D. Role of the apoptotic and mitotic regulator survivin in melanoma. *Anticancer Res* 2012; 32(2): 397-404.
3. Balch CM et al (Eds.), Cutaneus melanoma. Quality Medical Publishing, 2003.4<sup>th</sup> edition
4. Radović-Kovačević V, Pekmezović T, Adanja B, Jarebinski M., Marinković J, and Tomin R. 1997. Survival analysis in patients with cutaneous malignant melanoma. *Srpski Arhiv Za Celokupno Lekarstvo*, vol. 125, no. 5-6, pp. 132–137
5. LeBoit P, Burg, G., Weedon, D., Sarasain, A. (Eds.). 2006. World Health Organization Classification of Tumours. IARC Press, Lyon или LeBoit P.E., Burg G., Weedon D, Sarasain A. (Eds.): World Health Organization Classification of Tumours. Pathology and Genetics of Skin Tumours. IARC Press: Lyon 2006
6. Lucas R, McMichael T, Smith W, Armstrong B. Solar Ultraviolet Radiation: Global burden of disease from solar ultraviolet radiation. Geneva: World Health Organization; 2006
7. Novaković M. Babović N. i saradnici. Melanom kože; prevencija, dijagnostika i lečenje. Akademija medicinskih nauka Srpskog lekarskog društva 2014; 5-6
8. Balch C, Houghton A, Sober A, Soong, S. Dermatologic Surgery. *Cutaneous Melanoma* 2005; 31(12): 1715-1715
9. Cancer Research UK statistics team 2010
10. Thompson JF, Scolyer RA, Kefford RF. Cutaneous melanoma. *Lancet* 2005; 365(9460):687-701
11. Clark WH Jr, Elder DE, Guerry D 4th, Epstein MN, Greene MH, Van Horn M. A study of tumor progression: the precursor lesions of superficial spreading and nodular melanoma. *Hum Pathol* 1984; 15(12): 1147-65
12. Brunet A, Roux D, Lenormand P, Dowd S, Keyse S, Pouysségur J. Nuclear translocation of p42/p44 mitogen-activated protein kinase is required for growth factor-induced gene expression and cell cycle entry. *EMBO J* 1999; 18(3): 664-74
13. Lin AW, Barradas M, Stone JC, van Aelst L, Serrano M, Lowe SW. Premature senescence involving p53 and p16 is activated in response to constitutive MEK/MAPK mitogenic signaling. *Genes Dev* 1998; 12(19): 3008-19.

14. Miller AJ, Mihm MC Jr. Melanoma. N Engl J Med 2006; 355(1): 51-65
15. Altieri DC. Splicing of effector cell protease receptor-1 mRNA is modulated by an unusual retained intron. Biochemistry 1994; 33(46): 13848-55
16. MelanomaWarningSigns.com
17. Balch CM, Gershenwald JE, Soong SJ, Thompson JF, Atkins MB, Byrd DR et al. Final version of 2009 AJCC melanoma staging and classification. J Clin Oncol 2009; 27(36): 6199-206
18. Breslow A. Thickness, cross-sectional areas and depth of invasion in the prognosis of cutaneous melanoma. Ann Surg 1970; 172(5): 902-8
19. Weedon D. Skin pathology. 2<sup>nd</sup> Edition. 2002. Sydney: Churchill Livingstone
20. Balch CM, Soong SJ, Gershenwald JE, Thompson JF, Reintgen DS, Cascinelli N et al. Prognostic factors analysis of 17,600 melanoma patients: validation of the American Joint Committee on Cancer melanoma staging system. J Clin Oncol 2001; 19(16): 3622-34
21. Zettersten E, Shaikh L, Ramirez R, Kashani-Sabet M. Prognostic factors in primary cutaneous melanoma. Surg Clin North Am 2003; 83(1): 61-75
22. McGovern VJ, Shaw HM, Milton GW. Prognosis in patients with thin malignant melanoma: influence of regression. Histopathology 1983; 7(5): 673-80
23. Kashani-Sabet M, Sagebiel RW, Ferreira CM, Nosrati M, Miller JR 3rd. Vascular involvement in the prognosis of primary cutaneous melanoma. Arch Dermatol 2001; 137(9): 1169-73
24. Dadras SS, Paul T, Bertoni J, Brown LF, Muzikansky A, Jackson DG et al. Tumor lymphangiogenesis: a novel prognostic indicator for cutaneous melanoma metastasis and survival. Am J Pathol 2003; 162(6): 1951-60
25. Straume O, Akslen LA. Independent prognostic importance of vascular invasion in nodular melanomas. Cancer. 1996; 78(6): 1211-9
26. Elder DE, Guerry D 4th, VanHorn M, Hurwitz S, Zehngebot L, Goldman LI et al. The role of lymph node dissection for clinical stage I malignant melanoma of intermediate thickness (1.51-3.99 mm). Cancer 1985; 56(2): 413-8
27. Mihm MC Jr, Clemente CG, Cascinelli N. Tumor infiltrating lymphocytes in lymph node melanoma metastases: a histopathologic prognostic indicator and an expression of local immune response. Lab Invest 1996; 74(1): 43-7

28. Umansky V, Sevko A. Melanoma-induced immunosuppression and its neutralization. *Semin Cancer Biol* 2012; 22(4): 319-26
29. Mukherji Bijay. Immunology of melanoma. *Clin in Dermatol* 2013; 31(2): 156–65
30. Schmid MC, Varner JA. Myeloid cells in tumor inflammation. *Vasc Cell* 2012; 4(1): 14
31. Coussens LM, Werb Z. Inflammation and cancer. *Nature* 2002; 420(6917): 860–7
32. Mantovani A, Allavena P, Sica A, Balkwill F. Cancer-related inflammation. *Nature* 2008; 454(7203): 436-44
33. Ostrand-Rosenberg. Myeloid-derived suppressor cells: more mechanisms for inhibiting antitumor immunity. *Cancer Immunol Immunother* 2010; 59(10): 1593-600
34. Zitvogel L, Tesniere A, Kroemer G. Cancer despite immunosurveillance: immunoselection and immunosubversion. *Nat Rev Immunol* 2006; 6(10): 715-27
35. Kelsall BL, Stüber E, Neurath M, Strober W. Interleukin-12 production by dendritic cells. The role of CD40-CD40L interactions in Th1 T-cell responses. *Ann N Y Acad Sci* 1996; 795: 116-26
36. Schoenberger SP, Toes RE, van der Voort EI, Offringa R, Melief CJ. T-cell help for cytotoxic T lymphocytes is mediated by CD40-CD40L interactions. *Nature* 1998; 393(6684): 480-3
37. Murugaiyan G, Agrawal R, Mishra GC, Mitra D, Saha B. Differential CD40/CD40L expression results in counteracting antitumor immune responses. *J Immunol* 2007; 178(4): 2047-55
38. Pflanz S, Timans JC, Cheung J, Rosales R, Kanzler H, Gilbert J. IL-27, a heterodimeric cytokine composed of EBI3 and p28 protein, induces proliferation of naive CD4+ T cells. *Immunity* 2002;16(6): 779-90
39. Villarino AV, Larkin J 3rd, Saris CJ, Caton AJ, Lucas S, Wong T et al. Positive and negative regulation of the IL-27 receptor during lymphoid cell activation. *J Immunol* 2005; 174(12): 7684-91
40. Murugaiyan G, Saha B. IL-27 in tumor immunity and immunotherapy. *Trends Mol Med* 2013; 19(2): 108-16
41. Liu L, Wang, Shan B, Shao L, Sato A, Kawamura K et al. IL-27-Mediated Activation of Natural Killer Cells and Inflammation Produced Antitumour Effects for Human Oesophageal Carcinoma Cells. *Scandinavian Journal of Immunology* 2008; 68: 22–29

42. Matsui M, Kishida T, Nakano H, Yoshimoto K, Shin-Ya M, Shimada T. Interleukin-27 activates natural killer cells and suppresses NK-resistant head and neck squamous cell carcinoma through inducing antibody-dependent cellular cytotoxicity. *Cancer Res* 2009; 69(6): 2523-30
43. Morishima N, Owaki T, Asakawa M, Kamiya S, Mizuguchi J, Yoshimoto T. Augmentation of effector CD8+ T cell generation with enhanced granzyme B expression by IL-27. *J Immunol* 2005; 175(3): 1686-93
44. Salcedo R, Stauffer JK, Lincoln E, Back TC, Hixon JA, Hahn C. IL-27 mediates complete regression of orthotopic primary and metastatic murine neuroblastoma tumors: role for CD8+ T cells. *J Immunol* 2004; 173(12): 7170-82
45. Takeda A, Hamano S, Yamanaka A, Hanada T, Ishibashi T, Mak TW et al. Cutting edge: role of IL-27/WSX-1 signaling for induction of T-bet through activation of STAT1 during initial Th1 commitment. *J Immunol* 2003; 170(10): 4886-90.
46. Kamiya S, Owaki T, Morishima N, Fukai F, Mizuguchi J, Yoshimoto T. An indispensable role for STAT1 in IL-27-induced T-bet expression but not proliferation of naive CD4+ T cells. *J Immunol* 2004; 173(6): 3871-7
47. Yoshimoto T, Yoshimoto T, Yasuda K, Mizuguchi J, Nakanishi K. IL-27 suppresses Th2 cell development and Th2 cytokines production from polarized Th2 cells: a novel therapeutic way for Th2-mediated allergic inflammation. *J Immunol* 2007; 179(7): 4415-23
48. Liao D, Luo Y, Markowitz D, Xiang R, Reisfeld RA. Cancer associated fibroblasts promote tumor growth and metastasis by modulating the tumor immune microenvironment in a 4T1 murine breast cancer model. *PLoS One* 2009; 4(11): e7965
49. Huber M, Steinwald V, Guralnik A, Brüstle A, Kleemann P, Rosenplänter C et al. IL-27 inhibits the development of regulatory T cells via STAT3. *Int Immunol* 2008; 20(2): 223-34
50. Tassi E, Braga M, Longhi R, Gavazzi F, Parmiani G, Di Carlo V et al. Non-redundant role for IL-12 and IL-27 in modulating Th2 polarization of carcinoembryonic antigen specific CD4 T cells from pancreatic cancer patients. *PLoS One* 2009; 4(10): e7234
51. Yoshimoto T, Morishima N, Mizoguchi I, Shimizu M, Nagai H, Oniki S et al. Antiproliferative activity of IL-27 on melanoma. *J Immunol* 2008; 180(10): 6527-35

52. Feng XM, Chen XL, Liu N, Chen Z, Zhou YL, Han ZB et al. Interleukin-27 upregulates major histocompatibility complex class II expression in primary human endothelial cells through induction of major histocompatibility complex class II transactivator. *Hum Immunol* 2007; 68(12): 965-72
53. Diveu C, McGeachy MJ, Boniface K, Stumhofer JS, Sathe M, Joyce-Shaikh B et al. IL-27 blocks ROR $\gamma$  expression to inhibit lineage commitment of Th17 cells. *J Immunol* 2009; 182(9): 5748-56
54. Motz GT, Coukos G. The parallel lives of angiogenesis and immunosuppression: cancer and other tales. *Nat Rev Immunol* 2011; 11(10): 702-11
55. Marson A, Kretschmer K, Frampton GM, Jacobsen ES, Polansky JK, MacIsaac KD et al. Foxp3 occupancy and regulation of key target genes during T-cell stimulation. *Nature* 2007; 445(7130): 931-5
56. Ho MY, Leu SJ, Sun GH, Tao MH, Tang SJ, Sun KH. IL-27 directly restrains lung tumorigenicity by suppressing cyclooxygenase-2-mediated activities. *J Immunol* 2009; 183(10): 6217-26
57. Baratelli F, Lin Y, Zhu L, Yang SC, Heuzé-Vourc'h N, Zeng G et al. Prostaglandin E2 induces FOXP3 gene expression and T regulatory cell function in human CD4+ T cells. *J Immunol* 2005; 175(3): 1483-90
58. Cocco C, Giuliani N, Di Carlo E, Ognio E, Storti P, Abeltino M. Interleukin-27 acts as multifunctional antitumor agent in multiple myeloma. *Clin Cancer Res* 2010; 16(16): 4188-97
59. Awasthi A, Carrier Y, Peron JP, Bettelli E, Kamanaka M, Flavell RA et al. A dominant function for interleukin 27 in generating interleukin 10-producing anti-inflammatory T cells. *Nat Immunol* 2007; 8(12): 1380-9
60. Mumm JB, Emmerich J, Zhang X, Chan I, Wu L, Mauze S et al. IL-10 elicits IFN $\gamma$ -dependent tumor immune surveillance. *Cancer Cell* 2011; 20(6): 781-96
61. Emmerich J, Mumm JB, Chan IH, LaFace D, Truong H, McClanahan T et al. IL-10 directly activates and expands tumor-resident CD8(+) T cells without de novo infiltration from secondary lymphoid organs. *Cancer Res* 2012; 72(14): 3570-81
62. Wang S, Miyazaki Y, Shinozaki Y, Yoshida H. Augmentation of antigen-presenting and Th1-promoting functions of dendritic cells by WSX-1(IL-27R) deficiency. *J Immunol* 2007; 179(10): 6421-8

63. Karakhanova S, Bedke T, Enk AH, Mahnke K. IL-27 renders DC immunosuppressive by induction of B7-H1. *J Leukoc Biol* 2011; 89(6): 837-45
64. Hirahara K, Ghoreschi K, Yang XP, Takahashi H, Laurence A, Vahedi G et al. Interleukin-27 priming of T cells controls IL-17 production in trans via induction of the ligand PD-L1. *Immunity* 2012; 36(6): 1017-30
65. Sharma P, Allison JP. The future of immune checkpoint therapy. *Science* 2015; 348(6230): 56-61
66. Raedler LA. Keytruda (pembrolizumab): first PD-1 inhibitor approved for previously treated unresectable or metastatic melanoma. *American health & drug benefits* 2015; 8(Spec Feature): 96-100
67. Murugaiyan G, Beynon V, Pires Da Cunha A, Joller N, Weiner HL. IFN- $\gamma$  limits Th9-mediated autoimmune inflammation through dendritic cell modulation of IL-27. *J Immunol.* 2012; 189(11): 5277-83
68. Young A, Linehan E, Hams E, O'Hara Hall AC, McClurg A, Johnston JA. Cutting edge: suppression of GM-CSF expression in murine and human T cells by IL-27. *J Immunol.* 2012; 189(5): 2079-83
69. Duracková Z. Some current insights into oxidative stress. *Physiol Res* 2010; 59(4): 459-69
70. Đukić MM. Reaktivne hemijske vrste i oksidativni stres. U: Oksidativni stres – slobodni radikali, proksidansi i antioksidansi. Urednik. Mirjana Đukić. Izdavač: MONO i MANJANA, Beograd 2008; 15–39
71. Ćurčić Jovanović M, Đukić M. Azot(II)-oksid u neurotoksičnosti herbicida dipiridilske strukture. U: Oksi dativni stres – slobodni radikali, proksidansi i anti oksidansi. Urednik. Mirjana Đukić. Izdavač: MONO i MANJANA, Beograd 2008; 217–32.
72. Đukić M, Ninković M, Jovanović M. Oxidative Stress - Clinical Diagnostic Significance. *Journal of Medical Biochemistry* 2008; 27(4): 409-25.
73. Đukić M, Jovanović M, Nedeljković M: Production of superoxide anion in alcoholics treated with disulfiram. *Journal of the Neurological sciences* 1997; 150
74. Đukić M. Proksidativno delovanje ksenobiotika. U: Biohemski markeri oksidativnog stresa u eksperimentalnoj i kliničkoj medicini. Urednici: Prof. dr. Vida Đorđević i prof. dr. Dušica Pavlović. Izdavač: Medicinski fakultet u Nišu 2006: 114–118

75. Matović V, Đukić-Ćosić D. Proksidativno dejstvo metala. U: Oksidativni stres – slobodni radikali, proksidansi i antioksidansi. Urednik. Mirjana Đukić. Izdavač: MONO i MANJANA, Beograd 2008; 183–99
76. Đukić M, Miljković B, Tasić Lj, Dikić M. Lekovi sa proksidativnim i antioksidativnim delovanjem. U: Oksidativni stres – slobodni radikali, proksidansi i antioksidansi. Urednik. Mirjana Đukić. Izdavač: MONO i MANJANA, Beograd 2008; 163–81.
77. Simić MG. Antioxidant compounds: An overview. In: Oxidative Damage and Repair. Chemical, Biological and Medical Aspects. Davies KJA. ed. Oxford: Pergamon Press 1991: 47–56
78. Jovanović D, Nagorni Lj, Popević S, Velinović M, Škodrić V. Oksidativni stres i bolesti pluća. U: Oksidativni stres – kliničko dijagnostički značaj. Urednik. Mirjana Đukić. Izdavač: MONO i MANJANA, Beograd 2008; 147–74.
79. Todorović T, Dožić I. Uloga slobodnih radikala u patogenezi oralnih jedinjenja. U Oksidativni stres – kliničko dijagnostički značaj. Urednik. Mirjana Đukić. Izdavač: MONO i MANJANA, Beograd 2008; 175–85.
80. Savić S, Đukić M. Oksidativna oštećenja kože. U Oksidativni stres – kliničko dijagnostički značaj. Urednik. Mirjana Đukić. Izdavač: MONO i MANJANA, Beograd 2008; 187–95.
81. Miller AF. Superoxide dismutases: active sites that save, but a protein that kills. *Curr Opin Chem Biol* 2004; 8(2): 162-8
82. Namaki S, Mohsenzadegan M, Mirshafiey A. Superoxide dismutase: A light horizon in treatment of multiple sclerosis. *Journal of Chinese Clinical Medicine* 2009; 4 (10): 585-91
83. Ramming T, Appenzeller-Herzog C. Destroy and Exploit: Catalyzed Removal of Hydroperoxides from the Endoplasmic Reticulum. *Int. J. Cell Biol.* 2013; 2013: 180906.
84. Piloni NE, Fernandez V, Videla LA, Puntarulo S. Acute iron overload and oxidative stress in brain. *Toxicology* 2013; 314(1): 174-82.
85. Pisoschi AM, Pop A. The role of antioxidants in the chemistry of oxidative stress: A review. *Eur J Med Chem* 2015; 97: 55-74
86. Đukić MM. Antioksidativna zaštita i preparati sa antioksidativnim delovanjem. U: Oksidativni stres – slobodni radikali, proksidansi i antioksidansi. Urednik. Mirjana Đukić. Izdavač: MONO i MANJANA, Beograd 2008; 67–95

87. Cohen G. Enzymatic/nonenzymatic sources of oxyradicals and regulation of antioxidant defenses. *Annals of the New York Academy of Sciences* 1994; 738: 8–14.
88. Sarsour EH, Louise Kalen A, Goswami P. Manganese superoxide dismutase regulates a redox cycle within the cell cycle. *Antioxid. Redox Sign.* 2013; doi:10.1089/ars.2013.5303
89. Alscher RG, Erturk N, Heath LS. Role of superoxide dismutases (SODs) in controlling oxidative stress in plants. *J Exp Bot* 2002; 53(372): 1331-41
90. Kruidenier L, Verspaget HW. Review article: oxidative stress as a pathogenic factor in inflammatory bowel disease--radicals or ridiculous? *Aliment Pharmacol Ther* 2002; 16(12): 1997-2015
91. Scandalios JG. Oxidative stress: molecular perception and transduction of signals triggering antioxidant gene defenses. *Braz J Med Biol Res* 2005; 38(7): 995-1014
92. Fidaleo M. Peroxisomes and peroxisomal disorders: the main facts. *Exp Toxicol Pathol* 2010; 62(6): 615-25
93. Michiels C, Raes M, Toussaint O, Remacle J. Importance of Se-glutathione peroxidase, catalase, and Cu/Zn-SOD for cell survival against oxidative stress. *Free Radic Biol Med* 1994; 17(3): 235-48
94. Dickinson DA, Forman HJ. Cellular glutathione and thiols metabolism. *Biochem Pharmacol* 2002; 64(5-6): 1019-26
95. Ayala A, Muñoz MF, Argüelles S. Lipid peroxidation: production, metabolism, and signaling mechanisms of malondialdehyde and 4-hydroxy-2-nonenal. *Oxid Med Cell Longev* 2014; 2014: 360438
96. Catalá A. An overview of lipid peroxidation with emphasis in outer segments of photoreceptors and the chemiluminescence assay. *Int J Biochem Cell Biol* 2006; 38(9): 1482-95
97. Fagali N, Catalá A. Fe<sup>2+</sup> and Fe<sup>3+</sup> initiated peroxidation of sonicated and non-sonicated liposomes made of retinal lipids in different aqueous media. *Chem Phys Lipids* 2009; 159(2): 88-94
98. Valko M, Leibfritz D, Moncol J, Cronin MT, Mazur M, Telser J. Free radicals and antioxidants in normal physiological functions and human disease. *Int J Biochem Cell Biol* 2007; 39(1): 44-84
99. Halliwell B, Gutteridge JMC. Free radicals in Biology and Medicine. Third edition. Oxford University Press Inc. New York, USA; 1999.p.1-936

100. Buonocore G, Perrone S, Tataranno ML. Oxygen toxicity: chemistry and biology of reactive oxygen species. *Semin Fetal Neonatal Med* 2010; 15(4): 186-90
101. Almorth BC. Oxidative damage in fish used as biomarkers in field and laboratory studies. Doctoral Dissertation. Department of Zoology/Zoophysiology, Goteborg University, Sweden; 2008.p. 1-74
102. Sosa V, Moliné T, Somoza R, Paciucci R, Kondoh H, LLeonart ME. Oxidative stress and cancer: an overview. *Ageing Res Rev* 2013; 12(1): 376-90
103. Vurusuner B1, Poli G, Basaga H. Tumor suppressor genes and ROS: complex networks of interactions. *Free Radic Biol Med* 2012; 52(1): 7-18
104. Ray PD, Huang BW, Tsuji Y. Reactive oxygen species (ROS) homeostasis and redox regulation in cellular signaling. *Cell Signal* 2012; 24(5): 981-90.
105. Campos AC, Molognoni F, Melo FH, Galdieri LC, Carneiro CR, D'Almeida V et al. Oxidative stress modulates DNA methylation during melanocyte anchorage blockade associated with malignant transformation. *Neoplasia* 2007; 9(12): 1111-21
106. Franco R, Schoneveld O, Georgakilas AG, Panayiotidis MI. Oxidative stress, DNA methylation and carcinogenesis. *Cancer Lett* 2008; 266(1): 6-11.
107. Valko M, Rhodes CJ, Moncol J, Izakovic M, Mazur M. Free radicals, metals and antioxidants in oxidative stress-induced cancer. *Chem Biol Interact* 2006; 160(1): 1-40
108. Marnett LJ. Oxyradicals and DNA damage. *Carcinogenesis* 2000; 21(3): 361-70
109. Meyskens FL, VanChau H, Tohidian N, Buckmeier J. Luminol-enhanced chemiluminescent response of human melanocytes and melanoma cells to hydrogen peroxide stress. *PIGMENT CELL RESEARCH* 1997; 10(3): 184 – 189
110. Borrello S, De Leo ME, Galeotti T. Defective gene expression of MnSOD in cancer cells. *Mol Aspects Med* 1993; 14(3): 253-8
111. Picardo M, Maresca V, Eibenschutz L, De Bernardo C, Rinaldi R, Grammatico P. Correlation between antioxidants and phototypes in melanocytes cultures. A possible link of physiologic and pathologic relevance. *J Invest Dermatol* 1999; 113(3): 424-5
112. Pervaiz S, Clement MV. Superoxide anion: oncogenic reactive oxygen species? *Int J Biochem Cell Biol* 2007; 39(7-8):1297-304
113. Balch CM, Gershenwald JE, Soong SJ, Thompson JF, Atkins MB, Byrd DR et al. Final version of 2009 AJCC melanoma staging and classification. *J Clin Oncol* 2009; 27(36): 6199-206

114. Auclair C, Voisin E. Nitroblue tetrazolium reduction. In: Greenwald RA, editor. Handbook of Methods for Oxygen Radical Research, CRC Press, Florida; 1985. p. 123-32.
115. Sun M, Zigman S. An important spectrophotometric assay for superoxide dismutase based on epinephrine auto-oxidation. *Anal Biochem* 1978; 90: 81-89.
116. Góth L. A simple method for determination of serum catalase activity and revision of reference range. *Clin Chim Acta* 1991; 196(2-3): 143-51
117. Girotti M, Khan N, Mc Lellan B. Early measurement of systemic lipid peroxidation products in the plasma of major blunt trauma patients. *J Trauma* 1991; 31: 32-5
118. Hisada M, Kamiya S, Fujita K, Belladonna ML, Aoki T, Koyanagi Y, et al. Potent antitumor activity of interleukin-27. *Cancer Res* 2004; 64(3): 1152-6
119. Shimizu M, Shimamura M, Owaki T, Asakawa M, Fujita K, Kudo M, et al. Antiangiogenic and antitumor activities of IL-27. *J Immunol* 2006; 176(12): 7317-24
120. Chiyo M, Shimozato O, Yu L, Kawamura K, Iizasa T, Fujisawa T, Tagawa M. Expression of IL-27 in murine carcinoma cells produces antitumor effects and induces protective immunity in inoculated host animals. *Int J Cancer* 2005; 115(3): 437-42
121. Pot C, Apetoh L, Kuchroo VK. Induction of regulatory Tr1 cells and inhibition of T(H)17 cells by IL-2. *Semin Immunol* 2011; 23(3): 202-208
122. Hirahara K, Ghoreschi K, Yang XP, et al. Interleukin-27 priming of T cells controls IL-17 production in trans via induction of the ligand PD-L1. *Immunity*. 2012; 36(6):1017Y1030.
123. Diakowska D, Lewandowski A, Markocka-Maczka K, Grabowski K. Concentration of serum interleukin-27 increase in patients with lymph node metastatic gastroesophageal cancer. *Adv Clin Exp Med* 2013; 22(5): 683-91
124. Lu D, Zhou X, Yao L, Liu C, Jin F, Wu Y. Clinical implications of the interleukin 27 serum level in breast cancer. *J Investig Med* 2014; 62(3): 627–31
125. Tang YJ, Wang JL, Nong LG, Lan CG, Zha ZG, Liao PH. Associations of IL-27 polymorphisms and serum IL-27p28 levels with osteosarcoma risk. *Medicine* 2014; 93(10): e56
126. Zhou B, Zhang P, Tang T, Liao H, Zhang K, Pu Y, et al. Polymorphisms and plasma levels of IL-27: impact on genetic susceptibility and clinical outcome of bladder cancer. *BMC Cancer* 2015; 15: 433

127. Gonin J, Carlotti A, Dietrich C, Audebourg A, Radenen-Bussière B, Caillard A, et al. Expression of IL-27 by tumor cells in invasive cutaneous and metastatic melanomas. PLoS One 2013; 8(10): e75694
128. Pantic Bisevac J, Stanojevic I, Mijuskovic Z, Banovic T, Djukic M, Vojvodic D. High interleukin 27 production is associated with early clinical stage and localized disease in patients with melanoma. J Med Biochem. 2016; 35: 1–8.
129. Karlicic V, Vukovic J, Stanojević I, Sotirovic J, Peric A, Jović M, et al. IL-27 Concentration in Systemic Circulation and Tumor Micro-Circulation Samples of Sclc and Nsclc Patients; Association with Tumor Size, Histological Type and Presence of Metastases. Austin J Clin Immunol 2016; 3(1):1030
130. Halliwell B. Free radicals and other reactive species in disease. Nature Encyclop Life Sei 2001; 1-7
131. Cooke MS, Evans MD, Dizdaroglu M, Lunec J. Oxidative DNA damage: mechanisms, mutation, and disease. FASEB J 2003; 17(10): 1195-214
132. Joosse A, De Vries E, van Eijck CH, Eggermont AM, Nijsten T, Coebergh JW. Reactive oxygen species and melanoma: an explanation for gender differences in survival? Pigment Cell Melanoma Res 2010; 23(3): 352-64
133. Schumacker PT. Reactive oxygen species in cancer cells: live by the sword, die by the sword. Cancer Cell 2006; 10(3): 175-6
134. Brar SS, Kennedy TP, Sturrock AB, Huecksteadt TP, Quinn MT, Whorton AR, Hoidal JR. An NAD(P)H oxidase regulates growth and transcription in melanoma cells. Am J Physiol Cell Physiol 2002; 282(6): C1212-24
135. Sander CS, Hamm F, Elsner P, Thiele JJ. Oxidative stress in malignant melanoma and non-melanoma skin cancer. Br J Dermatol 2003; 148(5): 913-22.
136. Bustamante J, Bredeston L, Malanga G, Mordoh J. Role of melanin as a scavenger of active oxygen species. Pigment Cell Res 1993; 6(5): 348-53
137. Gidanian S, Mentelle M, Meyskens FL Jr, Farmer PJ. Melanosomal damage in normal human melanocytes induced by UVB and metal uptake--a basis for the pro-oxidant state of melanoma. Photochem Photobiol 2008; 84(3): 556-64
138. Afanas'ev I. Reactive oxygen species signaling in cancer: comparison with aging. Aging Dis 2011; 2(3): 219-30

139. Smit NP, van Nieuwpoort FA, Marrot L, Out C, Poorthuis B, van Pelt H, Meunier JR, Pavel S. Increased melanogenesis is a risk factor for oxidative DNA damage--study on cultured melanocytes and atypical nevus cells. *Photochem Photobiol* 2008; 84(3): 550-5
140. Was H, Cichon T, Smolarczyk R, Rudnicka D, Stopa M, Chevalier C et al. Overexpression of heme oxygenase-1 in murine melanoma: increased proliferation and viability of tumor cells, decreased survival of mice. *Am J Pathol* 2006; 169(6): 2181-98
141. Loo G. Redox-sensitive mechanisms of phytochemical-mediated inhibition of cancer cell proliferation (review). *J Nutr Biochem* 2003; 14(2): 64-73
142. Meyskens FL Jr, Buckmeier JA, McNulty SE, Tohidian NB. Activation of nuclear factor-kappa B in human metastatic melanomacells and the effect of oxidative stress. *Clin Cancer Res* 1999; 5(5): 1197-202
143. Davies H, Bignell GR, Cox C, Stephens P, Edkins S, Clegg S et al. Mutations of the BRAF gene in human cancer. *Nature* 2002 ; 417(6892): 949-54
144. Ames BN, Shigenaga MK, Hagen TM. Oxidants, antioxidants, and the degenerative diseases of aging. *Proc Natl Acad Sci U S A* 1993; 90(17): 7915-22
145. Campos AC, Molognoni F, Melo FH, Galdieri LC, Carneiro CR, D'Almeida V, Correa M, Jasiulionis MG. Oxidative stress modulates DNA methylation during melanocyte anchorage blockade associated with malignant transformation. *Neoplasia* 2007; 9(12): 1111-21
146. Seftor EA, Brown KM, Chin L, Kirschmann DA, Wheaton WW, Protopopov A, Feng B, Balagurunathan Y, Trent JM, Nickoloff BJ, Seftor RE, Hendrix MJ. Epigenetic transdifferentiation of normal melanocytes by a metastatic melanoma microenvironment. *Cancer Res* 2005; 65(22): 10164-9
147. Bittinger F, González-García JL, Klein CL, Brochhausen C, Offner F, Kirkpatrick CJ. Production of superoxide by human malignant melanoma cells. *Melanoma Res* 1998; 8(5): 381-7
148. Riley PA. Melanoma and the problem of malignancy. *Tohoku J Exp Med* 2004; 204(1): 1-9
149. Djukic M. Oksidativni stres— kliničko- dijagnostički značaj. Belgrade: Mono i Manjana, 2008

150. Ray G, Batra S, Shukla NK, Deo S, Raina V, Ashok S et al. Lipid peroxidation, free radical production and antioxidant status in breast cancer. *Breast Cancer Res Treat* 2000; 59(2): 163-70
151. Chukka K, Vishnuvardhan Z. Lipid Peroxidation, Free Radical Production and Antioxidant Status in Esophageal Cancer Patients. *IJHSR* 2013; 3(11): 24-30
152. Nisha, Sachdeva A, Lal H. Some oxidative stress related parameters in patients with head and neck carcinoma. *Indian J Clin Biochem* 2008; 23(1): 38-40
153. Gadjeva V, Dimov A, Georgieva N. Influence of therapy on the antioxidant status in patients with melanoma. *J Clin Pharm Ther* 2008; 33(2): 179-85.
154. Mantovani G, Macciò A, Madeddu C, Mura L, Massa E, Gramignano G et al. Reactive oxygen species, antioxidant mechanisms and serum cytokine levels in cancer patients: impact of an antioxidant treatment. *J Cell Mol Med* 2002; 6(4): 570-82
155. Mantovani G1, Macciò A, Madeddu C, Mura L, Gramignano G, Lusso MR et al. Quantitative evaluation of oxidative stress, chronic inflammatory indices and leptin in cancer patients: correlation with stage and performance status. *Int J Cancer* 2002; 98(1): 84-91
156. Schadendorf D, Zuberbier T, Diehl S, Schadendorf C, Czarnetzki BM. Serum manganese superoxide dismutase is a new tumour marker for malignant melanoma. *Melanoma Res* 1995; 5(5): 351-3
157. Djukic M. Reaktivne hemijske vrste i oksidativni stress. In: Djukic M, editor. Oksidativni stres: Slobodni radikali, Prooksidansi, Antioksidansi. Belgrade: Mono i Manjana, 2008: 3-23